

مجری طرح: منصور قلیج لی

وزارت صنایع و معادن

سازمان صنایع و معادن استان گلستان

گزارش پی جویی مواد معدنی در شیست گرگان در استان گلستان (دره تووسکستان)

شماره گزارش: AS 139-27-010

مرحله: گزارش نهائی

زبهه کنندگان به ترتیب حروف الفبا:

۱. مهربان اردشیریان شریف آبادی
۲. مهدی زمردیان
۳. عبدالرضا صائبی مقدم
۴. علی عابدی
۵. شهرام فرخنده کیش
۶. فاطمه کاظمی

تایپ: سمية کاظمی

تاریخ: سال ۱۳۷۹



کتابخانه سازمان ریاضی شناسی و

اکتشافات هدایی کشور

تاریخ: ۱۴۰۰/۰۶/۱۵

شماره ثبت:

کتابخانه سازمان ریاضی شناسی و

اکتشافات هدایی کشور

## تشکر و قدردانی

در ابتدا لازم می دانیم که مراتب سپاسگزاری خویش را از یکایک سروزان

گرامی به جهت همکاری و مساعدت در به انجام رساندن این پروژه اعلام و از صمیم

قلب سرافرازی و سربلندی ایشان را از ایزد متعال مسئلت نماییم.

از جناب آقای مهندس قلیچ لی ریاست محترم سازمان صنایع و معادن استان

گلستان به جهت همکاری های صمیمانه در تمامی مراحل انجام پروژه نهایت

سپاسگزاری را داریم.

از کلیه کارشناسان محترم آن سازمان به ویژه جناب آقای مهندس فرزانگان به

خاطر ارائه راهنمایی های سودمند و کمکهای بیدریغ کمال قدردانی را داریم.

از پروردگار منان برای این عزیزان و تمامی کسانی که در راه شکوفایی بخش

معدن و استقلال اقتصادی این کشور تلاش می کنند، سعادت و بهروزی آرزومندیم.

مدیریت و کارشناسان

مهندسان مشاور معدنکار

صفحه I	گزارش زیارتی مورد معنی در سیستم های گردگان محفظه نووسکسان فهرست	مادانکار مهندسان مهندسی Madankar Consulting Engineers Co.
--------	--	--

## فهرست مطالب

### صفحه

### فصل اول کلیات

- |      |                                 |
|------|---------------------------------|
| ۱-۱  | ۱-۱ - مقدمه                     |
| ۲-۱  | ۲-۱ - اهداف و امکانات و روش کار |
| ۴-۱  | ۳-۱ - پیشینه مطالعات            |
| ۵-۱  | ۴-۱ - ویژگی های جغرافیایی منطقه |
| ۹-۱  | ۵-۱ - زمین شناسی عمومی          |
| ۱۶-۱ | ۶-۱ - طلا                       |

### فصل دوم - زمین شناسی منطقه مورد مطالعه

- |      |                                 |
|------|---------------------------------|
| ۲-۱  | ۱-۲ - روش تهیه نقشه زمین شناسی  |
| ۲-۲  | ۲-۲ - شرح نقشه زمین شناسی منطقه |
| ۵-۲  | ۳-۲ - شرح مقطع زمین شناسی       |
| ۹-۲  | ۴-۲ - مطالعه تیغه های نازک      |
| ۹-۲  | ۱-۴-۲ - نمونه شماره GAR-1       |
| ۱۰-۲ | ۲-۴-۲ - نمونه شماره GAR-2       |

۱۱-۲

GAR-۳-۴-۲ - نمونه شماره ۳-۴-۲

۱۴-۲

GAR-۴-۴-۲ - نمونه شماره ۴-۴-۲

۱۶-۲

GAR-۵-۴-۲ - نمونه شماره ۵-۴-۲

۱۷-۲

Pr.I-۱-۶-۴-۲ - نمونه شماره ۱-۶-۴-۲

۱۹-۲

Pr.I-۱-۶-۷-۴-۲ - نمونه شماره ۱-۶-۷-۴-۲

۲۰-۲

Pr.I-۱-۹-۸-۴-۲ - نمونه شماره ۱-۹-۸-۴-۲

۲۳-۲

S23-۹-۴-۲ - نمونه شماره ۹-۴-۲

۲۴-۲

GTR.1-۱۰۰-۴-۲ - نمونه شماره ۱۰۰-۴-۲

۲۷-۲

نتایج XRF بر روی نمونه های سنگی توسکستان ۵-۲

### فصل سوم - اکتشاف ژئوشیمی

۱-۳

۱-۳ - اهداف اکتشاف

۲-۳

۲-۳ - محیط های ژئوشیمی

۲-۳

۱-۲-۳ - مقدمه

۳-۳

۲-۲-۳ - عوامل موثر در ایجاد الگوهای پراکندگی لیتوژئوشیمی ثانویه

۵-۳

۳-۲-۳ - طبقه بندی هاله های لیتوژئوشیمی ثانویه

۸-۳

۳-۳ - روش بررسی خاکها در مطالعه هاله های لیتوژئوشیمی ثانویه

۱۰-۳	۴-۳- محیط ، روش و طراحی نمونه برداری در دره توکسکستان
۱۱-۳	۵-۳- عملیات نمونه برداری
۱۲-۳	۶-۳- آماده سازی و آنالیز نمونه ها
۱۴-۳	۷-۳- نتایج آنالیز نمونه ها
۱۴-۳	۱-۷-۳- نمونه های زئوژیمی خاک
۱۴-۳	۲-۷-۳- نمونه رسوبات آبراهه ای
۱۹-۳	۸-۳- محاسبات

## فصل چهارم - مطالعات آماری و تعبیر و تفسیر

۱-۴	۱-۴- مطالعات آماری
۱-۴	۱-۱-۴- انتشار عنصر طلا
۳-۴	۲-۱-۴- انتشار عنصر As
۵-۴	۳-۱-۴- انتشار عنصر Sb
۶-۴	۴-۱-۴- انتشار عنصر Bi
۸-۴	۵-۱-۴- انتشار عنصر Hg
۹-۴	۶-۱-۴- انتشار عنصر Cu
۱۱-۴	۷-۱-۴- انتشار عنصر Pb

۱۲-۴ - انتشار عنصر Mo

۱۴-۴ - انتشار عنصر Ag

۱۴-۴ - انتشار عنصر Zn

۱۵-۴ - انتشار عنصر Ba

۱۹-۴ - تعبیر و تفسیر

۱۹-۴ - همبستگی ها

۲۴-۴ - محاسبات فاکتوری

۲۷-۴ - ارتباط آنومالی های با زمین شناسی منطقه

۲۸-۴ - بررسی نمونه های دامنه شرقی دره تووسکستان

- نتیجه گیری و پیشنهاد

- ضمیمه یک - نمودارهای فراوانی تجمعی عناصر

- پیوست نقشه های آنومالی

ଶ୍ରୀ ପାତ୍ର-ମହାନ୍ ପଦିଲ୍ଲା କାଳି ମାତ୍ର ଏହି କୁଟୀ ମାତ୍ରି ଅଧିକ

କେବଳ ପାଦିତ ହୁଏ ଏହା କାହାର ଜାଗରୂପ ହେଲା କିମ୍ବା କିମ୍ବା

3-54

ଶ୍ରୀ କୁମାର ପଟ୍ଟନାୟକ ଏବଂ ପାତ୍ର ହେଲାମାତ୍ର ଏହି ଅଧିକାରୀ

3-04

କାହିଁ କାହିଁ ଏହିପରିମାଣରେ ଦେଖିଲୁ କାହିଁ କାହିଁ ଏହିପରିମାଣରେ ଦେଖିଲୁ

1-1

አዲስ አበባ-አዲስ አበባ ስራው የሰው ቤት የሚከተሉ ነገር ጥሩ

1-71

3-1

ଶ୍ରୀ ମ-ପ-କୁମାର ପ୍ରତି ପରିଚାରକ ଏକ ପରିଷଦ ହେଲା ।

1-1

1-01 7 1-11

የኢትዮጵያውያንድ አገልግሎት ተስፋ ስራው የሚከተሉ የሚከተሉ የሚከተሉ የሚከተሉ

۱۱۰

1-11

କାର୍ଯ୍ୟ ।-୧- ପ୍ରକାଶନ ପାଇଁ ମିଳିତ ଏକ ଗ୍ରହଣ ହୁଏଥିଲା

1-12

၁၃၇ အ-အောင်တွေ့က အောင် ဒုက္ခန်းများ နှင့် အပေါ် ဖြစ်

1-1

፩-፪-፭፻፲፭ የሚሸጠውን ስርዓት እና የጥቅምት ተችል

1-61

1-81

፩፻፲፭

## فهرست اشکال

۶-۱

شکل ۱-۱- راه دسترسی به محدوده مورد مطالعه

۹-۳

شکل ۱-۳- افق های خاک و ابعاد جانبی نسبی هاله های پراکندگی ثانویه

و مقدار فلز همراه

۴-۴

شکل ۱-۴- هیستوگرام عنصر طلا در منطقه مورد مطالعه

۴-۴

شکل ۲-۴- هیستوگرام عنصر As در منطقه مورد مطالعه

۷-۴

شکل ۳-۴- هیستوگرام عنصر Sb در منطقه مورد مطالعه

۷-۴

شکل ۴-۴- هیستوگرام عنصر Bi در منطقه مورد مطالعه

۱۰-۴

شکل ۵-۴- هیستوگرام عنصر Hg در منطقه مورد مطالعه

۱۰-۴

شکل ۶-۴- هیستوگرام عنصر Cu در منطقه مورد مطالعه

۱۳-۴

شکل ۷-۴- هیستوگرام عنصر Pb در منطقه مورد مطالعه

۱۳-۴

شکل ۸-۴- هیستوگرام عنصر Mo در منطقه مورد مطالعه

۱۶-۴

شکل ۹-۴- هیستوگرام عنصر Ag در منطقه مورد مطالعه

۱۶-۴

شکل ۱۰-۴- هیستوگرام عنصر Zn در منطقه مورد مطالعه

۱۷-۴

شکل ۱۱-۴- هیستوگرام عنصر Ba در منطقه مورد مطالعه

۲۲-۴

شکل ۱۲-۴- دنروگرام عناصر در کل منطقه به روش Ward

۲۳-۴

شکل ۱۳-۴- دنروگرام عناصر در کل منطقه به روش Between groups

## فهرست عکس ها

- عکس ۱-۱- وضعیت پوشش گیاهی در محدوده ۸-۱
- عکس ۱-۲-۱- وضعیت رخمنون و پرتوگاه مشاهده شده در حاشیه جاده ۸-۱
- عکس ۱-۲-۲- نمای عمومی از پروفیل کنار جاده توسکستان در محدوده مطالعاتی ۸-۲
- عکس ۱-۲-۳- ماسه سنگ با سیمان کلسیتی و جورتسدگی مناسب ۱۲-۲
- عکس ۱-۲-۴- لیترنایت با زمینه های حاوی اکسید آهن ۱۲-۲
- عکس ۱-۴-۲- آندزیت کاملاً تجزیه شده ۱۵-۲
- عکس ۱-۵-۲- سنگ آهک میکروکریستالین حاوی رگه سیلیسی ۱۵-۲
- عکس ۱-۶-۲- تراکی آندزیت برشی ، عمدتاً از کلریت ۱۸-۲
- عکس ۱-۷-۲- سنگ آهک ماسه ای بلورهای کوارتز و آهک ۱۸-۲
- عکس ۱-۸-۲- سمی شیست ، حاوی کوارتز کربنات ۲۲-۲
- عکس ۱-۹-۲- سنگ آذرین اسیدی حاوی کوارتز فلدسپات با دگرگونی ضعیف ۲۲-۲
- عکس ۱-۱۰-۲- تراکی آندزیت ، فلدسپات به همراه سریسیت ، کلریت ۲۶-۲
- عکس ۱-۱۱-۲- سینیت با بافت گرانولار ۲۶-۲
- عکس ۱-۱۲-۳- خفاری چاهک جهت برداشت نمونه از افق زیرین خاک ۱۲-۳

# فصل اول

## کلیات

مقدمة - ١-١

براساس قرارداد فی مایین اداره کل معدن و فلزات استان گلستان و شرکت مهندسان

مشاور معدن کاو به شماره ۳/۳۵۶۹ ۱۲۰/۱۰/۲۷ مورخه ۹۷/۱۰/۲۷ و همچنین متمم قرارداد مذکور به

تاریخ ۷۹/۱۲/۲۳ طرح بی جویی مواد معدنی در شیست های گرگان در دره توکستان

(توده سینتی) در استان گلستان در دستور کار این مهندسان مشاور قرار گرفت.

طرح حاضر که در ادامه دو طرح پی جوبی و پتانسیل یابی در شیست گرگان مرحله

اوا و دوم به انجام رسیده است، براساس مطالعات و اکتشافات انجام شده در دره توسکستان

و نتایج مقدماتی به دست آمده برای عنصر طلا در مراحل قبل می باشد.

امید است با انجام چنین طرح هایی که بر مشاهدات علمی و کارهای عملی استوار

است یتوان هر چه بیشتر در روند اکتشاف و شناسایی ذخایر معدنی استان و کشور قدم برداشت.

## ۱-۲- اهداف و امکانات و روش کار

هدف از انجام پی جویی و پتانسیل یابی مواد معدنی در شیست گرگان در محدوده ای

به وسعت ۵ کیلومتر مربع در دره تووسکستان در حد فاصل دو توده سینیتی گزارش شده در

نقشه زمین شناسی ۱:۲۵۰۰۰۰ گرگان را می توان به طور کلی به صورت زیر خلاصه نمود:

- تهیه نقشه زمین شناسی به مقیاس ۱:۱۰۰۰۰ به وسعت ۵ کیلومتر مربع

- تهیه مقاطع زمین شناسی به مقیاس ۱:۱۰۰۰ در محدوده

- انجام اکتشافات چکشی به منظور شناسایی مناطق آتراسیون، روند کانی سازی های

احتمالی، وجود توده های نفوذی در محدوده

- برداشت کلیه عوارض تکتونیکی و ساختمانی اعم از برداشت شیب و امتداد لایه ها

مشخص کردن رگه ها، لایه ها و ...

- انجام اکتشافات ژئوشیمیایی اعم از برداشت نمونه های ژئوشیمیایی با توجه به موقعیت و

شرایط محیط مورد بررسی، آنالیز و تجزیه نمونه ها، داده پردازی و تعبیر و تفسیر نتایج به

منظور دستیابی به آنومالی های عناصر اصلی و پاراژنز

- تلفیق اطلاعات زمین شناسی و اکتشافات چکشی و همچنین اکتشافات ژئوشیمیایی جهت

مشخص کردن نواحی امید بخش

برای رسیدن به چنین اهدافی مواردی طی شرح خدمات فرادراد پیش بینی شده است

که مهمترین آنها عبارتند از:

- حفر ۱۰۰ متر ترانشه جهت برداشت نمونه ها

- برداشت ۷۰ نمونه ژئوشیمیایی و آنالیز به روش جذب اتمی برای ۱۱ عنصر پاراژنز

Ag و As , Sb , Hg , Bi , Cu , Pb , Zn , Ba , Mo , Au

- برداشت و آنالیز ۱۰ نمونه تجزیه XRF جهت مطالعات عناصر کمیاب و همراه

- برداشت، تهیه و مطالعه ۱۰ نمونه سنگی جهت سنگ شناسی و کانی شناسی

از جمله موارد قابل ذکر در مطالعه اکتشافی در این ناحیه پوشش جنگلی انبوه می باشد

که بعضاً کار را با مشکل روپرتو می کرده است و این در حالی است که وضعیت راههای

دسترسی تا ابتدای محدوده مناسب می باشد.

به منظور تهیه نقشه زمین شناسی منطقه پیمایش های مناسب انجام یافته است و

کلیه رخنمونهای موجود سنگی برداشت و بر روی نقشه توپوگرافی به مقیاس ۱:۱۰۰۰۰ انتقال

یافته است علاوه بر آن نقاط و رگه های احتمالی موجود توسط GPS نقاط بر روی زمین

مشخص و نمونه ها برداشت شده اند. کلیه نمونه ها بعد از برداشت نامگذاری، آماده سازی و

جهت آنالیز و مطالعه آماده شده اند. نتایج داده ها در واحد خدمات کامپیوتری شرکت

مهندسان مشاور معدنکاو مورد پردازش قرار گرفتند که به همراه نتایج و نقشه های مربوط در

ضمیمه گزارش موجود می باشد گزارش حاضر به تفصیل هر یک از مراحل انجام این طرح را

در چهار فصل به شرح ذیل ارائه کرده است.

## فصل اول - کلیات

### فصل دوم - زمین شناسی عمومی

### فصل سوم - اکتشاف رئوژیمیابی

### فصل چهارم - تعبیر و تفسیر

## ۱-۳-پیشینه مطالعات

استان گلستان یکی از بخش‌های مورد توجه زمین شناسان بوده است، گزارش‌های

فعالیت‌های معدنی و زمین شناسی این ناحیه وجود دارد که نشان دهنده اهمیت این منطقه

می‌باشد. اما از آنجا که گزارش حاضر نظر خود را بروی شیسته‌های گرگان معطوف نموده

است لذا صرفاً به منابع و فعالیت‌های انجام یافته بر روی شیسته‌های گرگان اشاره می‌شود.

این منابع عبارتند از:

۱- ببریان و همکاران (۱۹۷۳) به دگرگونی و فاز‌های دگرگونی در شیسته‌های گرگان

۲- مجیدشاه پسندزاده، رساله کارشناسی ارشد و طرح تحقیقاتی مطالعه زمین شناسی و

بررسی روندهای تکتونیکی در سنگهای پرکامبرین (شیسته‌های گرگان) دانشگاه تربیت

ملعم تهران\_ ۱۳۷۱

۳- طرح پی جویی و پتانسیل یابی مواد معدنی در شیسته گرگان (مرحله اول) مهندسان

مشاور معدنکاو ۱۳۷۸

۴- طرح پی جویی و پتانسیل یابی مواد معدنی در شیسته گرگان (مرحله دوم) مهندسان

مشاور معدنکاو ۱۳۷۸

همانگونه که قبلاً نیز ذکر شد در مرحله دوم طرح پی جویی و پتانسیل یابی مواد

معدنی در شیسته گرگان، در ناحیه دره توسکستان مهندسان مشاور معدنکاو در چند نمونه

اکتسافی به مقادیر طلا در حد مناسب جهت پی جویی های اولیه اشاره نموده است طرح حاضر

براساس نتایج بدست آمده از آن گزارش ارائه شده است. از آنجائیکه طلا به عنوان عنصر مورد

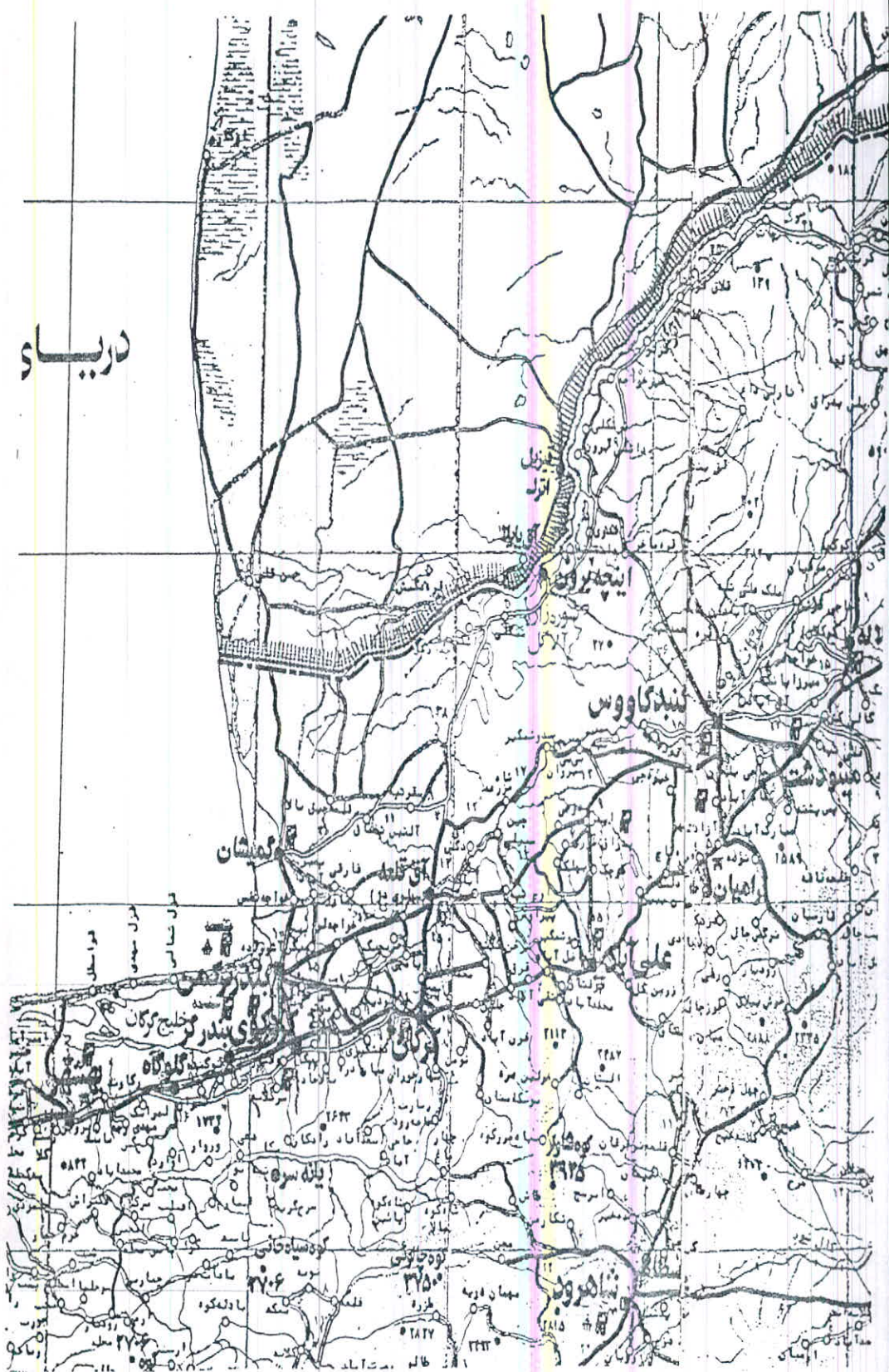
پی جویی در این طرح مطرح است یاد آور می شود در گزارش مرحله اول پی جویی و پتانسیل یابی در شیسته گرگان به صورت تفصیلی در خصوص ویژگی های فیزیکی و شیمیایی همچنین تقسیم بندی کانسارها و روش های پی جویی و اکتشاف طلا بحث شده است که از تکرار آن در این گزارش صرف نظر می گردد و تنها مختصه در این خصوص آورده می شود.

## ۱-۴-ویژگی های جغرافیایی منطقه

محدوده مورد مطالعه در ۱۵ کیلومتری شرق گرگان بین عرض های جغرافیایی  $36^{\circ}$  و  $36^{\circ}$  تا  $46^{\circ}$  و  $36^{\circ}$  و طول های جغرافیایی  $34^{\circ}$  و  $36^{\circ}$  تا  $54^{\circ}$  و  $54^{\circ}$  واقع است. به منظور دسترسی به محدوده مورد نظر از جاده اصلی گرگان - علی آبادک تول و در فاصله ۸ کیلومتری از شهر گرگان به سمت روستای توسکستان جاده ای منشعب می گردد که این جاده در امتداد رودخانه گرمابدشت ادامه دارد و سراسر آسفالت است از روستای توسکستان به سمت جنوب پس از مسافتی در حدود ۵ کیلومتر به ابتدای غربی محدوده می توان دست یافت که ابتدای محدوده در دره گرمابدشت واقع است و در همین نقطه می توان کنタکت سازند خوش بیلاق به شیسته های گرگان را ملاحظه نمود. (شکل ۱-۱)

کل منطقه تحت پوشش جنگلی قرار دارد و خاک سطحی شامل خاکهای گیاهی در منطقه توسعه زیادی یافته است در بعضی مناطق ارتفاع خاک سطحی بسیار زیاد می باشد و عملاً از رخمنوهای شیسته اثری وجود ندارد.

دریا



شكل ۱-۱ راه دسترسی به محدوده مورد مطالعه

حداقل ارتفاع ۷۰۰ m و حداکثر ارتفاع به بیش از ۲۰۰۰ متر می رسد شیب توپوگرافی در کلیه

مناطق زیاد است و دسترسی به مناطق میانی منطقه را دشوار می سازد. عکس (۱-۱)

وجود گسل های بزرگ سبب گشته است تا در منطقه شاهد پرتگاههای متعدد باشیم در این

مناطق رخنمونهای سنگی در صورت نبود پوشش گیاهی بهتر ملاحظه می گردد. عکس (۲-۱)

از نظر آب و هوای این محدوده به دلیل نزدیکی به شهر گرگان و از آن جائی که به

نسبت از ارتفاع کم برخوردار است دارای آب و هوایی مطابق با این شهر می باشد. دمای هوا

در این محدوده بین ۵ تا ۴۰ درجه سانتی گراد در تغییر است، رطوبت نسبی آن ۶۰ درصد

می باشد و میزان بارندگی در این منطقه بیش از ۵۰۰ میلی متر در طول سال است. شبکه

آبراهه ای در این محدوده از گسترش چندانی برخوردار نیست و معمولاً فاقد آب می باشند در

این آبراهه ها اغلب به دلیل انبوهی پوشش جنگلی، رسوبات و دانه بندی شامل ذرات رس و

سیلت و قلوه سنگ و ... تشکیل نشده است.



عکس ۱-۱- وضعیت پوشش گیاهی در محدوده



عکس ۱-۲- وضعیت پوشش گیاهی در حاشیه جاده

الارضی مشخص گردیده اند تماماً در شرق دره رودخانه انجلات تشکیل گردیده اند. این

توده های نفوذی غالباً به صورت سیلهایی با گسترش و ضخامت چشمگیر تشکیل گردیده اند،

که عبارتند از توده های گلبرو - دیوریتی نهار خوران ، توده های سینیتی توسکستان و توده

ایگنمبریت استان، هاله های دگرگونی این توده ها گسترش محدودی داشته و شدت

دگرگونی مجاور آنها نیز پایین است.

در سری دگرگونی شیستهای گرگان میان لایه ای های متعدد آذرین وجود دارد که به

همراه شیست ها دگرگونی ضعیفی را در حد شیست سبز تحمل نموده اند.

از جمله نکاتی که مرفولوژی و تغییرات ساختاری را در محدوده رخمنون شیست های

گرگان کنترل می نماید ، میزان میان لایه ای های آذرین دگرگون شده در سکانس سری

دگرگونی شیست می باشد درصد فراوانی میان لایه ای های متولکانیک در سکانس شیست

گرگان از سمت غرب به سمت شرق افزایش می یابد در بخش های شرقی ترکه درصد

متولکانیک ها افزایش می یابد ، مشخصاً شیست مرفولوژی خشن تر و پایداری بیشتری

می یابد و بدین لحاظ از میزان زمین لغزشها نیز کاسته می شود.

در سری دگرگونی گرگان توسط شاه پسند زاده سه واحد لیتوکتونیکی - لیتوکتونیکی

مشخص شده است ، این واحدها از قدیم به جدید به صورت زیر پیشنهاد شده اند.

الف- واحد زیرین :

شامل توالی از گدازه های متابزالتی با ساخت بالشتی به همراه فیلیت سبز تا خاکستری

تیره ای در بخش فوقانی سری تشکیل شده اند. طول این گدازه ها به بیش از  $1/5$  متر رسیده

فیلیت های سیاهرنگ در بعضی نقاط واجد دانه بندی تدریجی هستند. این دانه بندی

تدریجی با سطوح فرسایشی مشخصی در قاعده و افزایش اندازه دانه ها به سمت بالا مشخص

می گردد. در برخی موارد فیلیت های سیاهرنگ مذکور فاقد دانه بندی تدریجی بوده و توالی های

ضخیم شونده به سمت بالا (Thickening Upward) را نشان می دهند. لازم به ذکر است که در

بعضی نقاط قطعاتی زاویه دار از سنگهای ولکانیکی به طور پراکنده و محدود در زمینه ای

فیلیتی قرار گرفته اند که در اثر جریانهای گلی (Mud Flow) حاصل شده اند.

بر اساس مطالعه پالینومorf های شناخته شده از فیلیت های سیاهرنگ (قویدل

سیوکی ، ۱۳۷۱) سن این بخش دونین بالائی - کربنیفر بیرین تعیین شده است.

#### پ- واحد فوقانی :

این واحد از توالی سنگهای نظیر متابرش ولکانیکی ، متایگنمبریت ، گدازه های

بازالتی یا بازالت آندزیتی و فیلیت های سبزرنگ تشکیل شده اند. در متابرش ولکانیکی قطعاتی

عدسی شکل از سنگهای ولکانیکی شدیداً "حفره دار در زمینه ای از فیلیت های توفی سبزرنگ

به موازات تورق قرار گرفته اند، این سنگها غالباً" با مرزی عادی توسط فیلیت های سبزرنگ

پوشیده می شوند. متأیگنمبریت های یاد شده با ساخت جریانی خود به وضوح در مشاهدات

صحرائی قابل تشخیص بوده به طوریکه قطعات عدسی شکل از پومیس (Pumice) با حفرات

زیاد و فنوکریست های فلدسپار به یکدیگر جوش خورده و به موازات فولیاسیون قرار گرفته اند.

در قاعده این سنگها فیلیت های سبزرنگ با آثار نهشته های پیروکلاستیک خزشی

مشاهده می شود.

به طور کلی تراشه هایی از سنگهای متاگابرو، متاکوارتز موونزونیت و سیلیهایی از متامیکروگابرو و میکرو دیوریت به همراه سنگهای میکروگرانیت در ناحیه مورد مطالعه یافت می شوند. حاشیه این تراشه ها اکثراً خرد و برشی شده و با تشکیل رگه ها و رگچه های فراوانی از کوارتز همراه است. ضمناً هیچگونه کانی دگرگونی فشار پائین - درجه حرارت بالا (دگرگونی مجاورتی) در حاشیه آنها دیده نشده است.

از نظر چینه شناسی سازند پادها (Padeha Formation)، (بنابر مطالعات ژئی ۱۹۷۷) در مقطعی

واقع در شمال شاهروود قرار دارد که شامل ۱۹۰ متر دولومیتی های میکریتی ماسه ای، سنگ ماسه های گریوواکی خاکستری رنگ و ارتوکوارتزیت بوده که با سازندهای سلطان میدان و خوش بیلاق دارای همبrij عادی هستند. ضخامت این سازند به طرف شمال کاسته شده و ضمن افزایش نسبت ارتوکوارتزیت ها به سایر واحدهای سنگی، بین لایه هایی از بازالتها اولیوین دار در آنها ظاهر می شود، بنابر مطالعات فسیل شناسی توسط قویدل سیوکی (۱۳۷۰)، سن این سازند فراسین زیرین (دونین فوكانی) است.

سازند پادها در دره های الازمن، محمدآباد، جعفر آباد و توسکستان رخمنون دارد.

این سازند از نظر چینه نگاری با یک نایپوستگی فرسایشی بر روی متاولکانیتهای محمدآباد قرار گرفته و توسط سازند خوش بیلاق با مرز عادی پوشیده می شود. سازند پادها در نواحی فوق الذکر از قاعده به سمت بالا به صورت زیر دیده می شود :

- کنگلومراهای قاعده ای به رنگ قرمز قهوه ای تا قهوه ای تیره ، لایه ضخیم تا توده ای ،

متناوب با سنگ ماسه های قلوه ای قرمز رنگی که قطعاتی از سنگهای آشفشانی

محمدآباد به همراه کوارتز در آنها دیده می شوند.

- گدازه های بازالت آندزیتی ، با فنوکریست های پلاژیوکلاز که در سطوح هوازده

به رنگ قرمز قهوه ای ولی در سطح تازه شکسته به رنگ سبز تیره دیده می شوند.

این سنگها شدیداً خرد و برشی شده هستند.

- سنگ ماسه های ارتوکوارتزیتی قرمز قهوه ای تا سفید متمایل به صورتی با لایه بندی

ضخیم تا متوسط (۸۰-۱۰ سانتیمتر) که دارای ساختمانهای رسوبی ریپل مارک و

لامینیشن متقطع به همراه فسیلهای تنتاکولیتس (هوبر، ۱۹۵۷) هستند.

سازند خوش بیلاق (Khoshyeylagh Formation) از دیگر سازند های موجود در منطقه

است که دارای کنتاكت گسله با شیسته های گرگان در دره توکستان می باشد. بزرگ نیا

(۱۹۷۳) مقطع نمونه این سازند را در گزنه خوش بیلاق واقع در مسیر جاده شاهروд به

آزادشهر معرفی کرده است، مقطع مذکور با ضخامتی حدود ۱۳۵۰ متر عمدتاً از سنگهای

کربناته تشکیل شده و به طور هم شیب بر روی سازند پادها و زیر سازند مبارک قرار می گیرد.

سازند خوش بیلاق در سال ۱۳۷۰ توسط قویدل سیوکی از نظر پالینولوژی مطالعه گردیده

است. بنابر مطالعات ایشان ، سن سازند خوش بیلاق ، فراسینین میانی - بالایی و نیز بخش

فوقاری آن فامینین زیرین تعیین شده است.

سازند خوش بیلاق در بخش های شمالی ناحیه مورد مطالعه با همبrij عادی بر روی

سازند پادها قرار گرفته است. مرز فوقانی این سازند با سازند مبارک در بخش های شمالی ناحیه

گرگان دیده نشده، ولی در بخش های جنوبی ناحیه مورد مطالعه با سازند مبارک دارای

همبرij عادی است. بعلاوه، در بعضی نقاط سازند مذکور با سازند پادها و متالکانیت های

محمدآباد به صورت یک ورقه رانده بر روی بخش های بالای سازند خوش بیلاق و یا سازند

مبارک از شمال به سمت جنوب رانده شده است.

بخش های قاعده این سازند با کنگلومرا و سنگ ماسه های قلوه ای قرمز رنگ متمایل

به قهوه ای، لایه ضخیم، با قلوه هایی از کوارتز، سنگهای آتشفسانی محمدآباد و چرت به

طور متناوب با ارتوکوارتزیت های قرمز تا صورتی متمایل به سفید، متوسط تا ضخیم لایه و

چند افق گدازه های بازالت آندزیتی هوازده مشخص می شود. این واحدهای سنگی

در زیر سنگ ماسه های آهکی تا سنگ آهک های زرد متمایل به کرمی در سطوح هوازده و

خاکستری تیره تا سیاه رنگ در سطح تازه شکسته سنگ، لایه ضخیم تا لایه متوسط

(۶۰-۶۰ سانتیمتر)، سیلیسی و خرد شده با توسعه رگچه های کلسیت قرار گرفته اند. سنگ

آهکهای دولومیتی زرد رنگ لایه نازک تا متوسط برپی شده در بخش فوقانی سازند مذکور

مشاهده می شوند.

١-٤- طلا

طلا از فلزات قیمتی بسیار مهم است که از گذشته تا حال پشتونه اقتصادی کشورها و

تمدنها بوده است. طلا عنصری است متعلق به گروه مس یا سیستم تیلور کوپیک با سختی

۳-۲/۵ در مقیاس موس، عدد اتمی ۷۹، جرم اتمی ۱۹۷، وزن مخصوص  $g/cm^3$  و  $۱۹/۳۳$

نقطه ذوب ۱۰۶۴ درجه سانتيگراد، طلا دارای چهارده ايزوتوب با اعداد جرمی ۱۹۲ تا ۲۰۶

می باشد که تنها ایزوتوب پایدار آن که در طبیعت دیده می شود  $^{197}\text{Au}$  است. اکثر ایزوتوپهای

طلا دارای نیمه عمری کوتاهتر از ۱ دقیقه می باشند و فقط ایزوتوپ  $^{197}\text{Au}$  دارای نیمه عمر

۱۸۳ روز می باشد. خاطرنشان می گردد ایزوتوپی از طلا ساخته شده است ( $^{198}\text{Au}$ ) که

منحصراً في المعالجات به وسيلة اشعه ايكس و به عنوان ردياب در مطالعات پزشکي کاربرد دارد.

طلا یکی از شکل پذیرترین و چکش خوارترین فلزات است به گونه‌ای که می‌توان

ورقه اي از طلا به ضخامت 1 mm و مفتولهاي به قطر 0.5 mm ساخت ، از اينو از

یک اونس طلا می‌توان ورقی به مساحت  $14 \text{ m}^2$  به دست آورد.

مهمترین کانی اقتصادی طلا، طلای طبیعی است. طلا حاوی مخلوطی از چهل

عنصر به ویژه نقره، پلاتین، مس، آهن، سرب، بیسموت، آنتیموان و پالادیوم به صورت

آلیاژ است. در جدول (۱-۱) کانیهای مهم طلا آورده شده‌اند.

فراوانی طلا در پوسته جامد زمین (کلارک) تقریباً  $4/5 \text{ ppb}$  می باشد که ضریب

پرعيار سازی آن بين ۴۰۰-۲۰۰ متفير است. حد أستانه آي اقتصادي طلا از حداقل ۱ ppm بـر

حسب نوع سنگ و باطله، می باشد.

## جدول (۱-۱)- ترکیبات و خواص کانیهای طلادر

سیستم بلور	سختی		چگالی (g/cm <sup>3</sup> )	درصد عنصر	ترکیب شیمیایی	کانی
	میکروسکوپی	در مقیاس موہس				
Cubic	45-70	2.5-3	16.8-19.34	Au:65-99 Ag:1-35	Au, Ag	طلای طبیعی
Cubic	83-119	2.5-3	13.8-16.1	Au:35-65 Ag:35-65	Au <sub>(1-x)</sub> Ag <sub>x</sub>	کتروم
Monoclinic	144-224	2.5-3	9.31	Au:34-44 Te:53-58	AuTe <sub>2</sub>	کالاوریت Calaverite
Monoclinic	120-148	1.5-2	8.11	Au:24-30 Ag:9-15 Te:60-64	(Au,Ag)Te <sub>4</sub>	سیلوانیت Sylvanite
Cubic	44-96	2.5-3	8.7	Au:35-44 Ag:23-28 Te:21-35	Ag <sub>2</sub> AuTe <sub>2</sub>	پتزیت Petzite
Tetrahedral	68-130	1-1.5	7.55	Pb:51-57 Au:7.5-10 Sb:6-8	Pb <sub>5</sub> (Te,Sb) <sub>4</sub> S <sub>3-8</sub>	نازیارت Nagyagite
Orthorhombic	182-217	Nd	8.62	Au:30-44 Ag:0.5-7.2 Te:56-62	(Au,Ag)Te <sub>2</sub>	کرنزیت Kernnerite
Cubic	248-262	Nd	19-19.1	Au:41-46 Sb:54-59	AuSb <sub>2</sub>	آروستینیت Aurostibinite
Cubic	52	Nd	nd	Ag:48-50 Au:27-28.5 Se:20-24	Ag <sub>2</sub> AuSe <sub>2</sub>	فیشریت Fischerrite
Cubic	260-370	Nd	19.6	Ag:66-67 Bi:33-34	Au <sub>2</sub> Bi	مالدونیت Maldonite

طلای دارا بودن خاصیت سیدروفیلی و کالکوفیلی در سیالات ماقمایی باقی مانده

یعنی در فازهای سولفیدی ناشی از تفریق ماقماها بیش از مایعات سیلیکاته تجمع می یابد. این

عنصر در ذخایر ماقمایی، همراه با فلزات گروه پلاتین در ذخایر رگه ای به همراه جیوه،

بیسموت، آنتیموان، آرسنیک، سلینیوم، تلوریم، مس، نقره و تالیم مشاهده می شود.

به علاوه طلا بیشتر اوقات جانشین عناصر دارای خواص شیمیایی مشابه در کانه هایی

نظیر پیریت آرسنوبیریت ، کالکوپیریت ، استینینیت و رآلگار می گردد.

فراوانی طلا در سنگهای اولترامافیک و مافیک به عنوان سنگ درونگیر نسبت به انواع

متوسط و اسیدی غنی شدگی بیشتری نشان می دهدند.

کشور آفریقای جنوبی بزرگترین تولید کننده طلا در دنیاست و کشورهای روسیه ،

کانادا، آمریکا، استرالیا و چین به ترتیب در ردیف های بعدی قرار دارند.

کانسارهای طلا در طبیعت به صورت کانسارهای رسوی، ماگمایی، گرمابی و

دگرگونی وجود دارد تاکنون تقسیم بندی های زیادی برای کانسارهای طلا انجام گرفته است

که مهمترین آن عبارتند از:

۱- تقسیم بندی کانسارهای طلا براساس سن، منشا و پتانسیل اقتصادی

که خود به دو قسم تقسیم می شوند: کانسارهای طلای مربوط به پرکامبرین و

کانسارهای طلای فانروزوئیک جدول (۲-۱).

۲- تقسیم بندی کانسارهای طلا براساس نوع محصول

که در این تقسیم بندی نیز کانسارهای طلا به دو گروه تقسیم می شوند:

کانسارهایی که طلا در آنها به عنوان محصول اصلی است و کانسارهایی که در آنها طلا به

عنوان محصول فرعی محسوب می گردد. جدول (۳-۱) و (۴-۱).

**جدول (۲-۱) - تقسیم‌بندی کانسارهای طلا بر پایه سن، منشا و پتانسیل اقتصادی**

		کانسارهای طلای مربوط به کامپوننت	
		کانسارهای طلای مربوط به قارچ‌زدگی	
۱- کانسارهای طلا همراه با رسوبات شیمیایی	ذخیره ۸ میلیون تن با عیار ۸ p.p.m	ا- کانسارهای طلا همراه با رسوبات شیمیایی آهن لایه‌ای	آرکن
۲- کانسارهای طلای نوع رگهای در شیسته‌های سینارکن	ذخیره عموماً کمتر از ۱ میلیون تن با عیار ۱۵/۱ p.p.m	۲- کانسارهای طلای نوع رگهای در شیسته‌های سینارکن	
۳- کانسارهای ماسیوسولفاید Au	ذخیره از جند صد تن تا ۵۰ میلیون تن با عیار ۰/۱-۵ p.p.m	۳- کانسارهای ماسیوسولفاید Cu,Zn,Au	
۴- کانسارهای نوع پلاسری طلا		۴- کانسارهای نوع پلاسری طلا	
۱- کانسارهای نوع ماسیوسولفاید Cu,Zn		۱- کانسارهای نوع ماسیوسولفاید Cu,Zn	بروتروزوئیک
۲- کانسارهای نوع پلاسری طلا		۲- کانسارهای نوع پلاسری طلا	
۱- نوع پراکنده در سنگهای کربناته (کارلین)	ذخیره به طور متوسط ۱۰ میلیون تن عیار ۱/۵-۱۱ p.p.m : Au ۳۰ - ۴۰ p.p.m : Ag	۱- نوع پراکنده در سنگهای آنسفسانی	A. کانسارهای طلای ابی ترمال
۲- نوع پراکنده در سنگهای آنسفسانی	ذخیره ۱-۲۰۰ میلیون تن عیار ۱/۵-۵ p.p.m	۲- نوع رگهای (بیشتر سولفیدها و آرسنیدها و به ندرت بصورت خالص)	
۳- نوع رگهای (بیشتر سولفیدها و آرسنیدها و به ندرت بصورت خالص)	ذخیره کمتر از ۱ میلیون تن عیار بیش از ۵ p.p.m		
			B. نوع پلاس
۱- نوع کروکو	ذخیره ۱-۵۰ میلیون تن عیار ۰/۱-۲/۲ p.p.m	۱- نوع کروکو	C. کانسارهای ماسیوسولفاید
۲- نوع فیرس	ذخیره ۰/۱-۲/۵ میلیون تن عیار ۰/۱-۰/۵ p.p.m	۲- نوع فیرس	
			D. مس بر فیری
			E. اسکارنهای مس دار

## جدول (۳-۱) - مشخصات تعدادی از کانسارهای با محصول اصلی طلا

تیپ کانسار	محیط پیدا شیش	تیپ هاله های ژئوشیمیایی اوایه
Te-Ag-Au	توده های نفوذی پر فیرو افانیتیک	Au-Ag-Te-Cu-Pb-Sb-Hg-F
Ag-Au	توده های خروجی فلزیک تا مافیک (خشکی)	Au-As-Sb-Hg-Ti-Ag
رگه های آبی ترمال تیپ کرید	توده های خروجی فلزیک تا مافیک (خشکی)	Au-As-Sb-Hg-Cu-Zn-Pb
رگه های آبی ترمال تیپ کومستاک	توده های خروجی فلزیک تا مافیک (خشکی)	Au-As-Sb-Hg-Cu-Zn-Pb
رگه های آبی ترمال تیپ سادو	توده های خروجی فلزیک تا مافیک (خشکی)	Au-Ag-Cu
رگه های آبی ترمال کوارتز-آلوبیت	توده های خروجی فلزیک تا مافیک (خشکی)	Au-As-Cu-Te-W
Ag-Au با میزان کربناتی	توده های خروجی فلزیک تا مافیک (خشکی)	Au-Ag-As-Hg-Sb-C-NH <sub>3</sub> -W-Ti
Au	رخساره های دگرگونی ناحیه ای	Au-As-Hg-Te-Pb-Zn
Au	رخساره های دگرگونی ناحیه ای	Au-As-B-Sb-Bi-Hg-Fe-PGE
Au	رخساره های دگرگونی ناحیه ای	Au-Cu-Fe-F-Ba
U-Au کنگلومراژی کوارتز - زئز (دانه درشت)	سنگهای رسوبی تخریبی دانه درشت	Au-U-PGE-REE*-Ag-Zr
PGE-Au پلاسی	محیط های پلاسی سخت شده و سخت نشده مرتبط با سنگهای منشأ غیر مافیک (سطح دگرشیبی)	Au-Ag-As-Hg-Sb-Fe-Cu-S

\* Ree : Rare Earth Element

**جدول (۴-۱) - مشخصات تعدادی از کانسارهای با محصول فرعی طلا**

تیپ کانسار	محیط پیدایش	تیپ هالهای زتوشیمیابی اولیه
بلک برد Cu-Co	توده‌های خروجی مافیک زیردریابی	Fe-As-Co-Cu-Au-Mn-B
Zn-Pb	همبری توده‌های نفوذی پرفیرو آفانتیک	Zn-Pb-Mn-Cu-Au-Ag-As
Zn-Cu	توده‌های بازیک پرفیرو آفانتیک مرتبط با اوپیولیت‌ها	Mn-Fe-Cu-Zn-S-Ag-Au-Co-Ni
Cu	توده‌های نفوذی پرفیرو آفانتیک	Cu-Mo-Au-Ag-Pb-Zn-Se
Cu	توده‌های نفوذی پرفیرو آفانتیک	Cu-Mo-Ag-Te-Zn-Pb-Mn-Au
Au-U-Cu المبیک دم	سنگهای رسویی تخریبی	Cu-U-Ag-Au-Co-Fe-REE-F-Ba
Au-U دگرشیبی	رخسارهای دگرگونی ناحیه‌ای	U-Mg-P
Au-PGE پلاسری	محیطهای پلاسری سخت شده و سخت نشده، مرتبط با سنگهای منشأ مافیک و اولترامافیک (سطح دگرشیبی)	PGE-Au-Ag-Cr-As-Hg-Cu-Fe-Sb-S

همانطوری که از جداول فوق مشخص می‌گردد تیپ کانساری طلا بر اساس

نقسیم بندی آن با توجه به اصلی یا فرعی بودن و همچنین محیط پیدایش هر یک مشخص

شده است که برای اطلاعات بیشتر می‌توان به گزارش مرحله اول پسی جوئی و پتانسیل یابی

در شیست گرگان مراجعه نمود.

## فصل دوم

زمین شناسی منطقه مورد مطالعه

## ۱-۲- روش تهیه نقشه زمین شناسی

با توجه به شرح خدمات قرارداد منعقده، تهیه نقشه زمین شناسی به مقیاس ۱:۱۰۰۰۰ به وسعت

۵ کیلومتر مربع يكى از مراحل اين طرح بوده است که اين محدوده با در نظر گرفتن شرایط و محل

نمونه برداری های ژئوشیمیایی و همچنین با تایید کارفرمای محترم در دره توکسکستان حد فاصل دره

گرمابدشت به سمت شمال تا محله وسیع قربان انتخاب گردید .

به منظور تهیه نقشه زمین شناسی نقشه های توپوگرافی ۱:۵۰۰۰۰ سازمان جغرافیایی ارش،

نقشه توپوگرافی ۱:۲۵۰۰۰ جنگلبانی و همچنین عکس های هوایی از منطقه تهیه گردید . از آن جایی

که وضعیت پوشش گیاهی در منطقه مورد مطالعه انبوه و از نوع جنگلی بوده است عکس های هوایی

تنها وضعیت پوشش گیاهی را نمایان ساخته است و در تهیه نقشه قابل استفاده نبوده است . بنابراین

نقشه توپوگرافی ۱:۲۵۰۰۰ جنگلبانی پس از تبدیل مقیاس به ۱:۱۰۰۰۰ و تهیه آن به صورت رقومی به

عنوان نقشه مبنا (Base Map) مورد استفاده قرار گرفت . همانگونه که قبل از ذکر شد منطقه مورد

مطالعه کاملاً جنگلی با پوشش گیاهی انبوه است و خاک سطحی اعم از خاک گیاهی ولسنا گسترش

چشیگیری دارد که این امر باعث کاهش درصد رخمنون های سنگی شده است بنابراین در تهیه نقشه

با توجه به شواهد موجود اقدام به برداشت و پیاده کردن عوارض زمین شناسی به صورت مستقیم با

کمک GPS و همچنین بهره گیری از شبکه نمونه برداری طراحی شده در مرحله نمونه برداری

ژئوشیمیایی شده است ، براین اساس و با توجه به وسعت منطقه پیمایش های استاندارد در منطقه

صورت پذیرفته است و محل های دارای رخمنون در نقشه مبنا مشخص گردیده است . از پیوستگی

نقاط برداشت شده و مطالعه نمونه های برداشت شده در این مرحله نقشه زمین شناسی تهیه گردید .

ପ୍ରକାଶକ

(An 46) (ကြပ်လျှော့မြတ်) အနေဖြင့် မြတ်သူများ မြတ်သူများ မြတ်သူများ

ପ୍ରମାଣ ଏହି କୃତି ଦେଖିଲୁଗି ଲୁହ କାହିଁ ନାହିଁ କାହିଁ କୁଣ୍ଡଳ ତଥି ଲୁହ ଦେଖିଲୁଗି କୁଣ୍ଡଳ

କି ଲୁଣଙ୍କା ନ ହଁ? ଏହା ଥିଲା କିମ୍ବା ଅଧିକ ୫୦୦ ମୀଟର୍ ଉଚ୍ଚତା । ଏହାରେ କିମ୍ବା

፩ የፌዴራል ስነዎችን የሚያስተካክለውን ቁጥር እና የፌዴራል ምንም ቀን ተከታታለሁ ነው እና ይህንን ምንም ቀን ተከታታለሁ ነው

የዕለታዊ የደንብ ትናርሽ እና መሬት ስራውን ተከተሉ ይችላል፡፡

የዚህ የሚከተሉት በቻ እንደሆነ ስምምነት ይረዳል

၅၈၁၆၇ မြန်မာ နှင့် အမြတ်ပါ နေရာများ အကျဉ်းချုပ် ၁၀၀၆၂၁၄

ମୁହଁରେ ଏ ପ୍ରାଚୀ ଜ୍ଞାନ ଶ୍ରଦ୍ଧା ଯିବା କାହାର କାହାର କାହାର କାହାର

፭ የዚህ አገልግሎት ተስፋው ስምምነት እንደሚታረሙ የሚከተሉት የሚመለከት ማስታወሻ ነው፡፡

ଶ୍ରୀମତୀ କୁମାରୀ ଦେବି

ମୁଣ୍ଡ ପାଇଁ କିମ୍ବା ମୁଣ୍ଡ ଦିଲ୍ଲି କିମ୍ବା ମୁଣ୍ଡ କିମ୍ବା ମୁଣ୍ଡ କିମ୍ବା ମୁଣ୍ଡ କିମ୍ବା

የኢትዮጵያ የመሬት እና ተቃዋሚነት ስራውን በግዢር የሚገልጻ ይመለው እና (Dip Direction)

የኢትዮ ደንብ እና ስነዎች በግብር የሚያስተካክለ ይገልጻል

የሰነድ በመሆኑን አፈጻሚ ሰነድ የሚ ችልግ የሚ ችልግ ተመክለዋል እና ስራ መስቀል

واحد آهک ماسه‌ای که با علامت  $D_{40}$  بروی نقشه مشخص است، در حاشیه جاده اصلی و

دره گرمابدشت گسترش دارد این سنگ متراکم و به رنگ زرد- قهوه‌ای روشن دیده می‌شود. از نظر

میکروسکوپی این سنگ شامل کربنات از نوع کلسیت است که اندکی به کانی‌های اکسید آهن آغشته‌گی

نشان می‌دهند و همچنین حاوی کوارتز به صورت بلورهای مستقل و بلورهای ری کریستالیزه با منشا

آواری است. نمونه شماره ۲۶۱-۱ از این محل برداشت شده است.

در شمال شرق محدوده رخمنون کوچکی از توده نفوذی سینیتی با علامت  $S_5$  مشخص شده

است. این رخمنون کوچک که می‌بایستی تا اعمق گسترش داشته باشد در کنتاکت باشیست‌های

گرگان است و شاید به دلیل پوشش خاک سطحی در منطقه تنها قسمتهایی از آن نمایان شده است.

این سنگ با رنگ روشن سفید متمایل به صورتی و دانه بندی درشت به همراه کانی‌های اکسید آهن

به رنگ قهوه‌ای مشخص می‌باشد. از نظر میکروسکوپی این سنگ حاوی فلدسپات‌ها که به مقدار

ناچیز نیز دگرسانی پذیرفته اند و کوارتز که به صورت ٹانویه در شکستگی‌های حاصل از اثرات

تکتونیکی رشد نموده است می‌باشد. کانی‌های اکسید آهن نیز در این سنگ به چشم می‌خورد و

دانه‌های ریز سریسیت و مسکویت نیز به صورت جهت یافته در سنگ که نشان دهنده آثار کمی از

دگرگونی است یافت می‌شود. نمونه شماره GTR-1 از این محدوده برداشت شده است.

### ۳-۲- شرح مقطع زمین‌شناسی

یکی از مناسب‌ترین رخمنون‌های سنگی موجود در منطقه، بروزدهای ابتدای جنوبی محدوده

مورد مطالعه در حاشیه شرقی دره رودجزولی (گرمابدشت) می‌باشد.

صفحه ۶-۲	گزارش نهایی بی خوبی مواد معدنی در شیسته های گرگان منطقه توسکستان فصل دوم- زمین شناسی منطقه مورد مطالعه	 مدانکار مهندسان مهندسی Madankar Consulting Engineers Co.
----------	---	---

به منظور بررسی های بیشتر در منطقه و برداشت نمونه های برجای سنگی ، مقطع این رخمنون از ابتدای

دره به صورت کامل و با متراکم پامپاس به همراه نمونه برداشت گردید .

در ابتدای این پروفیل که اولین رخمنون سنگی کامل در منطقه است ، یک واحد تقریباً ضخیم

کرم - نخودی رنگ با یک سری لکه ها و آغشتنگی های تیره رنگ (از جنس اکسید آهن) در متن سنگ مشاهده

می شود . این سنگها بسیار فشرده و متراکم (compact) بوده و با اسید به مقداری انک جوشش نشان می دهد . با

توجه به مشاهدات و خواص ظاهری مشاهده شده در نمونه دستی نام این سنگ آهک ماسه ای ( درصد آهک بیش از

بخش دانه ای و ماسه ای ) است . در مطالعه تیغه نازک این نام مورد تائید قرار گرفته است . شیب و امتداد خاصی در

این واحد مشخص نمی باشد ولی درزه و شکافهای غالب آن در امتداد تقریباً شمال غربی - جنوب شرقی است .

ضخامت ظاهری این واحد در امتداد جاده آسفالت توسکستان در حدود ۵۲ متر می باشد . نمونه Pr1-1 از این واحد

است .

پس از واحد آهکی - ماسه ای بلا فاصله در کنタکت با آن واحد خاکستری رنگ با لکه های

اکسید شده آهن دار (احتمالاً گروه کانیهای دگرگونی خانواده سیلیمانیت) دیده می شود . شیستوزیته

در این سنگ قابل تشخیص است ، ولی به صورت کامل و به وضوح مشاهده نمی شود . این مطلب

نشان می دهد که دگرگونی در این منطقه از درجات ضعیف و پائین می باشد . امتداد این واحد

دگرگونی در حدود ۶۰ درجه ( شمال شرقی - جنوب غربی ) و شیب آن تندر ( حدود ۷۰ درجه ) به

سمت شمال می باشد . ضخامت ظاهری آن نیز در حدود ۹ متر است . بعد از این واحد دگرگونی ،

واحدی از جنس ماسه سنگ دگرگون شده ( کوارتزیت ) با میان لایه های فیلیت سبزرنگ با لمس

چرب به صورت هم شیب قرار گرفته است . ضخامت ظاهری این واحد تقریباً زیاد و در حدود ۳۷ متر

است . نمونه (Pr1-3) از این واحد می باشد .

پس از این واحدها یک بخش دگرگونی از جنس شیسته به رنگ ظاهری ارغوانی - بنفش به ضخامت ظاهری  $4/5$  متر تشکیل شده است . از مشخصات بازی این واحد وجود میان لایه های سیلیسی در بین تورق (شسیتوزیت) سنگها می باشد . نمونه این واحد Pr1-4 برای انجام آزمایش XRF ارسال گردیده است که در آن مقدار عناظر  $Ti$ ،  $Zr$  که پاراژن یکدیگر می باشند، مقداری بالا گزارش شده است . ولی از نظر اقتصادی قابل اعتماد و اطمینان نمی باشد .

بعد از این واحد ، بخش شیستی دیگری در رنگهای روشن (سبزروشن ) تشکیل شده است که ضخامت ظاهری آن در حدود  $8$  متر می باشد . نمونه Pr1-5 از این واحد است .

سپس یک واحد شیستی دیگر قرار گرفته است که از نظر مشخصات ظاهری از جمله رنگ با سنگهای اطراف متفاوت است . رنگ این واحد بنفش بوده و بسیار سخت، محکم و فشرده می باشد . تورق این سنگ ناجیز است که نشان می دهد از درجه دگرگونی ضعیفی برخوردار است . ضخامت آن نیز تقریباً قابل ملاحظه است (در حدود  $40$  متر) . نمونه Pr1-6 از این قسمت برداشت شده است که با توجه به مطالعات تیغه نازک نام این واحد سمی شیست (Semi Schist) تعیین شده است .

بعد از این بخش واحد سبز رنگ شیستی با تورق قابل ملاحظه قرار گرفته است که در آن ریزچین هایی در ورقه های شیستی تشخیص داده شده است . وجود این ریزچین ها (Microfold) در ورقه های شیست حاکی از این مطلب است که حداقل دو مرحله رویداد مهم تکتونیکی منطقه را تحت تاثیر قرار داده است . در مرحله اول تشکیل شیست ها و در مرحله دوم به وجود آمدن ریزچین ها تحت تاثیر فشار ناشی از عملکرد لایه ها می باشد . ضخامت ظاهری این واحد در حدود  $20$  متر است بعد از آن واحد دگرگونی دیگری به رنگ بنفش شبیه به لایه قبلی مجدداً رخمنون نشان می دهد که

می تواند این تکرار واحد ، دلیل بر عملکرد گسل می باشد . ولی آثاری از گسل مشاهده نمی شود .

ضخامت ظاهری این واحد در حدود ۱۹ متر است . در انتهای مقطع یک واحد سبزرنگ با ضخامت

ظاهری ۶۷ متر بسیار فشرده و با شیستوزیته اندک تشکیل یافته است . سنگ منشا این واحد از نوع

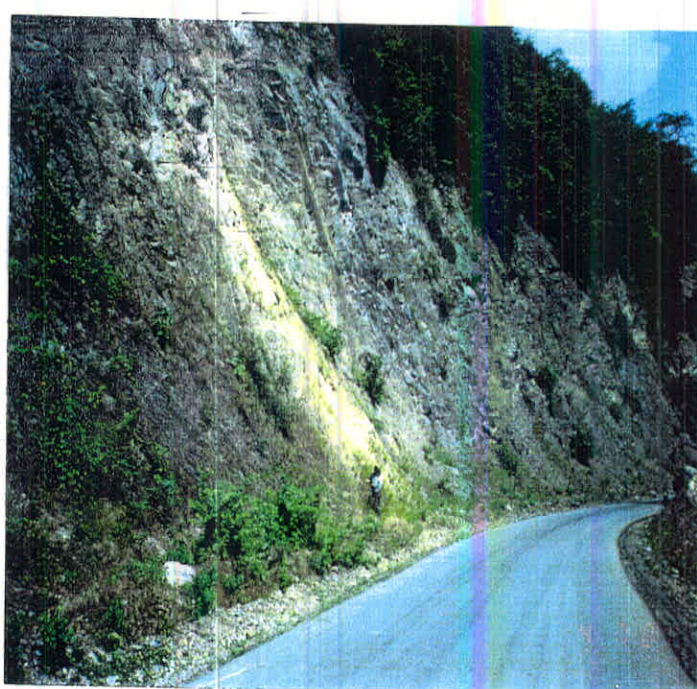
آذرین بوده که به علت اثر عوامل دگرگونی اندک تورق یافته و دگرگون شده اند . نمونه (Pr1-9) که

برای مطالعات تیغه نازک و پتروگرافی ارسال شده است این گفته را تایید می کند .

در تهیه نقشه منطقه این بخش تحت عنوان واحد آذرینی معرفی شده است . آثار دگرگونی آن

به علت چشمگیر نبودن مدنظر قرار نگرفته است . مقاطع زمین شناسی مقطع توضیح داده شده در

پیوست گزارش می باشد . عکس ۱-۲ نمای ذکر شده را نشان می دهد .



عکس ۱-۲- نمای عمومی از پروفیل کنار جاده توکسکستان در محدوده مطالعاتی

## ۴-۲- مطالعه تیغه های نازک

### ۱-۱- شماره نمونه: GAR. 1

نام سنگ: ماسه سنگ (مقادیری آهکی) - ساب آرکوز

#### ۱- توصیف نمونه ماکروسکوپی:

سنگی است رسویی به رنگ خاکستری متمایل به قهوه ای کم رنگ، دارای لکه های

سبز رنگ در بعضی از سطوح (از این بخش مقطع نازک تهیه نشده است، ولی احتمالاً کلریت

(هستند)

این سنگ رسویی از نوع ماسه سنگ و دارای کمی کربنات (کلسیت) است زیرا در

بخشهایی از سنگ جوشش ضعیفی با اسید مشاهده می شود.

#### ۲- توصیف نمونه میکروسکوپی:

این نمونه عمدتاً از کوارتز تشکیل شده است که در اندازه های ریز بطرف متوسط

هستند (غالباً در اندازه های تقریبی  $3/0$  تا  $5/0$  میلیمتری می باشند) و دارای جورشیدگی

(Sorting) خوب می باشند. زمینه در این نمونه بسیار کم و در سیاری از موارد دانه های

کوارتز بهم اتصال موزائیکی دارند.

بخشهایی از سنگ دارای سیمان کلسیتی گاهی دارای آغشتنگی به اکسید آهن، و در

بخشهای دیگر زمینه شامل رشته های بسیار ریز و ظریف و غالباً جهت یافته فیلوسیلیکات

(عمدتاً میکائی شامل سرسیت، مسکویت) گاه به همراه کوارتز کریپتوکریستالین می باشد

(سیلیس بیشتر بصورت دی کریستالیزه است).

همانطور که در بالا ذکر شد دانه های سنگ عمدتاً کوارتز است و گاهی بندرت تعداد

کمی فلدسپات دیده می شود.

بندرت گاهی دولومیت (یک مورد در پلاک مورد مطالعه) نیز دیده شده است قطعه

سنگی بسیار نازک است. عکس (۲-۲)

### ۲-۴-۲ - شماره نمونه: GAR. 2

نام سنگ: فروژینوس لیتاڑنایت (ماشه سنگ دانه متوسط متمایل به دانه درشت حاوی مقادیر زیاد اکسید آهن)

#### ۱- توصیف نمونه ماکروسکوپی:

سنگی است رسویی متمایل به رنگ قهوه ای ، دارای لکه ها و رگه های پهنه و

باریک سفید رنگ متبلور (این قسمت با اسید می جوشد و حاوی کلسیت متبلور است).

همچنین قسمتی از سنگ کاملاً به رنگ سفید و متبلور و کریستالین است که با توجه به

جوشش این قسمت با اسید حاوی کلسیت متبلور اسپاری می باشد. (از این قسمت مقطع نازک

تهییه نشده است).

#### ۲- توصیف نمونه میکروسکوپی:

این سنگ نسبتاً دانه درشت بوده و عمدتاً شامل دانه های کوارتز است که در اندازه های

حدوداً (۳/۰ تا ۱/۵ میلیمتر) دیده می شوند و اغلب آنها نیمه گرد و بندرت بصورت شکسته

گوشه دار (بلورهای ریز) می باشند.

قطعات سنگی غالباً کوارتزیتی (مشکل از کوارتز های غالباً جهت یافته) و گاهی

آذرینی مشکل از فلدسپات و رشته های ریز سریسیت - مسکویت می باشد.

ماتریکس غالباً شامل اکسید آهن ، رشته های ریز و ظرفیت کانیهای فیلوسیلیکات

(عمدتاً میکائی) و گاه سیلیس میکروکریستالین است (یعنی غلظت و تجمع زیاد اکسید آهن ،

بیشتر فضای بین دانه های کوارتز و قطعات سنگ بصورت خمیره قهوه ای رنگ و تیره دیده

می شود) گاهی رگه های نسبتاً پهن کربناتی حاوی کلسیت اسپاری نیز دیده می شود.

لازم به ذکر است که کانیهای میکایی زمینه شامل سریسیت ، مسکویت است که غالباً

بصورت رشته های بسیار ریز و ظرفیت و جهت یافته دیده می شوند.

از قسمت سفید و متبلور نمونه ، مقطع تهیه شده ولی مسلمان حاوی کلسیت اسپاری

می باشد (همانند رگه های موجود در قسمت ماسه ای سنگ). عکس (۳-۲)

### ۳-۴-۲- شماره نمونه: ۳ GAR.

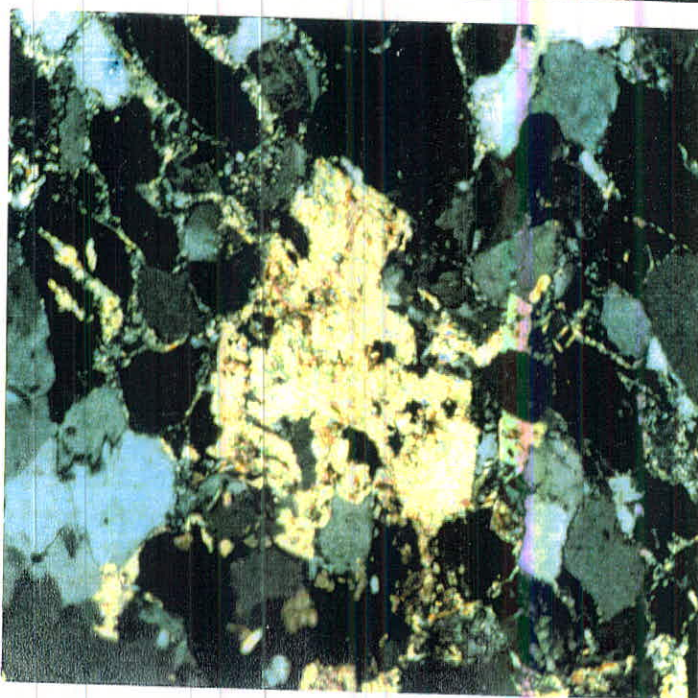
نام سنگ: سنگ ولکانیک بشدت و تماماً تجزیه شده با ترکیب احتمالی حدود آندزیت

(این ترکیب مربوط به سنگ اولیه می باشد)

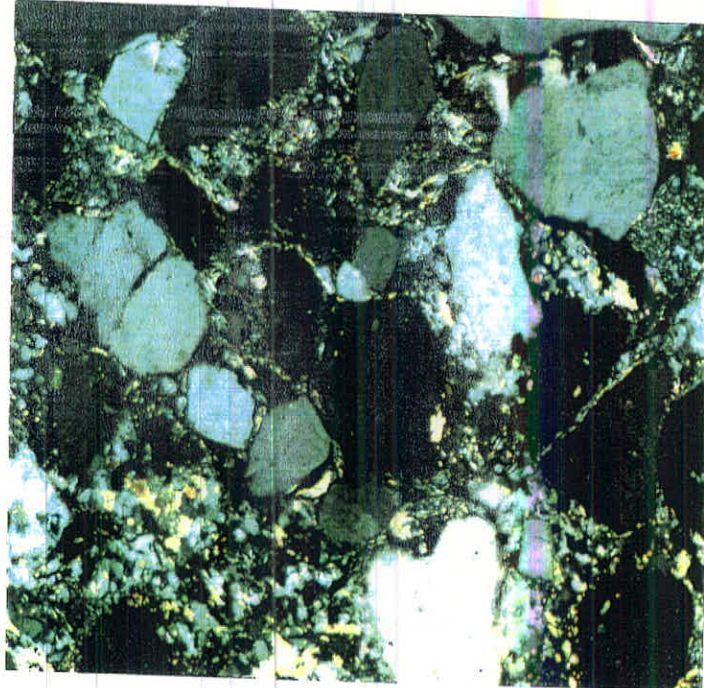
### ۱- توصیف نمونه ماکروسکوپی:

سنگی است آذرین (ولکانیک) به رنگ خاکستری متمایل به سبز ، دارای لکه های

تیره و روشن (آثار فنوتکنیک سنگ) ، دارای ترکیب متوسط.



عکس (۲-۲) - ماسه سنگ با سیمان کلسيتی وجود شدگی مناسب بزرگنمایی



عکس (۳-۲) - لیتارنایت بازmine حاوی اکسید آهن

## ۲- توصیف نمونه میکروسکوپی:

بافت سنگ: آثاری از بافت پورفیریتیک (بعثت شدت تجزیه، فقط آثاری از بافت اولیه

به جای مانده است)

این سنگ بشدت و تماماً تجزیه شده است بطوریکه کانیهای اولیه آن از بین رفته و

کانیهای ثانویه جایگزین شده اند. آتراسیون سنگ عمدتاً به کانیهای میکائی

(سریسیت - مسکویت)، پرهنیت، کلریت، اپیدوت، اکسید آهن و مقادیر کمی کربنات

می باشد.

در حال حاضر حدود و قالب های بلوری به جای مانده که گاه به طول ۸ میلیمتر نیز

می باشند (مگاپورفیر) و از فرم بلوری آنها می توان حدس زد که کانی اولیه عمدتاً پلاژیوکلاز

بوده اند، ولی در حال حاضر تماماً تجزیه شده به کانیهای ثانویه (میکا، پرهنیت، اپیدوت،

اکسید آهن، کربنات) می باشند.

تشخیص کانیهای مافیک احتمالی در بین این فنوکریست های تماماً تجزیه شده

ممکن نیست.

زمینه نیز همانند فنوکریست ها تماماً تجزیه شده است و حاصل آتراسیون کانیهای

ثانویه فیلوسیلیکات (عمدتاً میکا، کلریت) که غالباً بصورت رشته های ریز و ظرفی و غالباً

جهت یافته دیده می شوند. دانه های از اکسید آهن، اپیدوت و همچنین سوزنهای بسیار ریز و

ظرفی (احتمالاً ترمولیت - اکیتولیت) نیز دیده می شود.

کانیهای فرعی: دانه های اپک و همچنین کمی دانه های ریز اسفن لکوکسن عکس (۴-۲).

## ۴-۴-۲- شماره نمونه: GAR. ۴

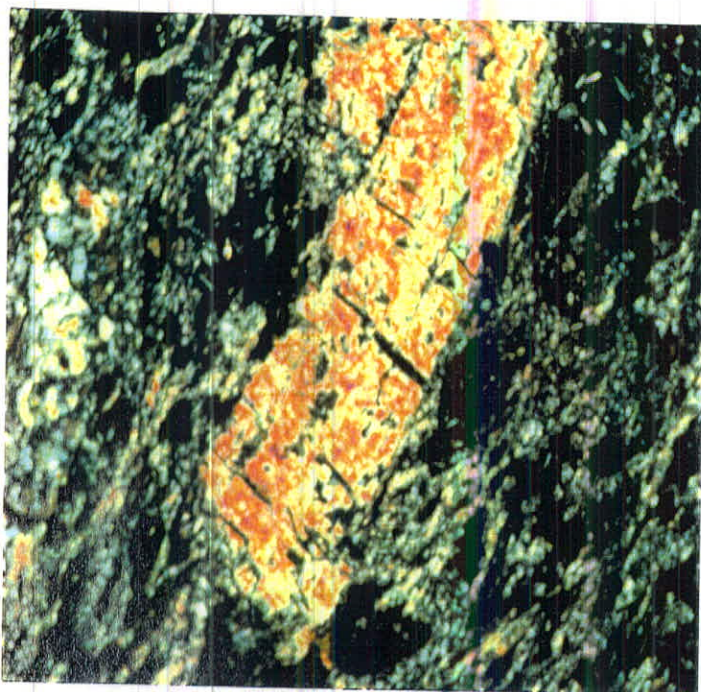
نام سنگ: سنگ آهک میکروکریستالین (میکراتی) حاوی رگه های سیلیسی

### ۱- توصیف نمونه ماکروسکوپی:

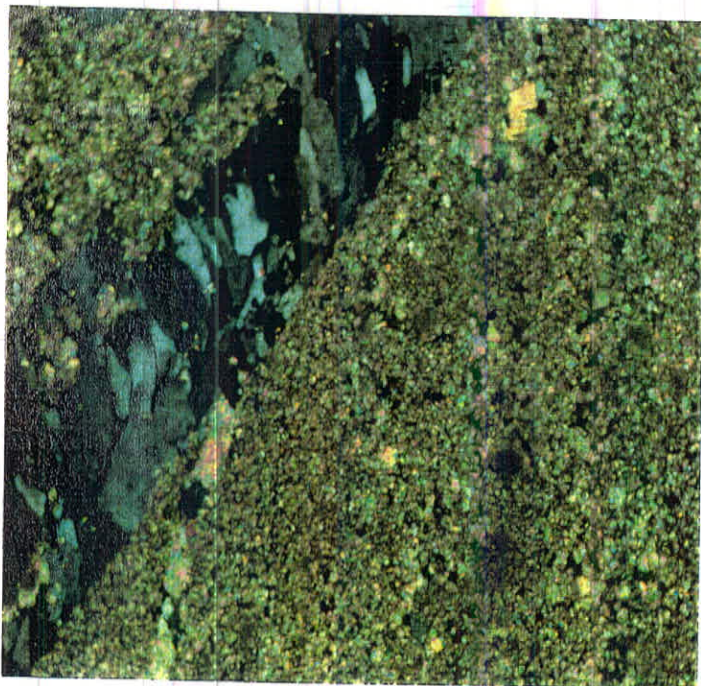
سنگی است کربناتی به رنگ خاکستری دارای لکه های سفید رنگ و حاوی رگه های سیلیس با اسید کلریدریک رقیق می جوشد (حاوی کلسیت) یکی از سطوح خارجی سنگ سبز رنگ است.

### ۲- توصیف نمونه میکروسکوپی:

بافت سنگ: کریپتوکریستالین - میکروکریستالین (عمدها)  
این سنگ از کلسیت تشکیل شده که غالباً بصورت ریز دانه میکروکریستالین تا کریپتوکریستالین دیده می شود. فضاهای خالی بواسطه وجود کلسیت شفاف می جوشد. رگه های پراکنده کوارتز و رگه های سیلیس از ناخالصی سنگ می باشند. دانه های کوارتز غالباً نیمه گوشه دار و در اندازه های تقریبی تا  $3/0$  میلیمتر بطور پراکنده دیده می شوند (ذرات تخریبی). رگه های سیلیسی نیز غالباً به ضخامت حدود  $5/0$  میلیمتر بوده و حاوی کوارتز می باشند. گاهی نیز فضای خالی موجود در سنگ اولیه بوسیله سیلیس (کوارتز) و کلسیت (اسپاری) مشترکاً اشغال شده است. بندرت گاهی فضاهای کوچک خالی دیده می شود. آثار و بقایای قطعات فسیلی در این نمونه دیده نمی شود و فاقد آلوکم است. گاهی دانه های ریز اپک نیز دیده می شود. عکس (۵-۲).



عکس (۴-۲) آندزیت کاملاً تجزیه شده بزرگنمایی X33



عکس (۵-۲) سنگ آهک میکروکریستالین حاوی رگه سیلیسی بزرگنمایی X33

## ۵-۴-۲- شماره نمونه: GAR. ۵

نام سنگ: تراکی آندزیت مقادیری تکتونیزه (و برشی)

### ۱- توصیف نمونه ماکروسکوپی:

این نمونه سنگی است آذرین (آذرین بیرونی)، به رنگ خاکستری منمایل به سبز،

دارای رگه های قهوه ای اکسید آهن (بخصوص در یکی از سطوح خارجی)

### ۲- توصیف نمونه میکروسکوپی:

بافت سنگ: پورفیریتیک با زمینه میکرولیتی (اینترسرتال)- در بخشهايی کلاستیک

این سنگ شامل فنوكرسیت های فلدسپات (عمدتاً پلازیوکلاز با ترکیب شیمیایی

حدود اولیگوکلاز تا آندزین) است که در اندازه های مختلف (تا حدود ۳ میلیمتر) است که

تقریباً بدون آلتراسیون بوده و بلورهای بزرگ دارای ترک و شکاف می باشند بعضی نیز بحال

شکسته و خورد شده دیده می شوند، تعداد کمی از بلورهای فلدسپات دارای ترکیب پتاسیک

هستند.

کانی مافیک دیده نمی شود، بندرت دانه هائی از ایدنگزیت دیده می شود که ممکن

است حاصل آلتراسیون معدود اولیوین موجود در سنگ اولیه باشند.

زمینه شامل میکرولیت های فلدسپات (عمدتاً پلازیوکلاز سدیک در حد اولیگوکلاز تا

آلیت و مقادیری با ترکیب پتاسیک) است. فضای بین فلدسپاتها عمدتاً با کلریت و اکسید آهن

اشغال شده است. در بخشی از مقطع کانهای ثانویه میکائی آهن دار دیده می شود که بصورت

رشته های باریک می باشند. گاه دانه های ریز و بی شکل کوارتز نانویه نیز دیده می شود (در

این بخش بنظر می رسد مقادیری استیلپنوملان «از کانیهای میکائی» نیز وجود داشته باشد)

کانیهای فرعی: دانه های اپک و تعدادی اسفن - لکوکسن. عکس (۶-۲)

#### ۶-۴-۲- شماره نمونه: Pr.1-۱

نام سنگ: سنگ آهک ناخالص (حاوی کوارتز) - آهک ماسه ای

##### ۱- توصیف نمونه ماکروسکوپی:

این سنگ متراکم و به رنگ زرد - قهوه ای روشن دیده می شود. این سنگ با

اسید کلریدریک ۱٪، نرمال می جوشد.

##### ۲- توصیف نمونه میکروسکوپی:

بافت: میکرواسپاری

کانیها:

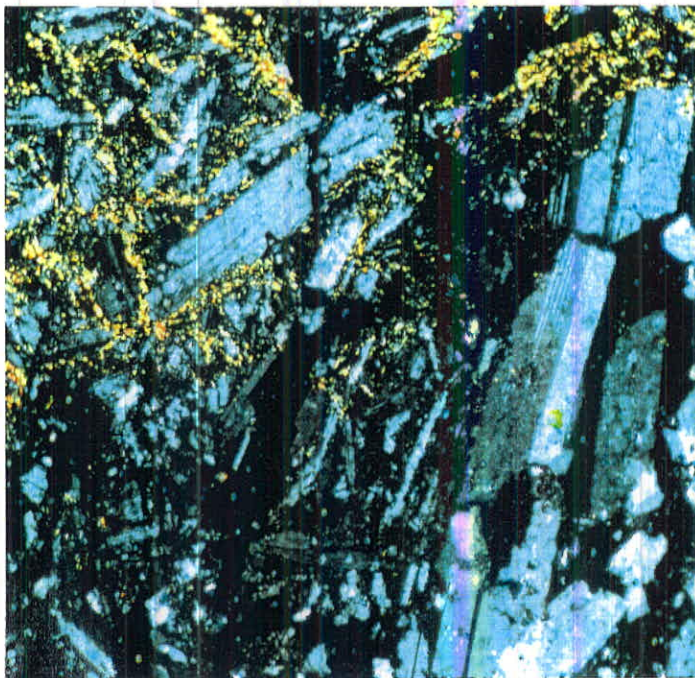
(۱) کربنات از نوع کلسیت ( $\text{CaCO}_3$ ) با بافت میکرواسپاری بیش از نیمی از سنگ را تشکیل

داده است. کربناتها گاه به کانیهای اکسید آهن آغشتگی دارند. کربنات شفاف بصورت

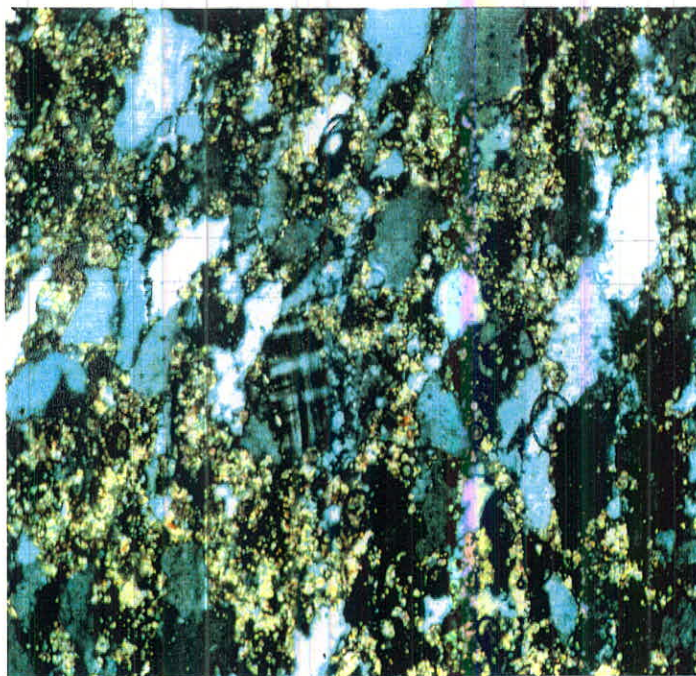
رگه هایی سنگ را قطع کرده است.

(۲) کوارتز (Quartz)، بصورت بلورهای مستقل و نیز ری کریستالیزه و عمدها با منشاء اواری

موجود است. عکس (۷-۲)



عکس (۶-۲) تراکی آندزیتی برشی ، عمدتاً از کلریت در فضای بین کریستالی بزرگنمایی X33



عکس (۷-۲) سنگ آهک - ماسه ای - بلورهای کوارتز و آهک بزرگنمایی X33

## ۷-۴-۲- شماره نمونه: Pr. 1-6

نام سنگ: سمی شیست "Semi Schist" کوارتز ، کربنات ، کلریت شیست این سنگ در

درجات پائین دگرگونی و رخساره های حد پائین شیست سبز ، دگرگون شده است.

### ۱- توصیف نمونه ماکروسکوپی:

این سنگ دانه ریز به رنگ سبز تیره گاه با سایه های قهوه ای رنگ (بخاطر کانیهای اکسید آهن) دیده می شود، این سنگ در بخش هایی دارای لایه بندي ظرفی می باشد که می تواند آن را در ردیف سنگ های رسوبی و یا دگرگونی درجات ضعیف قرار دهد که طبق شواهد مطالعات میکروسکوپی بنظر می رسد فرض دوم بیشتر حاکم باشد.

### ۲- توصیف نمونه میکروسکوپی:

بافت: پورفیرو کلاستیک با زمینه شیستوز و جهت یافته

پورفیرو کلاستها:

۱) کوارتز: فراوان ترین پورفیرو کلاست موجود می باشد که گاهی مشخصاً در امتداد شیستوزیته سنگ و دارای کشیدگی می باشند. گاهی بر اثر فشارهای تکتونیکی وارد بر سنگ ، کوارتزها ری کریستالیزه شده اند.

۲) فلدسپات بندرت و به نحوی وسیع سریسیتیزه و دارای کشیدگی در جهت کلی سنگ موجود است.

کانیهای زمینه :

- کلریت بصورت تجمعاتی رشته ای و ممتد ملاحظه می شود.

صفحه ۲ - ۲۰	گزارش نهایی بر جویی مواد معدنی در تسبیت های گرگان منطقه توکسکستان فصل دوم- زمین شناسی منطقه مورد مطالعه	 مدانکار مهندسان مشاور Madankar Consulting Engineers Co.
-------------	--	---

- سریسیت - مسکویت بصورت یینک های ظریف و جهت یافته

- کربنات (کلسیت) غالباً بصورت بلورهای با کشیدگی در جهت شیستوزیته سنگ ملاحظه

می شود.

- رشد توأم کوارتز - آلبیت بندرت دیده می شود.

کانیهای فرعی و کانیهای اپک:

توجه: بخشی از سنگ با فراوانی کربنات به همراه دانه های تخریبی کوارتز حالت سنگ

1-1 Pr. را تداعی می کند. در این بخش نیز کلریت منتهی به مراتب کمتر از سایر بخش ها

مشاهده می شود در ضمن تراکم کانیهای اپک عمدتاً بصورت غبار در این بخش کربناته بیشتر

مشهود است. عکس (۸-۲)

#### ۱-۴-۲- شماره نمونه: Pr. 1-9

نام سنگ: سنگ آذرین و احتمالاً اسیدی دگرسان و دگرگون شده احتمالاً به طرف

(کوارتز - آلبیت) سریسیت - مسکویت شیست

۱- توصیف نمونه ماکروسکوپی:

این سنگ دانه ریز با رنگ خاکستری روشن با مایه هایی از رنگ سبز، دارای لایه

بندی ظریف (شیستوزیته) می باشد که آنرا در ردیف سنگهای دگرگونی درجهات پائین قرار

می دهد.

۲- توصیف نمونه میکروسکوپی:

بافت: پورفیروکلاستیک با زمینه در کریستالیزه و تقریباً جهت یافته

قطعات مشکله:

۱) فلدسپات: با ترکیبی سدیک و گاه پتاسیک با تجزیه و جانشینی با کانیهای رسی و

سریسیت برخی از فلدسپاتها با کوارتز بافت گرافیکی نشان می دهند (رشد توأم کوارتز با

فلدسپات الکالی) بنظر می رسد تعدادی از فلدسپاتها آلیت شطربنجی باشند.

۲) کوارتز: بصورت بلورهای مستقل و نیز ری کریستالیزه دیده می شود.

کانیهای زمینه: زمینه عمدتاً بافت میکرولیپدوپلاستیک و گاه جهت یافته دارد که با رشد

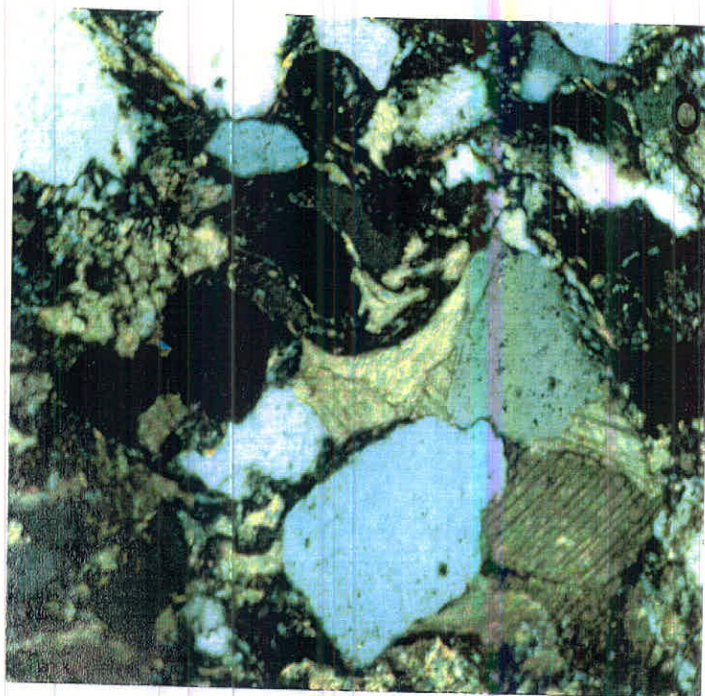
تیغک های سریسیت - مسکویت مشخص می شود. کوارتز، آلیت نوظهور گاه با رشد توأم

دیده می شود.

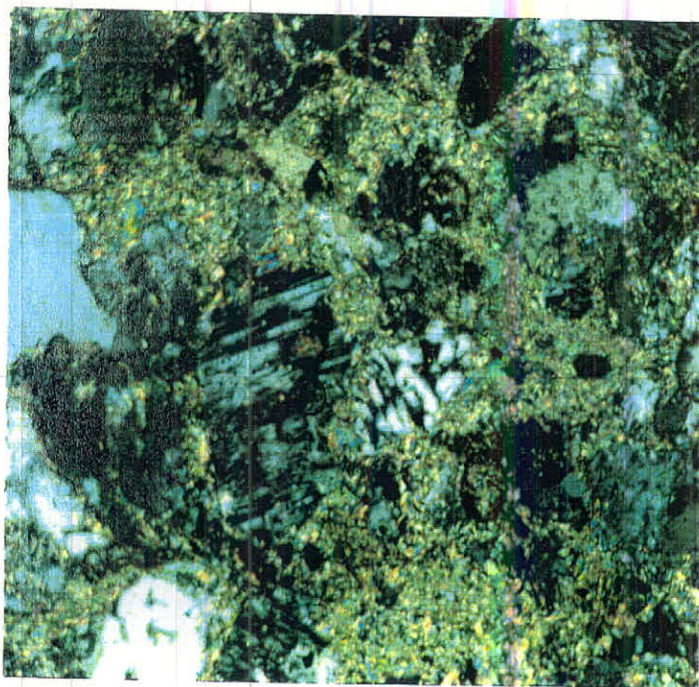
کانیهای ثانوی: کانیهای فیلوسیلیکات (عدمتأ میکائی)

کانیهای فرعی: کانیهای اپک - زیرکن

رساره دگرگونی این سنگ در درجات پائین شیست سبز قرار می گیرد. عکس (۹-۲)



عکس (۸-۲) سمی شیست ، حاوی کوارتز ، کربنات بزرگنمایی ۳



عکس (۹-۲) سنگ آذرین اسیدی حاوی کوارتز فلدوپات با دگرگونی ضعیف بزرگنمایی ۳

صفحه ۲-۲	گزارش تهائی بی جویی مواد معدنی در تسبیت های گرگان منطقه توسکستان فصل دوم- زمین شناسی منطقه مورد مطالعه
----------	---

## ۹-۴-۲ - شماره نمونه: S.23

نام سنگ: تراکی آندزیت (تا تراکی آندزی بازالت) کلریتیزه

### ۱- توصیف نمونه ماکروسکوپی:

این سنگ دانه ریز، کمپاکت، با رنگ سبز تیره و ولکانیکی می باشد لکه های سفید،

به خاطر فلدسپاتها و رنگ سبز بخاطر وجود کلریت می باشد.

### ۲- توصیف نمونه میکروسکوپی:

بافت: پورفیریک با زمینه میکروولیتی، جربانی، گاه جهه یافته و گاه اینتر - سرتال

فونکریست ها:

(۱) فلدسپات از نوع پلازیوکلاز با ترکیب در حد اولیگوکلاز و گاه آندزین با تجزیه و جاشینی

توسط سریسیت و مقابیری کم کلریتی به ندرت بعضی از بلورها کربناتیزه.

دسته های کانیهای میکائی (به احتمال زیاد استیلپنوملان (Stilpnomelane) در بعضی از

بلورها دیده می شود. بندرت فلدسپات ها از حواشی دارای بافت غربالی می باشند. حواشی

فلدسپات ها دارای خورده‌گی و گاه گردشده‌گی می باشد. بعضی از بلورها دارای ترکیب پتاسیک

می باشند.

(۲) کلینوپروکسن بصورت بقایائی از بلور اولیه و بندرت ملاحظه می شود.

(۳) کانی فرومینزین، بندرت موجود است که ظاهرآ توسط مجموعه کانیهای ثانوی تجزیه و یا

جانشین شده است.

صفحه ۲-۲	گزبرش زیبایی بی جوش مواد معدنی در تسبیت های گرگان منطقه توکسستان فصل دوم- زمین شناسی منطقه مورد مطالعه	مدهمل متاور Madankay Consulting Engineers Co.
----------	---	--

کانیهای زمینه: فلدسپات در حد آلبیت - اولیگوکلاز و اغلب با تجزیه و جانشینی همانند

پورفیرها و عمدتاً بصورت میکروولیت های اغلب جهت یافته ملاحظه می شود ، کلریت بصورت

رشته های غالباً جهت یافته موجود است. لکوکسن - اسفن به مقدار فراوان و بصورت  
لکه های بی شکل ملاحظه می شود. اپیدوت در برخی نقاط دیده می شود. کانیهای اپک

بصورت نوارهای کوتاه و اغلب جهت یافته ملاحظه می شود.

کانیهای ثانویه: سریسیت ، کلریت ، اپیدوت

کانیهای فرعی: کانیهای اپک ، اسفن ، لکوکسن

توجه: استیلپنوملان (به احتمال زیاد) بصورت تیغک های ظریف و غالباً شعاعی و بطوریکه

جهت یافته در قسمت های مختلف مقطع مشاهده می شود.

شایان ذکر است وجود ممتد کلریت و نیز لکه های لکوکسن - اسفن و وجود استیلپنوملان

حاکی از پدیده دگرگونی درجات ضعیت است. عکس (۱۰-۲)

#### ۱۰-۴-۲- شماره نمونه: GTR. 1

نام سنگ: سینیت (سینیت حاوی کوارتز) سریستیزه ، (احتمالاً تکتونیزه ، سیلیسیفیه

و آلبیتیزه)

۱- توصیف نمونه ماکروسکوپی:

صفحه ۲۵-۲	گزارش نهایی بر جوبی مواد معدنی در شیسته های گرگان منطقه توکسکستان فصل دوم- زمین شناسی منطقه مورد مطالعه	 مازنکار مهندسان مشاور Madankar Consulting Engineers Co.
-----------	--	--

سنگی است آذربین با رنگ روشن (سفید و صورتی) و دانه بندی درشت که از نوع آذربین درونی می باشد. لکه های صورتی مربوط به فلدسپات آلکالیک و لکه های سیاه قهوه ای در ارتباط با کانیهای اپک (کربنهای اکسید آهن) می باشد.

## ۲- توصیف نمونه میکروسکوپی:

بافت سنگ: گرانولار (دانه ای)

کانیها:

(۱) فلدسپات: شامل الیت و فلدسپات آلکالی (پریت و ارتوز) کم و بیش سیریستیزه آرژیله ،

بعضی از فلدسپات های آلکالی به نحوی که سریستیزه شده اند.

(۲) بنظر می رسد در شکستگی های موجود در سنگ (بر اثر نیروهای تکتونیکی) کوارتز

(غالباً موجی) در فلدسپات (آلیت) رشد کرده است (اطلاعات روی زمینی در این مورد

مهم است).

(۳) تراکم کانیهای اکسید آهن غالباً به صورت استیلویلت دیده می شود که حاکی از فشارهای

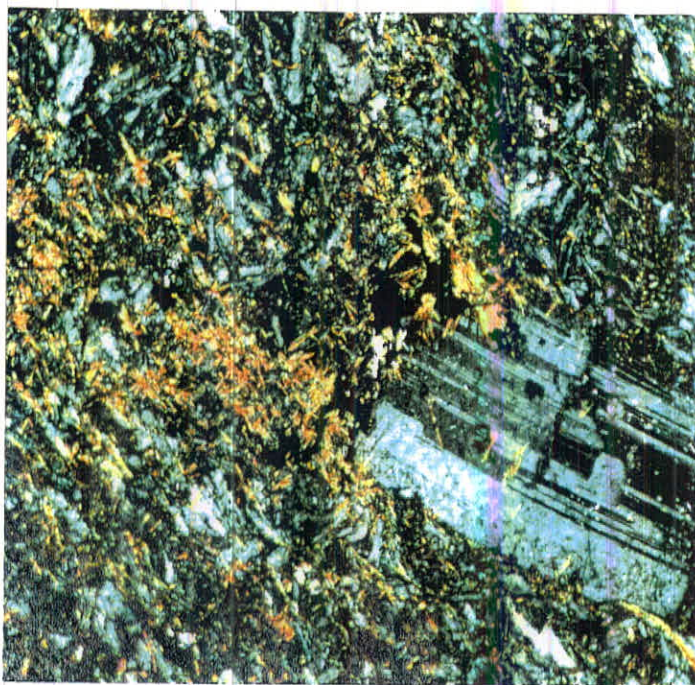
تکتونیکی وارد بر سنگ است.

(۴) در حفرات موجود گاهی سودالیت - آنالسیم دیده می شود.

(۵) دانه های ریز سریست - مسکویت به همراه اکسید آهن غالباً بصورت رشته های ممتد و

گاه جهت یافته بین فلدسپاتها دیده می شود.

کانیهای فرعی: کانیهای اپک (کانیهای اکسید آهن آبدار) عکس (۱۱-۲)



عکس (۱۰-۲) تراکی آندزیت ، فلدسپات به همراه سریسیت ، کلریت بزرگنمایی X33



عکس (۱۱-۲) سینیت با بافت گرانولار حاوی فنوکریست های کوارتز و فدسبات

بزرگنمایی X33

## ۵-۲- نتایج XRF بر روی نمونه های سنگی توسکستان

همانگونه که قبلاً ذکر شد تعداد ۵ نمونه سنگ جهت آنالیز به روش XRF به آزمایشگاه

ارسال گردید . ۳ نمونه از این ۵ نمونه از بروفیل حاشیه جاده یک نمونه مربوط به توده سینیتی و نمونه دیگر از استگاه S1-08 برداشت شده است که حاصل آن در جدول ۱-۲ آمده است .

### جدول ۱-۲- نتایج آنالیز XRF بر روی نمونه های سنگی توسکستان

مقادیر بر حسب درصد

Sample	SiO <sub>2</sub>	Al <sub>2</sub> O <sub>3</sub>	Fe <sub>2</sub> O <sub>3</sub>	CaO	Na <sub>2</sub> O	MgO	K <sub>2</sub> O	TiO <sub>2</sub>	MnO	P <sub>2</sub> O <sub>5</sub>
PR2-1	57.07	3.48	8.03	14.64	0.30	0.86	0.47	0.816	0.708	0.710
PR1-4	61.55	12.80	7.96	2.73	0.11	1.90	7.94	3.985	0.041	0.120
PR1-8	36.13	8.55	32.53	9.79	0.05	4.75	3.84	1.720	0.191	0.300
GTR-1	68.84	13.78	3.83	0.45	4.69	0.11	3.33	0.166	0.094	0.021
S1-08	45.05	12.85	14.64	11.99	5.34	4.56	0.26	2.343	0.249	0.314

مقادیر بر حسب PPM

Sample	Ba	Ce	Co	Cr	Cu	Nb	Ni	Pb	Cl	S
PR2-1	190	3	3	218	4	21	31	8	35	8
PR1-4	189	73	21	646	74	77	55	13	64	9
PR1-8	533	32	40	12	3	23	2	17	37	52
GTP-1	469	122	5	166	3	271	31	10	35	6
S1-08	219	11	18	93	10	29	67	8	34	7

مقادیر بر حسب PPM

Sample	Rb	Sr	V	W	Y	Zr	Zn	Mo	U	Th
PR2-1	25	159	60	0	17	104	364	7	4	1
PR1-4	88	36	235	0	50	3985	73	2	9	10
PR1-8	29	94	155	0	14	119	33	9	1	1
GTP-1	100	26	22	5	57	1006	119	1	3	12
S1-08	11	121	173	4	14	167	101	3	1	2

نمونه PR1-4 آهک ماسه ای است که در ابتدای دره گرمابدشت قرار دارد . نمونه های PR1-4 و PR1-8 دو نمونه از پروفیل کنار جاده توسکستان است که به ترتیب همانگونه که در شرح مقطع زمین شناسی توضیح داده شد شیوه ارغوانی به ضخامت ۴/۵ متر و شیوه به رنگ بنفش به ضخامت ۱۹ متر بوده است . نمونه 1-GTR از توده سینیتی واقع در شمال منطقه برداشت شده است و نمونه 8-SI از پروفیل شماره یک ایستگاه 8 از شبکه نمونه برداری شیوه های گرگان برداشت شده است. همانطور که از نتایج مشخص است درصد Ti و Zr در نمونه PR1-4 در حد مطلوب و مقادیر عناصر فلزی پایه نظری  $\text{Cu}$ ،  $\text{Zn}$ ،  $\text{Pb}$ ،  $\text{Co}$ ،  $\text{Mo}$  و  $\text{Ni}$  در حد زمینه می باشد و عناصری نظری  $\text{Sr}$ ،  $\text{Ba}$  و  $\text{S}$  نیز هیچ گونه غنی شدگی نشان نمی دهد . در هر صورت نتایج بدست آمده با توجه به نوع آزمایش از نظر صحت مورد توجه نمی باشد.

# فصل سوم

# اکتشاف ژئوشیمیایی

صفحه ۱ -۳	مکررس نهایی بی جویی مواد معدنی در سیستم هایی گرگان متعلقه توکستان فصل سوم- اکتشاف رُوشیمیابی	 مدانکار Madankar Geostatistics Company
-----------	---	---

### ۱-۳-۱- اهداف اکتشاف

براساس شواهد و اطلاعات موجود در منطقه دره توکستان و با هماهنگی کارفرمای

محترم محدوده ای به وسعت ۵ کیلومتر مربع جهت انجام اکتشافات رُوشیمیابی انتخاب گردید.

از آنجائیکه طلا به عنوان عنصر اصلی مورد پی جویی در این مجموعه موردنظر بوده

است سعی گردید تا با توجه به ویژگیهای رُوشیمیابی این عنصر و همچنین مدل های کانساری منطبق با این سیستم عناصر پارازیز که رابطه زیشی قوی دارند انتخاب گردند بنابراین ۱۱ عنصر زیر جهت آنالیز انتخاب گردیدند.

Au , As , Ag , Sb , Hg , Bi , Cu , Pb , Zn , Ba , Mo

براین اساس اکتشافات رُوشیمیابی در این مرحله برای یافتن تمرکز زون های

کانی سازی محتمل به اجرا در آمده است. با استفاده از داده های موجود می توان روابط پارازیزی بین عناصر را استخراج و در نتیجه از این روابط در ارزیابی آنمالی های مرتبط با کانی سازی استفاده نمود.

با توجه به مطالعات زمین شناسی انجام شده در این منطقه در مقیاس ۱:۱۰۰۰۰ ،

ارتباط بین لینولوژی و توزیع عناصر در محدوده مورد بررسی آشکار می گردد. این کار به همراه برداشت و بررسی نمونه ها از مناطق آلتراسیون و همچنین میزآلیزه در این محدوده با هدف شناخت بهتر تیپ کانی زایی و آنمالی های مرتبط انجام شده است.

در مجموع در روند اکتشاف رُوشیمیابی در این مرحله اهداف زیر مدنظر بوده است:

۱- محاسبه پارامترهای آماری هر یک از عناصر

۲- شناخت مناطق آنومالی ژئوشیمیابی عناصر

۳- استحصال روابط پارازنی بین عناصر با استفاده از تحلیل همبستگی ها و تعیین نوع کانی

سازی احتمالی

۴- بررسی شاخص های غنی شدگی در مقیاس محلی

۵- تعیین روابط زون های آنومالی با واحد های سنگی و زون های آلتراسیون

۶- تعیین منطقه امید بخش

## ۲-۳- محیط های ژئوشیمیابی

### ۱-۲-۳- مقدمه

در مطالعه میدانهای ژئوشیمیابی روشهای مختلف پی جویی ژئوشیمیابی مورد استفاده

قرار می گیرند. با استفاده از این روشهای می توان به وجود کانسارهای مختلف پی برد و محل و

موقعیت آنها را تعیین نمود. استفاده از این روشهای مختلف پی به شرایط و عوامل مختلفی دارد که

در منطقه مورد اکتشاف حکم فرما می باشد. با در نظر گرفتن این شرایط می توان به انتخاب

روش بررسی مطلوب پرداخت و از متدهای جا افتاده متداول استفاده کرد.

متدهای جا افتاده در کشورهای مختلف دارای اولویت های متفاوت می باشد این متدها

براساس بررسی هاله های لیتوژئوشیمیابی اولیه یا ثانویه یا دیگر موارد نظیر هاله های

هیدرژئوشیمیابی، رئوبوتانی و ... می بشد.

به عنوان مثال در ایالات متحده استفاده از سنگها و بررسی های لیتوژئوشیمیابی

اولیه متداول تراز بررسی رسوبات رودخانه ای و خاکها می باشد و این در حالی است که در

کانادا استفاده از خاک و سپس رسوبات رودخانه ای متداول ترین روش در پی جویی های ریوژنیمیابی بوده است و سنگها، آب و گیاهان در اولویت های بعدی قرار دارند.

در حال حاضر کاربرد های ثانویه برای اکتشاف ریوژنیمیابی توده های کانساری

یکی از مهم ترین تکنیک های اکتشافی می باشد اساس این تکنیک بر مطالعه های های

پراکندگی ثانویه عناصر در مواد سطحی مانند خاک ها، آبرفت شیبرفت ها، بادرفت ها،

یخرفت ها، رسوبات رودخانه ای و غیره که ضمن هوازدگی سوپرژن نهشته های کانساری

تشکیل می شوند استوار است: در اینجا لازم است تا به بررسی الگوهای پراکندگی

لیتوژئوشیمیابی ثانویه و همچنین روش بررسی در خاکهای که روش پیشنهادی این مهندسان

مشاور در پیروزه اکتشاف ریوژنیمیابی در شیسته های گرگان دره توکستان می باشد پرداخته

شود.

### ۳-۲-۲- عوامل مؤثر در ایجاد الگوهای پراکندگی لیتوژئوشیمیابی

ثانویه

چهار گروه از عوامل ایجاد کننده الگوهای پراکندگی لیتوژئوشیمیابی که دارای نقش

اصلی می باشند را می توان به قرار زیر تقسیم نمود:

۱- گروه عوامل شیمیابی: در عملکرد این گروه عوامل فرعی زیر نقش مؤثر را بازی می

کنند:

- الف- جگونگی ترکیب و پراکندگی اولیه عناصر در سنگ بستر و کانسار**
- ب- ویژگی های کانی شناسی مواد اولیه موجود در سنگ بستر و کانسار**
- ب- شرایط pH محیطی که مسئول تغییرات ترکیب کانی شناسی سنگها و کانسارها است**
- ت- ویژگی قابلیت تحرک یک عنصر با ترکیبات آن در محیط های آبی و سایر محیط ها در حضور و یا غیاب مواد آلی**
- ث- حضور سدهای زئوپیمیابی که قادر به رسوب دادن فلزات مهاجر باشند و بدین صورت توسعه الگوهای پراکندگی را محدود نمایند.**
- ۲- گروه عوامل بیولوژیکی: از جمله عوامل فرعی در این گروه که نقش عمده را ایفا می کنند می توان به موارد زیر اشاره کرد.**
- الف- عوامل گیاهی، شامل گسترش، نوع و عمق نفوذ ریشه گیاهان در مواد سخت نشده**
- ب- عوامل میکروارگانیسمی: شامل تولید مواد هوموسی، اکسیداسیون - احیاء هضم و تمرکز دادن فلزات**
- ۳- گروه عوامل مکانیکی: شامل موارد زیر می باشد**
- الف- جابه جایی های نقلی نظر لغزش خاک ها، زاویه شیب، حضور گیاهان در تثبیت شیب ها**
- ب- پراکندگی در آبهای سطح اراضی و رودخانه ها**
- پ- پراکندگی در آب های زیرزمینی، حرکت آب باران به طرف پایین در اثر نیروی نقل و حرکت به طرف بالا در اثر نیروهای مؤئنه ای**
- ت- پراکندگی یخچالی**

### ث- حمل و نقل سطحی مواد

### ۴- گروه عوامل محیطی: شامل

الف- عامل آب و هوایی از قبیل میزان و توزیع بارندگی که در توسعه گیاهان و هم چنین در تشکیل خاک مؤثر است.

ب- عامل توبوگرافی، که در نوع فرسایش (مکانیکی و شیمیایی) اثر دارد.

پ- عامل زمین شناسی، مانند ضخامت و منشاء مواد سخت نشده سطحی، محیط هیدرولوژیکی، توسعه رخمنون های سنگ بستر کانساردار و اندازه و بزرگی توده کانسار.

ت- عامل زمان، به طور کلی هرچه دوره هوازدگی و تشکیل خاک بیشتر باشد وسعت الگوی پراکندگی ثانویه عناصر بیشتر خواهد بود.

### ۳-۲-۳- طبقه بندی هاله های لیتوژئوشیمیایی ثانویه

معیارهای متفاوتی به منظور طبقه بندی هاله های لیتوژئوشیمیایی ثانویه وجود دارد که

عبارتند از:

۱- طبقه بندی براساس زمان تشکیل نسبت به محیط درونگیر

اصطلاح سنتیک و اپی زنتیک در مورد الگوهای پراکندگی ثانویه نیز به کار می رود

ولی تفکیک هاله های ثانویه این دو نوع، به آن درجه اهمیتی که برای حالت پراکندگی اولیه

منظور می شود ضروری به نظر نمی رسد و به این دلیل است که الگوهای پراکندگی ثانویه

اکثراً در نتیجه فرآیندهای متعددی تشکیل می شوند. معهذا تعیین زمان نسبی تشکیل الگوهای

ثانویه با اهمیت تلقی می شود. در اینجا مبنای زمان سن مواد میزان خواهد بود.

الگوهای سنتزیک در محیط ثانویه، عموماً به طور مکانیکی تشکیل می شوند نظری

تمرکز کانی های سنگین بادنه های سولفوری در آبرفت ها، عموماً الگوهای پراکندگی عناصر

در خاک های برخا مانده، به عنوان نوع سنتزیک طبقه بندی می شوند. مثالهای فوق مواد

سازنده زمینه (Matrix) و مواردی که فراوانیشان در حد آنومالی است همزمان و یا تقریباً

همزمان ته نشین شده اند. بدین ترتیب الگوهای پراکندگی ثانویه ای را به وجود آورده اند که

تفسیر آنها نسبتاً آسان است. الگوهای پراکندگی از منشا بیوژنیک موجود در خاک، از قبیل

آنچه که در لایه هوموس توسعه می یابند، اگر همزمان با خاک تشکیل شده باشند سنتزیک

خواهند بود الگوهای ای زنیک ثانویه شامل انواعی است که در نتیجه حمل و نقل مواد در

رسوبات رودخانه ای خاک ها، نهشته های یخچالی، باتلاق ها و غیره تشکیل می شوند.

عناصری که تشکیل دالة های هیدرومورفیک اپی زنیک را می دهند ممکن است.

الف- با پیوند سستی در سطح مواد آلی، کانی ها، یا هیدروکسیدهای Fe، Mn جذب شده باشند.

ب- به صورت ترکیبات نامحلول در محیط ثانویه رسوب کرده باشند (مانند  $Pb_{3}CO$ )

پ- همراه کانیهای دیگر به علت فعل بودن پدیده هم رسوبی ته نشست شده باشند.

۲- طبقه بندی براساس مکانیزم تشکیل

براساس مکانیزم تشکیل دو نوع هاله ثانویه قابل تشخیص است

الف- پراکندگی های مکانیکی:

غلظت غیر عادی فلزات در محیط های ثانویه می تواند از منطقه کانی سازی شده یا

حتی از منطقه کانی سازی نشده موجود در ناحیه منشا گرفته باشد. این تمرکز یا از طریق

صفحه ۳ - ۷	گزارش زیایی بی جویی مواد معدنی در ایست های گرگان منطقه تو سکستان فصل سوم- اکتشاف زئو شیمیایی	مدادکاری Madankari Co
------------	---	--------------------------

حرکت مکانیکی (حالت جامد) یا هیدرومورفیکی (در حالت محلول) صورت می گیرد که ویژگی آنومالی های حاصل از این دو نوع فرآیند به طور بارزی متفاوت است. به طور ژنتیک فلزاتی که بیشتر به طریق مکانیکی حرکت می کنند به صورت کانی های اولیه مقام در محیط ثانویه یافت می شوند برای مثال می توان از بعضی کانی های سولفوری اولیه (در بعضی محیط های ثانویه) و کانی های سیلیکاته فرعی که دارای فلزات پایه است نام برد.

#### ب- پراکندگی هیدرومورفیک:

الگوهای پراکندگی هیدرومورفیکی ممکن است در اعماق خیلی زیاد در خاکها، تیل های یخچالی و آبهای زیرزمینی یا حتی در دریاچه ها تشکیل و توسعه یا بند آنومالی های هیدرومورفیکی معمولاً فازهای مختلفی که از محلولها رسوب کرده اند تشکیل می دهد و عموماً پراکندگی های هیدروموفیک نسبت به پراکندگی های مکانیکی، همگن تر تشکیل می شوند.

#### ۲- طبقه بندی براساس ویژگی سنگهای درونگیر و محیط رسوبی

براساس این تقسیم بندی هاله های پراکندگی ثانویه می توانند به انواع برجا (Residual) و حمل و نقل یافته (Superim Posed) طبقه بندی می شوند. در نوع برجا مواد حاصل از هوازدگی در بخش فوقانی توده کانسار قبلی در هاله های اولیه آنها متتمرکز می شود. از ویژگی هاله های حمل و نقل یافته این است که هیچ گونه کانی سازی کانساری، قبل از توسعه این نوع هاله، در آن مکان وجود نداشته است.

#### ۴- طبقه بندی براساس موقعیت پیدایش نسبت به سطح فرسایش کنونی

نسبت به موقعیت سطح فرسایش کنونی، هاله های ثانویه به انواع نمایان (exposed)

که در سطح فرسایش کنونی قابل رویت است و پنهان (Buried) که در زیر سطح کنونی

تشکیل شده اند، و یا امروز در آنجا یافت می شوند، طبقه بندی می شوند. هاله های نمایان

می توانند از طریق نمونه برداری از افق های فوق خاک مطالعه و کشف شوند.

#### ۳-۳- روش بررسی خاکها در مطالعه هاله های لیتوژئوشیمیایی

##### ثانویه

بررسی خاکها، بیشتر در مواردی انجام می شود که رخمنون های سنگ بستر ناچیز

می باشد، بررسی خاک ها، به ویژه خاک های بر جا از نظر اکتشافی بسیار مفید است. به طور

ایده آل در بررسی خاک ها، برای انواعی که انتقال یافته اند متناسب با فاصله پیموده شده

کمترین ارزش در نظر گرفته می شود. اهمیت روش بررسی خاکها بر این اصل است که در

خلال فرآیندهای هوایزدگی و شستشوی شیمیایی اسیدی عناصر می توانند از بخش

کانی سازی شده سنگ بستر، وارد آب و خاک شده و تشکیل آنومالی هایی دهند که از نظر

مساحت به مراتب وسیعتر از آنومالی های سنگ بستر باشند. این پراکندگی ثانویه که منجر به

افزایش سطح آنومالی می گردد احتمال یافتن کانی سازی را بالا می برد.

از آنجائیکه پروفیلهای مختلف خاک و افق های خاص آن از نظر کانی شناسی و

ترکیب عناصر کمیاب با یکدیگر متفاوت اند نتایج حاصل از بررسی های ژئوشیمیایی آنها هم

مختلف خواهد بود، به طوری که در مقایسه با وسعت آنومالی‌ها در افق C خاک و سنگ بسته،

در هر دو افق A و B مساحت منطقه آنومالی بیشتر است. شکل (۱-۳)

میزان تمرکز عناصر در افق B بیشتر از افق A است و بدین چهت نمونه برداری از افق

B در بیشتر بررسی هایی که روی خاکها انجام می گیرد ترجیح داده می شود. این افق را فوچ

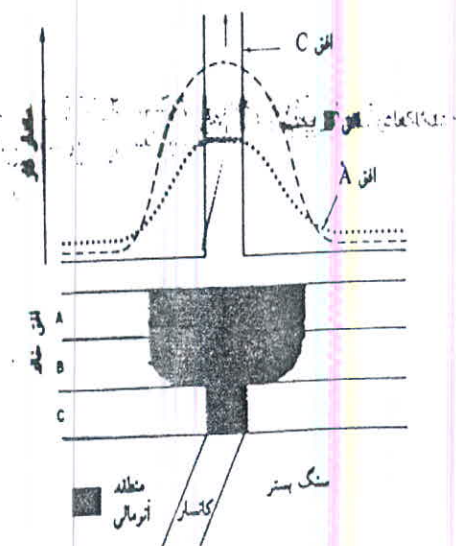
تجمع می نامند و در شرایطی که چنین افقی موجود نباشد می توان از یک افق ثابت دیگر

نمونه برداشته شد.

خاکها را می‌توان براساس معیارهای مختلفی بر شرح زیر طبقه‌بندی نمود.

الف: برجا حمل و نقل يافته بـ: بالغ - نابالغ پـ: افق دار - بـ: افق که در همه آنها انواع

حد: اسٹ و جوڈ دار د.



شکل ۱-۳- افق های خاک و ابعاد جانبی نسبی هاله های پراکندگی ثانویه و مقدار فلز همراه

### ۴-۳- محیط، روش و طراحی نمونه برداری در دره توکستان

همانطور که گفته شد محدوده ای به وسعت ۵ کیلومترمربع در دره توکستان به

عنوان منطقه مطالعاتی جهت اکتشاف رئوژیمیابی مورد نظر بوده است. بدین منظور و براساس

پیشینه مطالعات انجام شده در منطقه بازدید مقدماتی از این محدوده صورت گرفت که

مشخصات حاکم بر آن، روش نمونه برداری از خاکها و بررسی های لیتوژئوژیمیابی

ثانویه را ممکن می سازد.

از آنجائیکه در اکتشافات رئوژیمیابی معمولاً محیطی ثابت به عنوان معرف جهت

نمونه برداری پیشنهاد می شود. لذا انتخاب این محیط با توجه به اهداف اکتشاف، بسیار مهم

می باشد اما بایستی امکانات منطقه را نیز در این خصوص در نظر داشت. محدوده مورد مطالعه

از جمله مناطق جنگلی و غالباً پوشیده از خاکهای جنگلی یا گیاهی است و رخمنون های سنگی

در آن کمتر به چشم می خورد. در این منطقه میزان بارندگی زیاد و تشکیل خاک و توسعه

گیاهان با آن نسبت مستقیم دارد. با توجه به ابعاد کوچک این منطقه شبکه آبراهه ای گسترده

نیز در آن توسعه نیافته است و عملاً استفاده از روش رسوبات آبراهه ای به منظور مطالعه

هاله های لیتوژئوژیمیابی ثانویه متنفس تلقی می شود. همانطور که قبل از ذکر شد الگوی

پراکندگی عناصر در هاله های ثانویه گسترش بیشتری دارد و امکان شناسایی بهتر را ممکن

می سازد. این موضوع با تعداد نمونه های پیش بینی شده نیز ارتباط مستقیم دارد یعنی

محیط هایی که در آن پراکندگی عناصر بیشتر است (مانند خاک ها و رسوبات آبراهه ای)

تعداد نمونه های کمتری نسبت به محیط هایی با پراکندگی کمتر (مانند محیط های سنگی)

صفحه -۳	گزارس نهایی پن جوین مواد معدنی در تسبیت های گرگان مقطعه توکسکستان فصل سوم- اکتشاف زیرشیمیابی	 مادانکار مدانکار Madankar Consulting Engineers Co.
---------	---	--

لازم می باشد. با توجه به اینکه در این مرحله از اکتشاف تعداد ۷۰ نمونه برای ۵ کیلومترمربع

(یعنی با ازاء هر کیلومترمربع ۱۴ نمونه) در نظر گرفته شده است لذا با توجه به توسعه کافی

پروفیل های خاک و عدم وجود رخمنون سنگی و همچنین عدم وجود شبکه گستردگی

آبراهه ای، نمونه برداری از خاک به دیگر روش ها رجحان پیدا می کند.

براین اساس و با توجه به تعداد نمونه های در نظر گرفته شده در این مرحله

شبکه ای منظم شامل ۶ پروفیل طولی موازی که هر کدام از پروفیل ها حاوی ۱۱ ایستگاه می

باشد طراحی گشت که فواصل هر ایستگاه در پروفیل ۲۹۰ متر و فواصل جانبی پروفیل ها از

یکدیگر ۳۷۰ متر بوده است. (نقشه شبکه نمونه برداری پیوست)

خطاطنشان می سازد یک پروفیل دیگر نیز براساس جایگاه توده سینیتی مشخص شده

بر روی نقشه ۱:۲۵۰۰۰ زمین شناسی در دامنه شرقی دره توکسکستان که شامل ۵ ایستگاه

بوده است نیز به این مجموعه اضافه گشته است اما از آنجائیکه محدوده پیش بینی شده در

گزارشات قبل دامنه غربی دره توکسکستان بوده است لذا نمرکز نمونه برداری به این قسمت

اختصاص یافته است.

### ۳-۵- عملیات نمونه برداری

پس از مشخص شدن محل برداشت نمونه ها و تهیه نقشه موقعیت نمونه ها مختصات

هر یک از نقاط بدست آمده این امر سبب گشت تا با کمک GPS و متر و کمپاس بتوان محل

هر یک از نقاط را به راحتی بر روی زمین مشخص نمود این امر با توجه به جنگلی بودن

منطقه حائز اهمیت بوده است. پس از توجه هر یک از نقاط برای برداشت نمونه و با استفاده

از کارگران محلی در هر ایستگاه و به صورت چلپایی در چهار جهت و به فاصله بی در حدود

۱۰۰ متری آن مبادرت به حفر چاهک جهت دسترسی به افق خاک مورد نظر شد که نمونه

های برداشت شده از چهار چاهک فرعی با نمونه چاهک اصلی مخلوط و با نام آن ایستگاه

شماره گذاری گردیده. عمق چاهک های حفر شده با توجه به ضخامت خاک سطحی و گیاهی

- در هر منطقه متفاوت و بین ۵۰ تا ۹۰ سانتی متر بوده است عکس (۳-۱).



عکس شماره ۳-۱- حفاری چاهک جهت برداشت نمونه از افق زیرین خاک

### ۶-۳-۳- آماده سازی و آنالیز نمونه ها

نمونه های خاک برداشت شده وزنی بین  $1/5$  تا  $3$  کیلوگرم داشته است که در مرحله

آماده سازی و در ابتدا تمامی نمونه ها در بخش نمونه کوبی تا حد  $200$  مش خرد شده اند. کل

نمونه خرد شده به دو قسمت با استفاده از روش Conning quartering تقسیم شد که یک

قسمت به عنوان نمونه شاهد و قسمت دیگر جهت آنالیز با همان شماره نام گذاری و جهت

ارسال به آزمایشگاه بسته بندی گردید.

در مجموع  $70$  نمونه حاصل جهت آنالیز عناصر  $\text{Ba}, \text{Zn}, \text{Pb}, \text{Cu}, \text{Bi}, \text{Hg}, \text{Sb}, \text{As}$

$\text{Ag}$ ،  $\text{Au}$  و  $\text{Mo}$  به کشور چین ارسال گردید. حد حساسیت و روش تجزیه ای نمونه های

مورد بررسی در جدول ۱-۳ آورده شده است.

جدول ۱-۳- حد حساسیت و روش تجزیه عناصر مورد آزمایش

عنصر	روش آزمایش	حد آشکارسازی
Au	جذب اتمی	۳ ppm
Ag	جذب اتمی	.۰۵ ppm
As	جذب اتمی	۱ ppm
Sb	جذب اتمی	.۰۵ ppm
Hg	جذب اتمی	.۰۵ ppm
Bi	جذب اتمی	.۱ ppm
Cu	جذب اتمی	۵ ppm
Pb	جذب اتمی	۲ ppm
Zn	جذب اتمی	۲۰ ppm
Ba	جذب اتمی	۵۰ ppm
Mo	جذب اتمی	۱ ppm

### ۷-۳-۱- نتایج آنالیز نمونه ها

#### ۷-۳-۱-۱- نمونه های زئوژیمی خاک

نتایج ۷۰ نمونه ارسالی به کشور چین برای عناصر یاد شده در جدول ۲-۳ آمده است

لازم به ذکر است که در این تعداد هیچ نمونه تکراری وجود ندارد و این به خاطر از

دست ندادن نقاط و نمونه های محدوده مورد نظر و همچنین به دلیل دقت نسبی مورد قبول

آزمایشگاههای کشور چین بوده است بنابراین کلیه محاسبات بر روی همین نتایج صورت

گرفته است.

#### ۷-۳-۲- نمونه رسوبات آبراهه بی

همانگونه که گفته شد آبراهه ها در منطقه توسعه چندانی نیافته اند و همچنین رسوبات

در حد سیلت و رس در این آبراهه ها به طور گسترده تشکیل نشده است اما به خاطر اینکه

بتوان از کل منطقه دیدی عمومی پیدا کرد، از ۵ آبراهه واقع در طول شرقی منطقه که به

نسبت دارای رسوبات مناسب بوده است پنج نمونه جهت آنالیز XRF انتخاب و برداشت گردید

که پس از آماده سازی و آنالیز، نتایج آن در جدول ۳-۳ آمده است.

صفحه ۳-۱۵	گزارش نهایی بر جویی مواد معدنی در شیسته های گرگان منطقه توسکستان فصل سوم- اکتشاف ریوژیمیابی	 مادانکار Madankar Consulting Engineers Co.
-----------	--	---

جدول ۷-۲-۳- نتایج ۷۰ نمونه آزمایش شده در کشور چین ( ppm Au برحسب ppb و بقیه )

no	sample	Au	As	Sb	Bi	Hg	Cu	Pb	Mo	Ag	Zn	Ba
1	S0-01	0.7	6.2	0.28	0.29	0.024	22.5	37.8	0.98	0.052	137	548
2	S0-02	1.7	12	0.63	0.48	0.024	30.2	25.4	0.87	0.057	99	523
3	S0-03	1.7	11	0.73	0.41	0.013	35.8	33.7	0.88	0.063	119	483
4	S0-04	1.6	13	0.56	0.44	0.039	36.1	33.4	1.01	0.084	109	512
5	S0-05	1.3	11	0.51	0.34	0.026	36.1	27.7	1.09	0.06	131	442
6	S0-06	1.1	12	0.73	0.41	0.013	30.6	27.3	1	0.057	105	562
7	S0-07	1	12	0.51	0.39	0.034	34.4	38.6	0.97	0.065	126	483
8	S0-08	1.6	11	0.51	0.39	0.034	28.9	33.5	0.82	0.075	110	487
9	S0-09	1.6	12	0.72	0.44	0.021	33.6	29.9	0.93	0.073	102	489
10	S1-01	1.4	12	0.69	0.42	0.024	34.7	36	0.81	0.074	106	515
11	S1-02	1.5	11	0.6	0.37	0.029	31.3	38.6	0.99	0.091	101	485
12	S1-03	2	14	0.76	0.42	0.024	36.4	35.9	0.84	0.085	98	484
13	S1-04	1.6	13	0.7	0.41	0.018	39.6	40.5	1	0.105	105	493
14	S1-05	1.5	11	0.4	0.46	0.031	36.9	43.3	0.97	0.064	127	511
15	S1-06	1.5	12	0.6	0.3	0.029	29.9	28.5	0.9	0.06	114	578
16	S1-07	1	13	0.51	0.42	0.05	32.9	40.1	0.97	0.067	116	561
17	S1-08	1.4	12	0.63	0.39	0.031	32.7	33.5	1.2	0.083	106	507
18	S1-09	2	12	0.66	0.39	0.026	30.3	32	0.93	0.086	113	502
19	S1-10	2.3	4.2	0.25	0.1	0.018	20.2	10.1	0.54	0.032	90	441
20	S1-11	1.6	9.7	0.66	0.3	0.026	39.3	28.1	0.99	0.081	113	662
21	S2-01	1.5	12	0.57	0.37	0.029	28.8	36.7	0.88	0.069	111	506
22	S2-02	2.4	14	0.78	0.44	0.029	41.5	38.6	1	0.093	109	490
23	S2-03	1.8	14	0.7	0.41	0.026	40.3	39.6	1.06	0.093	112	481
24	S2-04	1.4	12	0.76	0.41	0.036	32	32.9	0.86	0.08	92	433
25	S2-05	1	5.4	0.34	0.19	0.029	25.6	19.7	1.04	0.079	120	541

صفحه ۱۶-۳	گزارش زیستی بر جویی مواد معدنی در نیزیت های گرگان منطقه توسکستان فصل سوم- اکتشاف زئوپسیمیا	 مادانکای کامپانی Madankay Company Limited
-----------	---	--

ادامه جدول ۲-۳- نتایج ۷۰ نمونه آزمایش شده در کشور چین

no	sample	Au	As	Sb	Bi	Hg	Cu	Pb	Mo	Ag	Zn	Ba
26	S2-06	2.1	14	0.65	0.42	0.026	36.8	38.6	0.97	0.083	120	526
27	S2-07	1.5	13	0.73	0.36	0.029	33.4	34.4	1.09	0.089	104	548
28	S2-08	2.1	14	0.72	0.41	0.029	33.8	35.5	1.03	0.085	106	510
29	S2-09	1.2	8.5	0.53	0.24	0.026	28.4	24.3	0.88	0.053	101	576
30	S2-10	1.5	13	0.66	0.36	0.018	36	34.8	1.04	0.088	115	619
31	S2-11	1.7	12	0.69	0.36	0.028	35	33.6	1.04	0.072	113	569
32	S3-01	1.1	13	0.6	0.36	0.024	41.9	42.4	1.14	0.088	111	496
33	S3-02	1.3	12	0.65	0.34	0.021	39.5	44.6	1.2	0.098	110	450
34	S3-03	1.4	11	0.53	0.36	0.044	32.7	40.5	0.93	0.104	119	518
35	S3-04	1.8	8.9	0.44	0.25	0.024	24.3	25.2	1.16	0.071	107	723
36	S3-05	1.3	6.4	0.4	0.2	0.021	23.4	17	1.3	0.073	99	452
37	S3-06	2.2	9.6	0.59	0.27	0.021	23.1	23.5	0.77	0.056	99	349
38	S3-07	2	13	0.68	0.42	0.026	30.4	38.9	0.82	0.085	89	436
39	S3-08	1.6	12	0.68	0.37	0.026	32.1	36.7	0.95	0.089	111	554
40	S3-09	0.9	7	0.41	0.2	0.034	22.4	27.6	0.84	0.086	119	492
41	S3-10	2.2	14	0.84	0.45	0.036	39.3	36.9	1.05	0.074	92	434
42	S3-11	1.6	12	0.75	0.42	0.036	34.8	34.8	1	0.072	91	466
43	S4-01	0.8	8.8	0.43	0.24	0.018	31.5	34.1	0.79	0.074	108	473
44	S4-02	1.2	4.6	0.24	0.1	0.036	28.1	13.4	0.99	0.054	109	579
45	S4-03	0.8	6	0.29	0.12	0.034	24.2	20	1.2	0.058	122	522
46	S4-04	1.3	11	0.53	0.36	0.036	31.5	33.5	0.97	0.094	107	470
47	S4-05	2.9	11	0.57	0.34	0.034	41.7	34	1.17	0.153	112	473
48	S4-06	2.4	12	0.68	0.39	0.026	36.2	33.7	1.34	0.089	117	471
49	S4-07	2.3	14	0.79	0.42	0.024	39.2	33.1	1.08	0.077	94	466
50	S4-08	2.4	14	0.91	0.46	0.026	37	35	1.05	0.088	102	501

### دادمه جدول ۲-۳ - نتایج ۷۰ نمونه آزمایش شده در کشور چین

no	sample	Au	As	Sb	Bi	Hg	Cu	Pb	Mo	Ag	Zn	Ba
51	S4-09	0.9	12	0.68	0.39	0.035	30.4	39.9	1.32	0.093	103	460
52	S4-10	0.9	10	0.5	0.31	0.031	24	37.5	0.79	0.077	94	447
53	S4-11	1.6	9.3	0.43	0.25	0.047	24.2	24.9	0.93	0.076	110	525
54	S5-01	1.9	9.4	0.43	0.24	0.024	31	24	0.83	0.071	108	528
55	S5-02	1.6	11	0.6	0.34	0.036	27.3	29.3	1.04	0.071	97	544
56	S5-03	0.8	5.6	0.34	0.12	0.053	28.6	26.2	0.93	0.091	126	714
57	S5-04	0.7	5.2	0.28	0.12	0.044	24.5	22.7	0.84	0.083	117	633
58	S5-05	1.2	9.4	0.48	0.29	0.031	28.9	37.2	0.59	0.068	113	629
59	S5-06	1.2	12	0.69	0.37	0.024	35.6	33.7	1.2	0.08	109	459
60	S5-07	0.7	4	0.29	0.1	0.035	21.6	18.6	0.75	0.063	122	527
61	S5-08	0.8	11	0.66	0.36	0.036	38.7	37.1	0.95	0.081	98	451
62	S5-09	1.6	12	0.73	0.32	0.044	35.1	31.5	1.09	0.073	111	499
63	S5-10	2	15	0.82	0.44	0.024	31.8	39.7	1.34	0.103	102	487
64	S5-11	1	12	0.56	0.32	0.036	33.8	42.3	0.98	0.09	94	518
65	S5-12	1.1	10	0.44	0.25	0.026	30.6	25.2	0.85	0.061	117	584
66	SL-1	2	13	0.73	0.41	0.018	37.4	34.2	1.12	0.054	103	540
67	SL-2	0.9	12	0.73	0.44	0.018	34	40.1	0.91	0.086	93	458
68	SL-3	1.1	12	0.69	0.34	0.016	31.1	28.8	0.82	0.06	97	528
69	SL-4	1.5	12	0.54	0.36	0.026	29.6	39	0.81	0.089	87	457
70	SL-5	1.6	12	0.63	0.41	0.021	31.1	38	0.8	0.068	90	433

## جدول ۳-۳- نتایج آنالیز نمونه های رئوژیمی رسوبات آبراهه ای

Sample	SiO <sub>2</sub>	Al <sub>2</sub> O <sub>3</sub>	Fe <sub>2</sub> O <sub>3</sub>	Na <sub>2</sub> O	MgO	K <sub>2</sub> O	TiO <sub>2</sub>	MnO	CaO	P <sub>2</sub> O <sub>5</sub>
	%	%	%	%	%	%	%	%	%	%
3G-1T	38.15	11.14	5.74	0.79	1.84	1.50	0.830	0.107	22.06	0.209
3G-2T	40.62	12.16	9.46	1.07	2.15	1.72	1.507	0.139	16.94	0.261
3G- <del>T</del>	52.51	13.51	9.43	1.28	2.96	2.20	1.609	0.151	6.98	0.304
3G-5T	39.50	10.96	6.31	1.00	1.82	1.39	1.047	0.137	20.84	0.253
3G-6T	51.74	14.21	8.16	1.03	2.04	2.37	1.147	0.135	10.58	0.214

Sample	Ba	Ce	Co	Cr	Cl	S	Cu	Nb	Ni	Pb
	ppm									
3G-1T	305	25	11	37	50	448	19	16	37	15
3G-2T	343	81	14	44	34	401	28	31	42	13
3G- <del>T</del>	451	125	21	46	22	315	45	35	25	13
3G-5T	315	69	5	37	57	660	23	25	26	18
3G-6T	447	87	15	64	38	246	21	24	46	13

Sample	Rb	Sr	V	W	Y	Zr	Zn	Mo	U	Th
	ppm									
3G-1T	57	249	70	6	17	151	72	2	1	5
3G-2T	55	166	119	1	19	211	112	1	3	5
3G- <del>T</del>	57	244	151	1	22	243	120	1	1	5
3G-5T	52	380	80	1	17	170	84	1	1	1
3G-6T	80	260	115	1	22	193	105	1	4	8

## ۸-۳- محاسبات

پس از به دست آمدن نتایج آنالیزها کلیه داده ها در نرم افزارهای Excel ، Geoeas ،

Spss مورد تحلیل و بررسی قرار گرفته اند.

برای مشخص کردن روند تغییرات و ماهیت توزیع عناصر ، هیستوگرامهای هر عنصر ترسیم و آماره های مربوطه محاسبه شده است.

همبستگی بین متغیرهای مختلف چه در حالت دو متغیره یا در حالت چند متغیره آنالیز خوشة ای (Clustes analysis) مورد بررسی قرار گرفته اند و روابط پارازنزی موجود بین عناصر از طریق تحلیل فاکتوری (Factor analysis) مورد بررسی قرار گرفته است.

نقشه های مرتبط باپروژه با نرم افزارهای Auto Cad و Surfer تهیه و ترسیم شده اند.

فصل چهارم  
مطالعات آماری و  
تعییر و تفسیر

### جدول ۱۴- پارامترهای آماری عناصر مور آزمایش ۳۷ محدوده مطالعاتی

Statistics

	AU	AS	SB	BI	HG	CU	PB	MO	AG	ZN	BA
N	64	64	64	64	64	64	64	64	64	64	64
Mean	1.5109	10.85	.5823	.3372	3.E-02	32.1	32.3766	.9830	8.E-02	108.63	514.27
Median	1.5125 <sup>a</sup>	11.55 <sup>a</sup>	.6100 <sup>a</sup>	.3645 <sup>a</sup>	3.E-02 <sup>a</sup>	32.3 <sup>a</sup>	33.7750 <sup>a</sup>	.9800 <sup>a</sup>	8.E-02 <sup>a</sup>	109.00 <sup>a</sup>	504.00 <sup>a</sup>
Mode	1.60	12.00	.51 <sup>b</sup>	.36 <sup>b</sup>	.024 <sup>b</sup>	24.20 <sup>b</sup>	38.60	.93 <sup>b</sup>	.071 <sup>b</sup>	109.00 <sup>b</sup>	466.00 <sup>b</sup>
Std. Deviation	.5002	2.752	.1594	.1005	8.E-03	5.55	7.4249	.1594	2.E-02	10.396	64.937
Variance	.2502	7.575	.0254	.0101	7.E-05	30.8	55.1285	2.54E-02	3.E-04	108.08	4216.8
Skewness	.377	-1.041	-.465	-1.034	.603	-.257	-.906	.025	.967	.253	1.039
Std. Error of Skewness	.299	.299	.299	.299	.299	.299	.299	.299	.299	.299	.299
Kurtosis	-.234	.293	-.477	.240	.549	-.695	.544	.716	5.071	-.034	2.298
Std. Error of Kurtosis	.590	.590	.590	.590	.590	.590	.590	.590	.590	.590	.590
Range	2.20	11.00	.67	.38	.040	21.70	34.50	.80	.121	48.00	374.00
Minimum	.70	4.00	.24	.10	.013	20.20	10.10	.54	.032	89.00	349.00
Maximum	2.90	15.00	.91	.48	.053	41.90	44.60	1.34	.153	137.00	723.00
Sum	96.70	694.2	37.27	21.58	1.886	2053	2072.10	62.91	5.001	6952.0	32913

a. Calculated from grouped data.

b. Multiple modes exist. The smallest value is shown

صفحه ۴-۳	گزارش نهایی بر جویی مواد معدنی در شیوه های گرگان منطقه نوسکستان فصل چهارم- مطالعات آماری و تعبیر و تفسیر	
----------	---	---

S45, S46, S47, S36, S48 می باشد . البته در شمال شرق و جنوب محدوده نیز دو محدوده آنومالی

درجه سوم از این عنصر دیده می شود ولی در هر حال نکته حائز اهمیت پایین بودن مقدار متوسط و

حداکثر مقدار طلا بوده است که بسیار پایین تر از حد پیش بینی شده گزارش شده است . براین اساس

حتی اگر در این محدوده آنومالی درجه یک نیز داشتیم با توجه به پایین بودن مقدار متوسط نمی توان

امیدی نسبت به این منطقه از نظر غنی شدگی طلا داشت .

#### ۴-۱-۲- انتشار عنصر As

عنصر آرسنیک معمولاً به عنوان یکی از مهمترین عناصر رذیاب طلا مطرح است ، توزیع این

عنصر با توجه به هیستوگرام شکل ۴-۲ به صورت لائگ نرمال است که در آن شاهد گسستگی هستیم

چولگی این توزیع به سمت مقادیر منفی است و این عناصر دارای حداقلی برابر ۴ ppm و حداکثری برابر

۱۵ ppm است . مقدار میانگین این عنصر برای ۰.۸۵ ppm و انحراف معیار آن برابر ۰.۷۵ می باشد که

بر اساس روابط لپلیته مقادیر آنومالی توزیع این عنصر (جدول ۴-۲) به شرح زیر است :

آنومالی درجه یک  $x > 19.1 \text{ ppm}$

آنومالی درجه دو  $16.4 < x < 19.1 \text{ ppm}$

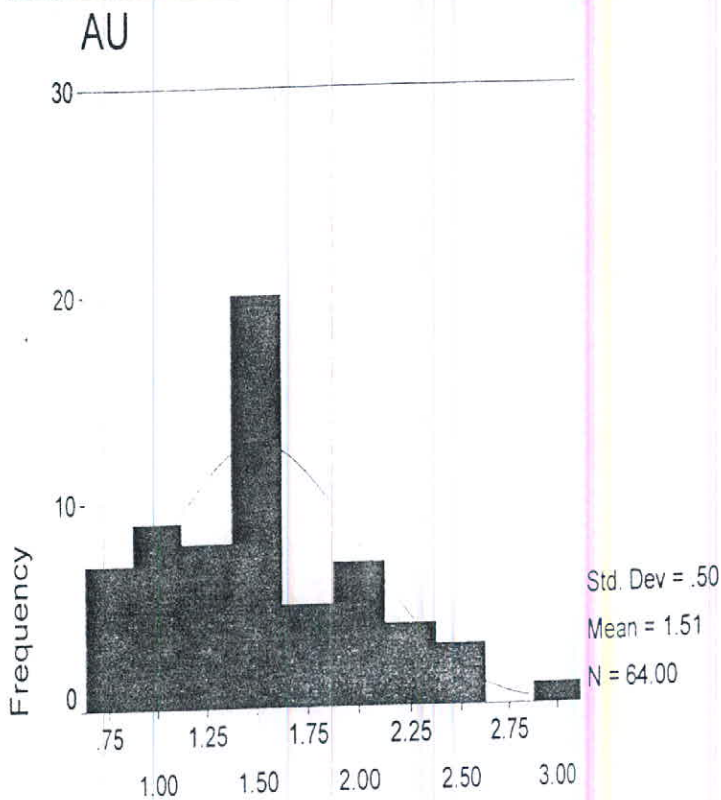
آنومالی درجه سه  $13.6 < x < 16.4 \text{ ppm}$

بر این اساس و همانطور که از نقشه شماره دو پیوست مشاهده می شود کلیه آنومالی های این

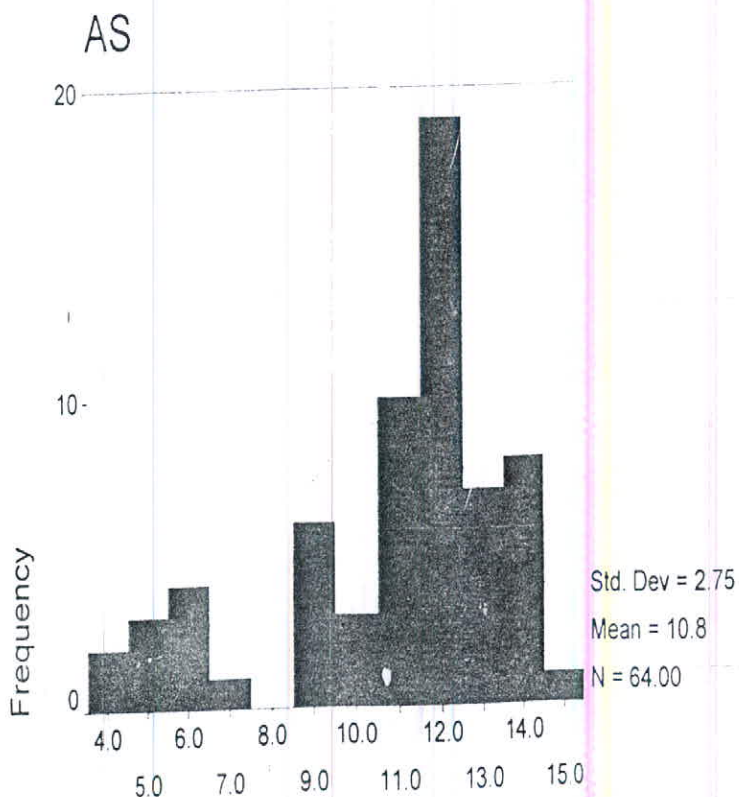
عنصر از درجه سوم است . این آنومالی ها از نظر جغرافیایی همبستگی مناسبی نشان نمی دهند و به

طور پراکنده در قسمت شمال ، مرکز و جنوب وجود دارند . ولی می توان نمونه های S26, S47, S48 می باشد .

صفحه ۴-۴	گزارش نهادی بی جویی مواد معدنی در شیوه های گرگان منطقه توسکستان فصل چهارم- مطالعات آماری و تعبیر و تفسیر	 مادرنکار و مهندسان متاور Madankar Co., Esfahan Co.
----------	---	---



شکل ۱-۴- هیستوگرام عنصر طلا در منطقه مورد مطالعه



شکل ۲-۴- هیستوگرام عنصر As در منطقه مورد مطالعه

صفحه ۵ - ۴	گزارش نهایی بر جویی مواد معدنی در تسبیت های گرگان منطقه توسکستان فصل چهارم- مطالعات آماری و تعبیر و تفسیر	
------------	--	--

S22 را برآنومالی های طلامنطبق دانست که از نظر همبستگی این دو عنصر با یکدیگر حائز اهمیت هی باشد.

### ۱-۳-۱-۴- انتشار عنصر Sb

عنصر آنتیمون با حدأکثر مقدار ۰.۹۱ ppm و حداقل مقدار ۰.۲۴ ppm دارای توزیعی تقریباً نرمال است (هیستوگرام شکل ۳-۴). منحنی توزیع فراوانی تجمعی این عنصر نیز تقریباً پیوسته و به شکل خط راست می باشد که تاییدی براین مطلب است (ضمیمه شماره یک). مقدار متوسط آن در منطقه ۰.۵۸ ppm و انحراف معیار آن ۰.۱۶ می باشد بنابراین با توجه به روابط می توان مقادیر آنومالی برای این عنصر را (جدول ۲-۴) به شرح زیر محاسبه نمود :

$x > 1.05 \text{ ppm}$  آنومالی درجه یک

$0.9 < x < 1.05 \text{ ppm}$  آنومالی درجه دو

$0.75 < x < 0.9 \text{ ppm}$  آنومالی درجه سه

با مقایسه نمونه های مورد مطالعه با مقادیر آنومالی بدست آمده ملاحظه می گردد که کلیه آنومالی های موجود در منطقه مربوط به عنصر Sb نیز از نوع درجه سه است. این آنومالی ها در قسمت شمال محدوده پیوستگی جغرافیایی خوبی دارند که چنانچه مقادیر شروع آنومالی را کمی پایین تر در نظر بگیریم این پیوستگی ها نیز بیشتر می شود. در هر حال نقشه شماره ۳ پیوست این موارد را به خوبی نشان می دهد. خاطر نشان می سازد آنومالی های درجه سوم در نقاط S23، S47 و S48 برای این عنصر با آنومالی درجه سوم طلا و ارسنیک در همین نقاط منطبق می باشد.

صفحه ۴-۶	گزارش نهایی بر جویی مواد معدنی در شیبست های گگان منطقه نوسکستان فصل چهارم- مطالعات آماری و تعبیر و تفسیر
----------	---

## ۴-۱-۴- انتشار عنصر Bi

به طور کلی عنصر بسیمومت به عنوان یکی از عناصر پارازنز طلا به همراه آنتیموان در اکتشاف از

اهمیت زیادی برخوردار است این عنصر در منطقه دارای حداقل  $0.1 \text{ ppm}$  و حداکثر  $0.48 \text{ ppm}$  می باشد .

منحنی توزیع فراوانی این عنصر (شکل ۴-۴) نشان دهنده توزیعی تقریباً نرمال است . این در حالی

است که منحنی توزیع فراوانی تجمعی آن (ضمیمه یک) از بیوستگی نسبتاً خوبی برخوردار است .

مقدار متوسط این عنصر در محدوده مورد مطالعه برابر  $0.34 \text{ ppm}$  است و انحراف معیاری برابر  $0.1$  دارد .

بنابراین با توجه به روابط می توان آنومالی های این عنصر را (جدول ۲-۴) به صورت زیر مشخص

کرد :

$X > 0.4 \text{ PPm}$  آنومالی درجه اول

$0.54 < X < 0.64 \text{ PPm}$  آنومالی درجه دوم

$0.44 < X < 0.54 \text{ PPm}$  آنومالی درجه سوم

با مقایسه این مقادیر با مقادیر در دسترس از نمونه ها و همانطور که در نقشه شماره ۴ پیوست

ملحوظه می گردد آنومالی های این عنصر نیز همگی از نوع درجه سه می باشد . از نظر جغرافیایی

مکان این آنومالی ها بر مکان آنومالی های Sb تا حد زیادی انطباق نشان می دهد به عنوان مثال

می توان به نمونه های S10، S31، S48 و S22 اشاره کرد که چنانچه با کمی تقریب شروع آنومالی های

عنصر Bi را از  $0.42 \text{ ppm}$  در نظر بگیریم این انطباق ها بینتر می شود این در حالی است که با درنظر

گرفتن این تقریب هیچ گونه آنومالی درجه دو یا یک هویدا نخواهد شد و تنها بیوستگی جغرافیایی

آنومالی های درجه ۳ وضوح بهتری می یابد .

صفحه ۴-۸	گزارش نهایی بر جویی مواد معدنی در شیست های گرگان منطقه توسکستان فصل چهارم- مطالعات آماری و تعبیر و تفسیر	 مادنکای مهندسان مشاور Madankay Consulting Engineers Co.
----------	---	---

## ۱-۵-۱-۴ Hg - انتشار عنصر

عنصر جیوه با حداقل مقدار 0.013 ppm و حداکثر مقدار 0.053 ppm با مقدار متوسط 0.029 ppm

در محدوده مورد مطالعه دارای توزیعی نرمال است ( شکل ۵-۴ ) . منحنی فراوانی توزیع تجمعی این عنصر (ضمیمه یک) دارای شکلی تقریباً پیوسته است . مقدار انحراف معیار آن برابر 0.08 است که به وسیله آن می توان مقادیر آنومالی های آن را محاسبه نمود . بنابراین و با توجه به جدول ( ۲-۴ ) این مقادیر به صورت زیر می باشد :

آنومالی درجه یک  
 $X > 0.054 \text{ ppm}$

آنومالی درجه دو  
 $0.046 < X < 0.054 \text{ ppm}$

آنومالی درجه سه  
 $0.037 < X < 0.046 \text{ ppm}$

با مقایسه مقادیر بدست آمده برای آنومالی های Hg و نمونه ها ملاحظه می گردد که آنومالی های

درجه دوم و سوم برای این عنصر در منطقه موجود است . این آنومالی ها بیشتر در راستای غربی شبکه

نمونه برداری قرار دارند . آنومالی درجه دوم به ازای نمونه S53 و S17 رخ داده است و بقیه از درجه

سوم هستند . نقشه شماره ۵ این وضعیت را نشان میدهد . چنانچه در خصوص این آنومالی نیز در حدود

0.001 تقریب قائل شویم می توان با اضافه شدن نمونه های S310 ، S311 ، S52 ، S44 ، S58 ، S24 ، S311 ، S511

و S42 گسترش بیشتری از آنومالی های درجه سوم ملاحظه کرد . البته در نقشه مذکور این وضعیت

اعمال نشده است . نکته حائز اهمیت درباره این عنصر و نقشه موقعیت آنومالی های این عنصر با

عناصر طلا ، Sb ، As و Bi منطبق نبودن آنومالی های عنصر Hg از نظر جغرافیایی با این گروه از

عناصر است .

## ۱-۶-۱-۴- انتشار عنصر Cu

این عنصر با کمترین مقدار 20.2 ppm و بیشترین مقدار 41.9 ppm دارای توزیعی تقریباً نرمال در محدوده

مورد مطالعه می باشد . شکل ۴-۶- ۴- هیستوگرام این عنصر را نشان می دهد . منحنی توزیع فراوانی

تجمعی این عنصر ( ضمیمه یک ) نشان دهنده یک توزیع به صورت خط راست و پیوستگی مناسب می باشد .

ضریب تغییرات این عنصر ۱۷٪ است و مقدار میانگین و انحراف معیار آن به ترتیب برابر 32 ppm و ۵۲ می باشد . براین اساس می توان مقادیر آنومالی های سه گانه این عنصر را در منطقه به صورت

زیر بدست اورد :

$X > 48.7 \text{ ppm}$  آنومالی درجه یک

$43.2 < X < 48.7 \text{ ppm}$  آنومالی درجه دو

$37 < X < 43.2 \text{ ppm}$  آنومالی درجه سه

با مقایسه مقادیر بدست آمده از آنومالی های این عنصر و نمونه های مورد مطالعه و همچنین نقشه

آنومالی شمار ۶ پیوست ملاحظه می گردد . کلیه آنومالی های این عنصر نیز از نوع سوم است و از

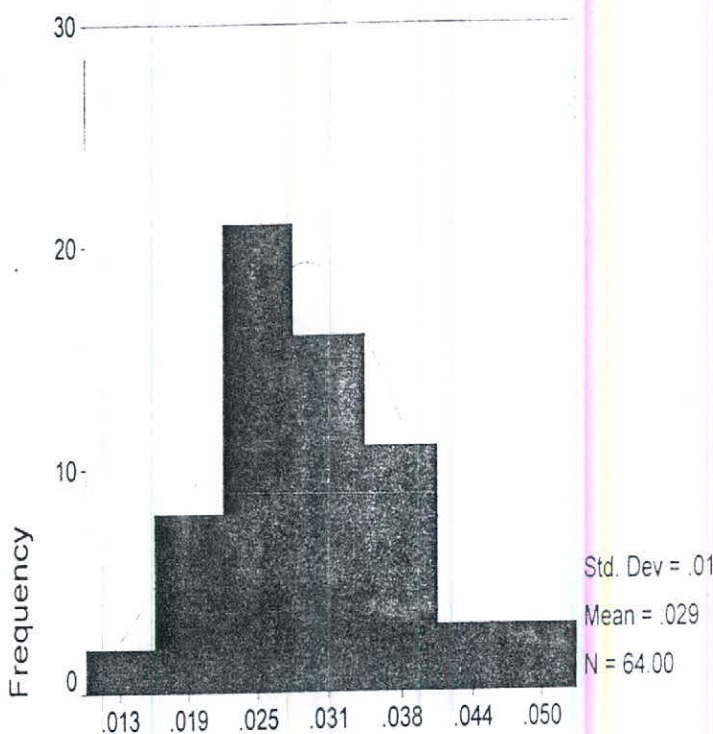
لحاظ پراکندگی علاوه بر جنوب محدوده شمال غرب نیز گسترش دارند . آنومالی های این عنصر در

قسمت شمال غرب بر آنومالی های گروه طلا و آرسنیک منطبق است که به عنوان مثال می توان

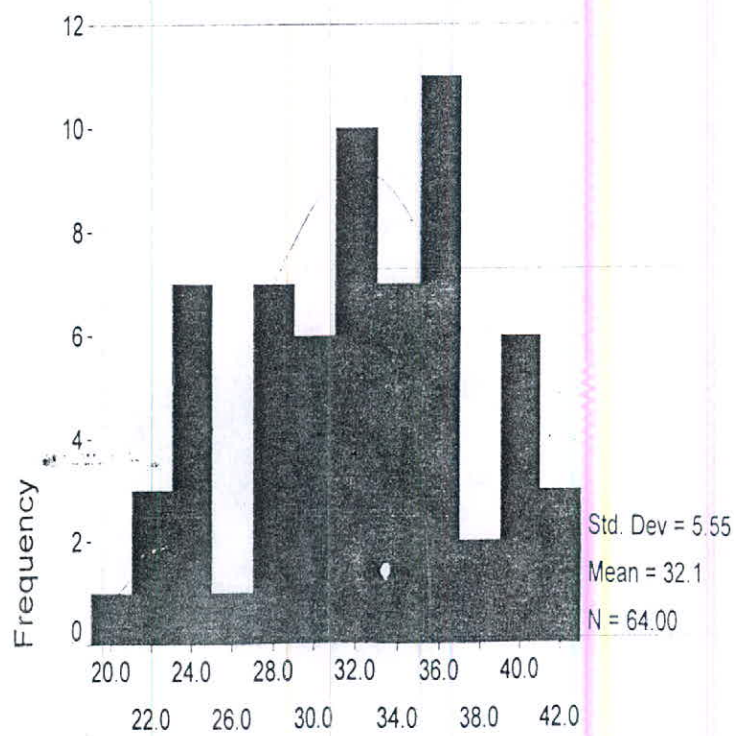
نمونه های S48 و S47 را ذکر کرد . ولی در قسمت جنوب به جز نمونه S22 ، آنومالی های مس از

گسترش چشمگیری برخوردار است و انباتیاب کمتر دیده می شود . خاطر نشان می سازد در تهیه

نقشه های آنومالی این عنصر مقداری تقریبی به جهت وضوح بیشتر اعمال شده است .



شكل - ۴-۵- هیستوگرام عنصر  $Hg$  در محدوده مورد مطالعه



شكل - ۶-۴- هیستوگرام عنصر  $Cu$  در منطقه مورد مطالعه

## ۷-۱-۴- انتشار عنصر Pb

عنصر Pb دارای مقادیر متوسط  $32.3 \text{ ppm}$  و انحراف معیار  $7.4$  می باشد . کمترین مقدار و

بیشترین مقدار آن به ترتیب برابر  $10.1 \text{ ppm}$  و  $44.6 \text{ ppm}$  می باشد . هیستوگرام شکل ۷-۴- نمودار توزیع

فراوانی این عنصر را نشان می دهد که دارای توزیع تقریباً نرمال است . نمودار توزیع فراوانی تجمعی

آن تقریباً با یک شکستگی به صورت خط راست و پیوسته است (ضمیمه یک) . ضریب تغییرات این

عنصر در این توزیع برابر  $22\%$  می باشد .

با توجه به موارد فوق می توان مقادیر آنومالی های این عنصر را به شرح زیر ملاحظه نمود :

$X > 54.6 \text{ ppm}$  آنومالی درجه اول

$47.3 < X < 54.6 \text{ ppm}$  آنومالی درجه دو

$39.8 < X < 47.3 \text{ ppm}$  آنومالی درجه سه

همانگونه که از نقشه شماره ۷ پیوست مشاهده می گردد و با توجه به محاسبات انجام شده ،

تمامی آنومالی های دیده شده در منطقه برای عنصر Pb از درجه سوم می باشد . چنانچه این مقادیر را

با کمی تقریب به عنوان مثال تا حد  $38 \text{ ppm}$  در شروع آنومالی ها در نظر بگیریم باز هم آنومالی های

درجه دوم نیز هویدا نخواهد شد . در هر صورت آنومالی های این عنصر یک قسمت در جنوب و قسمت

دیگر در شمال منطقه واقع است . آنومالی هایی که در جنوب محدوده مرکز دارند به خوبی با

آنومالی های مس از نظر جغرافیای همپوشانی دارد . ولی آنومالی های این عنصر به طور کلی باقیه

عناصر مورد بحث تاکنون هیچگونه همبستگی جغرافیایی ندارد .

## ۸-۱-۴- انتشار عنصر Mo

انتشار عنصر Mo در محدوده مورد مطالعه به صورت نرمال است (شکل ۸-۴). این امر با

توجه به منحنی توزیع فراوانی تجمعی آن که به صورت پیوسته و یک خط راست است کاملاً مشاهده

می گردد (ضمیمه یک). مقدار میانگین، کمترین و بیشترین به ترتیب برابر ۰.۹۸ ppm ، ۰.۵۴ ppm

و ۱.۳۴ ppm می باشد . با توجه به مقدار انحراف معیار (۰.۱۶) این عنصر می توان مقادیر آنومالی های

سه گانه را به ترتیب زیر حساب کرد :

$X > 1.45 \text{ ppm}$  آنومالی درجه اول

$1.3 < X < 1.45 \text{ ppm}$  آنومالی درجه دوم

$1.15 < X < 1.3 \text{ ppm}$  آنومالی درجه سود

با توجه به نقشه آنومالی مربوط به عنصر Mo (نقشه شماره ۸) در پیوست شماره یک ملاحظه

می گردد که آنومالی های این عنصر هم از نوع درجه سه و هم از نوع درجه دوم می باشد .

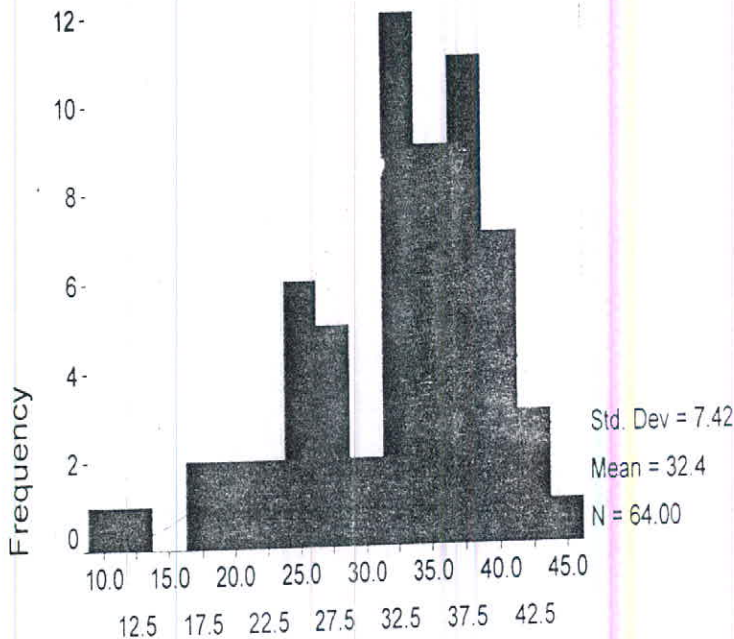
آنومالی های درجه دوم این عنصر مربوط به نمونه های S35 ، S49 و S510 است که بیشتر در غرب

محدوده مرکزی باشند. بقیه آنومالی های درجه سوم همبستگی جغرافیایی خوبی را با این نمونه ها

نشان می دهند . محل آنومالی های نمونه های S45 و S46 این عنصر با آنومالی طلا همبستگی

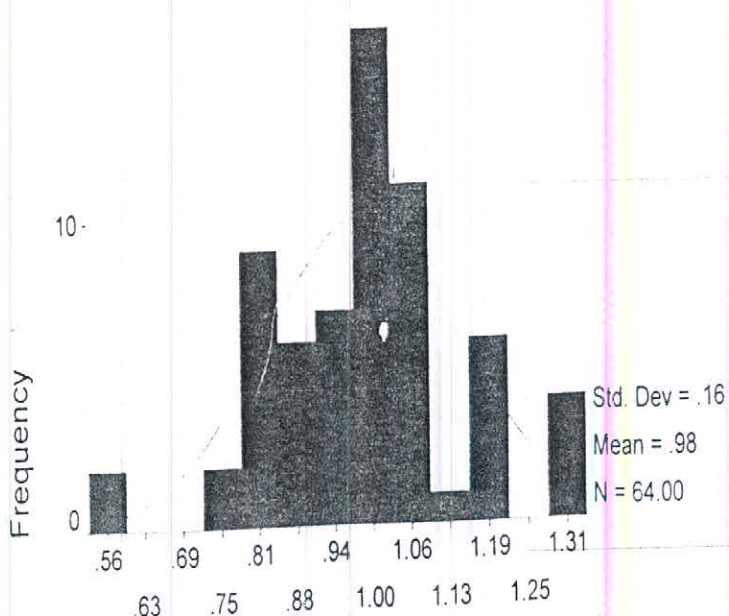
جغرافیایی نشان می دهد و در بقیه موارد این همبستگی های آنومالی ها با دیگر عناصر زیاد نیست.

14



شکل -۷-۴- هیستوگرام عنصر Pb در محدوده مورد مطالعه

20



شکل -۸-۴- هیستوگرام عنصر Mo در محدوده مورد مطالعه

## ۹-۱-۴- انتشار عنصر Ag

ماهیت توزیع عنصر Ag در محدوده مورد مطالعه به صورت نرمال است . شکل (۹-۴) نحوه

توزیع این عنصر را نشان می دهد . همانطور که از شکل مشخص می شود چنانچه نمونه Outlier آن را

حذف نماییم ، این توزیع ماهیت نرمال خود را بهتر نشان می دهد . در هر صورت این عنصر دارای

مقدار حداقلی برابر  $0.032 \text{ ppm}$  و حدکثر مقداری برابر  $0.53 \text{ ppm}$  است . مقدار متوسط این عنصر برابر

$0.078 \text{ ppm}$  و انحراف معیار آن برابر  $0.017$  با ضریب تغییرات  $21\%$  می باشد . منحنی توزیع فراوانی

تجمعی این عنصر به صورت پیوسته و خط راست می باشد که نشان دهنده نرمال بودن آن است . با

توجه به مطالب فوق می توان آنومالی های این عنصر را به صورت زیر نشان داد .

$X > 0.6 \text{ ppm}$

آنومالی درجه اول

$0.112 < X < 0.13 \text{ ppm}$

آنومالی درجه دوم

$0.45 < X < 0.112 \text{ ppm}$

آنومالی درجه سوم

نقشه آنومالی شماره ۹ پیوست تمرکز آنومالی های این عنصر را در مرکز جنوب و شمال

محدوده نشان می دهد که همانگونه که مشخص است این عنصر دارای آنومالی درجه یک می باشد که

مربوط به نمونه ۵۴۵ است . این نمونه بر آنومالی درجه دوم طلا منطبق است و همچنین آنومالی های

درجه سوم این عنصر با آنومالی درجه سوم مولیبدن و مس در دو نقطه انطباق دارد .

## ۹-۱-۵- انتشار عنصر Zn

انتشار عنصر روی در منطقه نرمال است شکل (۱۰-۴) . منحنی فراوانی تجمعی این عنصر در

محدوده نیز این امر را تایید می کند (ضمیمه شماره یک) . این عنصر در محدوده دارای حداقل و

حداکثر و میانگینی برابر با  $89 \text{ ppm}$ ,  $37 \text{ ppm}$  و  $108 \text{ ppm}$  می باشد . ضریب تغییرات  $\frac{9}{5} \%$  و انحراف معیار

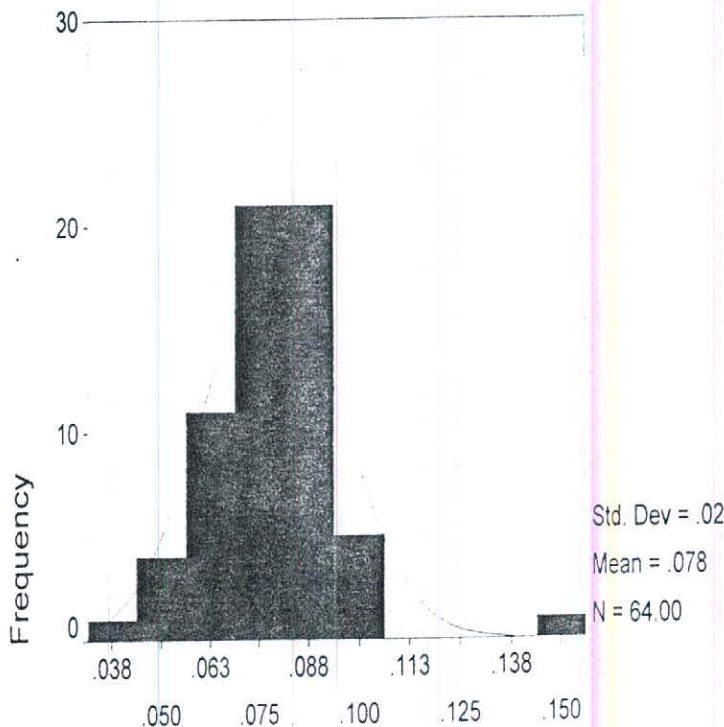
آن برابر  $10.39$  می باشد . با توجه به موارد فوق می توان مقادیر آномالی را به شرح زیر بیان کرد :

$X > 140 \text{ ppm}$	آnomالی درجه اول
$120 < X < 140 \text{ ppm}$	آnomالی درجه دوم
$119 < X < 129 \text{ ppm}$	آnomالی درجه سوم

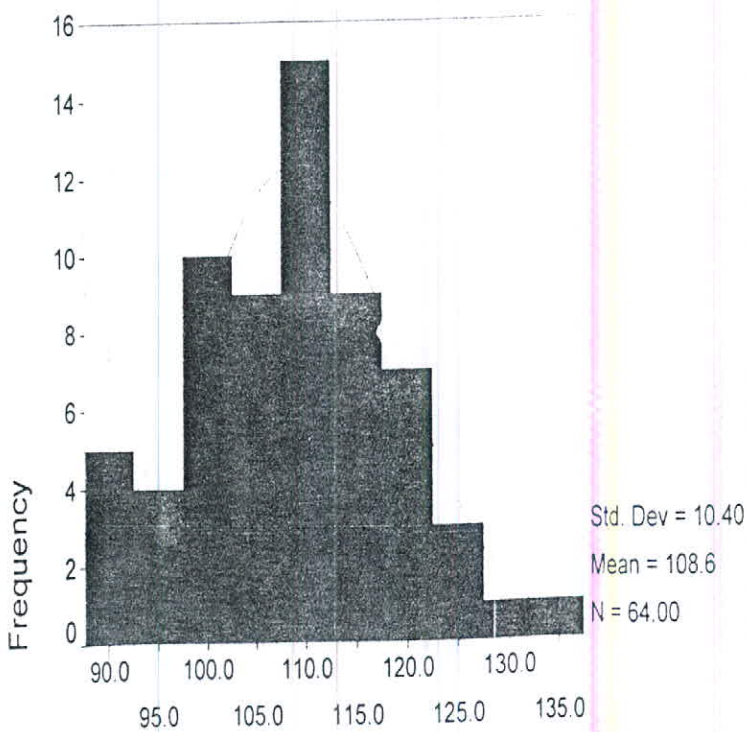
نقشه آnomالی شماره ۱۰ پیوست وضعیت آnomالی های این عنصر را نشان می دهد ، همانطور که ملاحظه می گردد این عنصر دارای آnomالی های درجه دوم و سوم است . آnomالی های درجه دوم این عنصر در سمت شرق محدوده واقع شده است . در حالی که گسترش آnomالی های درجه سوم در شرق و غرب محدوده دیده می شود . آnomالی های این عنصر در شرق محدوده با هیچ یک از عناصر انطباق ندارد در حالیکه در غرب محدوده ، آnomالی های این عنصر با آnomالی های درجه دوم  $Hg$  و درجه اول  $Ba$  انطباق نشان داده است .

### ۱۱-۱-۴- انتشار عنصر Ba

آخرین عنصری که در محدوده مورد بررسی قرار می گیرد عنصر  $Ba$  می باشد که توزیع این عنصر با توجه به اینکه خارج از نمونه های  $outliez$  نرمال می باشد، منحنی توزیع فراوانی آن یک خط راست و پیوستگی خوب نشان می دهد ( شکل ۱۱-۴ ) . حداقل مقدار این عنصر برابر  $394 \text{ ppm}$  و حداکثر مقدار آن  $723 \text{ ppm}$  است . مقدار متوسط آن  $514 \text{ ppm}$  و انحراف معیار آن  $64.9$  است . آnomالی این عنصر به شرح زیر است :



شكل ۹-۴- هیستوگرام عنصر Ag در محدوده مورد مطالعه



شكل ۱۰-۴- هیستوگرام عنصر Zn در محدوده مورد مطالعه

$X > 710 \text{ ppm}$ 

آنومالی درجه اول

 $645 < X < 710 \text{ ppm}$ 

آنومالی درجه دوم

 $580 < X < 645 \text{ ppm}$ 

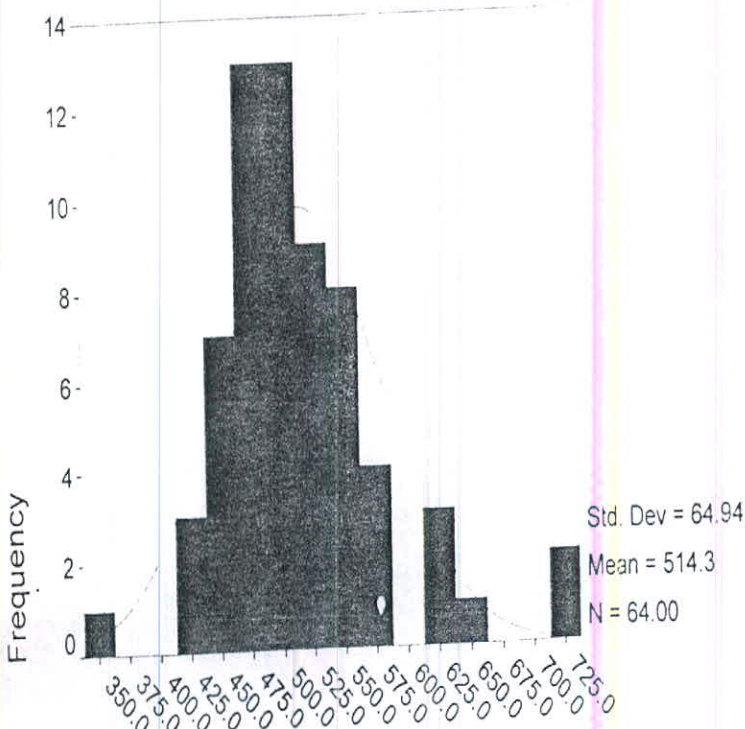
آنومالی درجه سوم

همانگونه که از نقشه شماره ۱۱ آنومالی مشخص است این عنصر دارای آنومالی درجه اول و دوم و سوم

می باشد . آنومالی های درجه اول مربوط به نمونه های S53 و S39 می باشد و در قسمت غرب محدوده

گسترش دارد . همانطور که گفته است آنومالی های عنصر Ba با آنومالی های Hg و Zn انطباق نشان

داده است .



شکل ۱۱-۴- هیستوگرام عنصر Ba در محدوده مورد مطالعه

#### جدول ۲-۴- طبقه بندی درجات سه گانه آنومالی های عنصر

عناصر	ANOMALY I	ANOMALY II	ANOMALY III	شماره نقشه أنomalی
Au(ppb)	> 3	2.5-3	2-2.5	1
As(ppm)	> 19.1	16.4 – 19.1	13.6 – 16.4	2
Sb(ppm)	> 1.05	0.9 – 1.05	0.75 – 0.9	3
Bi(ppm)	> 0.64	0.54 – 0.64	0.42 – 0.54	4
Hg(ppm)	>0.054	0.046-0.054	0.037-0.046	5
Cu(ppm)	> 48.7	43.2 – 48.7	37 – 43.2	6
Pb(ppm)	> 54.6	47.3 – 54.6	39.8 – 47.3	7
Mo(ppm)	> 1.45	1.3 – 1.45	1.15 – 1.3	8
Ag(ppm)	> 0.13	0.112 – 0.13	0.095 – 0.112	9
Hg(ppm)	>140	129-140	119-129	10
Ba(ppm)	> 710	645 – 710	580 - 645	11

## ۲-۴- تعبیر و تفسیر

یکی از پارامترهای تعیین روابط ژنتیکی بین عناصر کانسار ساز و سنگ ساز محاسبات تعیین

ضرایب همبستگی بین عناصر و یا گروه های مختلف از عناصر می باشد . براساس اصول تفريق

ماگمایی و به ویژه تفريق عناصر کانسارساز از محلول هیدرورتمال و یا توده اصلی ماگمایی ، مجموعه

عناصری که از نقطه نظر خواص شیمیایی و فیزیکی وجه مشترک دارند در موقع جدايش و تفريقي با

يکديگر به صورت گروهي عمل كرده و از محلول هيدرورتمال اشتقاء پيدا می نمایند . اين گروه از

عناصر را عناصر هم خانواده می نامند . علاوه بر همبستگی های ژنتیکی ، در محیط های ثانويه

مي تواند اختلاط های از عوامل مکانیکی نيز در همبستگی عناصر دخیل شود که تحلیل

همبستگی های عنصری در اين محیط ها را مشکل می سازد . بنابراین بایستی دقت لازم در اين

خصوص به عمل آيد.

در منطقه مورد مطالعه دونوع محاسبات همبستگی به عمل آمده است . محاسبات همبستگی

خطی و خوش ای و به علاوه به منظور تایید نتایج و تفاسير اخذ شده محاسبات فاکتوری نيز به

منظور مشخص شدن روندهای پاراژنزی عناصر بدست آمده اند که درباره آن توضیح داده می شود.

## ۱-۲- همبستگی ها

براساس محاسبات همبستگی خطی همانگونه که در جدول (۳-۴) ملاحظه می گردد ، همبستگی بین عناصر

از نوع مثبت و منفی می باشد. اگر چنانچه از ابتدای ماتریس همبستگی به عناصر دقت نمائیم ملاحظه می شود که

گروه عناصر Au، As، Sb و Cu با تمامی عناصر به جز در سه عنصر Hg، Zn و Ba همبستگی مثبت و تقریباً

قوی دارند که این خود نشان دهنده وجود حداقل دو گروه از عناصر در منطقه می باشد عنصر Pb را نیز با توجه به

جدول ۴-۳- ماتریس همبستگی عناصر مورد مطالعه در کل منطقه

## Correlations

	AU	AS	SB	BI	HG	GU	PB	MO	AG	ZN	BA
AU	1.000	.482*	.519*	.428*	-.281*	.384*	.076	.101	.275*	-.334*	-.228
AS	.482*	1.000	.885*	.920*	-.168	.742*	.747*	.305*	.401*	-.292*	-.348*
SB	.519*	.885*	1.000	.821*	-.269*	.684*	.560*	.298*	.363*	-.439*	-.357*
BI	.428*	.920*	.821*	1.000	-.201	.679*	.741*	.235	.302*	-.234	-.391*
HG	-.281*	-.168	-.269*	-.201	1.000	-.126	.008	-.011	.166	.158	.186
GU	.384*	.742*	.684*	.679*	-.126	1.000	.641*	.358*	.505*	-.044	-.215
PB	.076	.747*	.560*	.741*	.008	.641*	1.000	.213	.506*	.003	-.276*
MO	.101	.305*	.298*	.235	-.011	.358*	.213	1.000	.413*	.092	-.114
AG	.275*	.401*	.363*	.302*	.166	.505*	.506*	.413*	1.000	-.036	-.133
ZN	-.334*	-.292*	-.439*	-.234	.158	-.044	.003	.092	-.036	1.000	.337*
BA	-.228	-.348*	-.357*	-.391*	.186	-.215*	-.276*	-.114	-.133	.337*	1.000

\*\*. Correlation is significant at the 0.01 level (2-tailed).

\*. Correlation is significant at the 0.05 level (2-tailed).

همبستگی صفر نسبت به  $Hg$  و  $Zn$  و همبستگی منفی با  $Ba$  سی توان جز گروه اول این عناصر قرار

داد. عنصر طلا که از جمله مهمترین عناصر مورد مطالعه در این طرح بوده است با عناصر پارازن خود

نظیر  $As$  ،  $Bi$  ،  $Sb$  دارای همبستگی های مثبت و متوسط است .

در حالی که عنصر  $As$  قویترین همبستگی های مثبت را با عنصر  $Sb$  ( $r = 0.920$ ) و  $Bi$  ( $r = 0.88$ ) دارد

پس از آن با  $Cu$  ( $r = 0.742$ ) و  $Pb$  ( $r = 0.747$ ) می سازد . عنصر  $Ag$  که یکی دیگر از عناصر مهم

در محدوده بوده است، تنها با  $Zn$  و  $Ba$  همبستگی منفی دارد قویترین همبستگی مثبت این عنصر با دو

عنصر  $Pb$  ( $r = 0.506$ ) و  $Cu$  ( $r = 0.505$ ) می باشد .

عنصر  $Mo$  در محدوده با هیچ یک از عناصر همبستگی قوی نشان نمی دهد این عنصر در

حالی که با دو عنصر  $Hg$  و  $Ba$  همبستگی منفی دارد با عنصر  $Zn$  همبستگی اش در حد صفر است .

قویترین همبستگی آن مربوط به عنصر  $Ag$  ( $r = 0.4$ ) است .

با توجه به همبستگی های بدست آمده و نقشه های آنومالی پیوست ملاحظه می گردد که برای

سه عنصر  $Zn$  ،  $Ba$  و  $Hg$  نقشه های آنومالی در غرب منطقه این انطباق و همبستگی را نشان می دهد .

همچنین برای عناصر  $Bi$  ،  $As$  ،  $Sb$  و  $Au$  نیز نقشه های آنومالی در قسمت شمال و در یک قسمت

کوچک در جنوب محدوده انطباقی مطابق با این همبستگی نشان می دهد .

همبستگی های عناصر در منطقه به وسیله آنالیز خوشی ای نیز محاسبه شده است که

شکل های (۱۲-۴) و (۱۳-۴) نشان دهنده نمودارهای کلاستر این محاسبات است . همانطور که

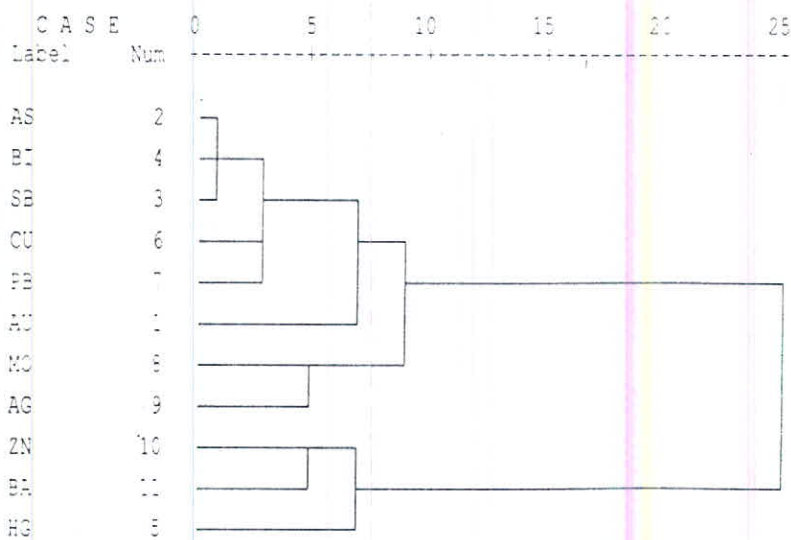
ملاحظه می شود در هر دو نمودارها شاهد دو گروه از عناصر هستیم . گروه اول شامل عناصر  $As$  ،

است که دو عنصر  $Mo$  و  $Ag$  نیز به آن اضافه می گردد . سه عنصر اول این

## \* \* \* \* \* H I E R A R C H I C A L C L U S T E R A N A L Y S I S \* \* \* \* \*

Dendrogram using Ward Method

Rescaled Distance Cluster Combine

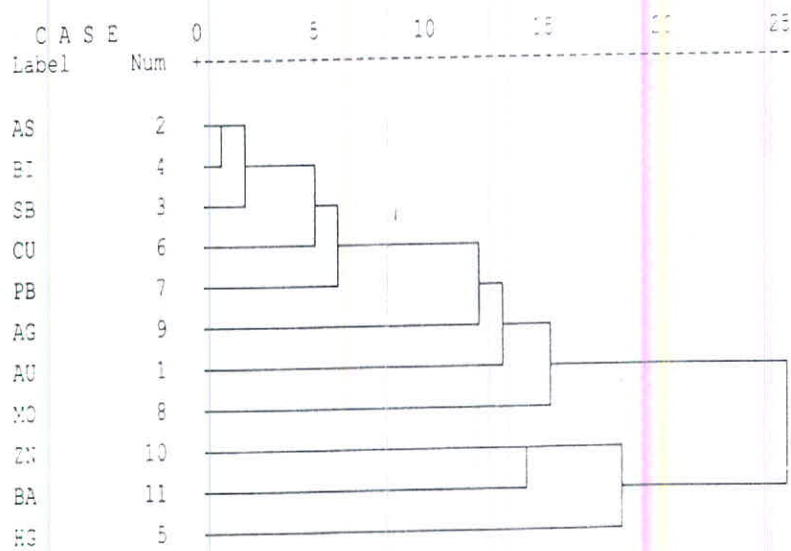


شکل ۱۲-۴- دندروگرام عناصر در کل منطقه به روش Ward

## \* \* \* \* \* HIERARCHICAL CLUSTER ANALYSIS \* \* \* \* \*

Dendrogram using Average Linkage (Between Groups)

Rescaled Distance Cluster Combine



شکل ۱۳-۴- دندروگرام عناصر در کل منطقه به روش Between groups

گروه شامل As، Bi و Sb و قویترین همبستگی‌ها را نشان می‌دهد و در گروه دوم شامل Zn،

Ba، Bi و Hg است همانطوری که ملاحظه می‌گردد این نمودارها و دسته‌های عناصر پاراژن تشکیل

شده دقیقاً با همبستگی‌های خطی هماهنگی دارند.

به نظر می‌رسد گروه اول شامل عناصر پاراژن مربوط به تیپ کانی زایی اپی ترمال طلا - نقره

باشد . خاطر نشان می‌سازد نمودار شکل (۱۲-۴) دندروگرام عناصر را به روش Ward و نرمال شده به

وسیله مقدار میانگین را نشان می‌دهد و نمودار شکل (۱۳-۴) دندروگرام عناصر را به روش

Between groups و نرمال شده به وسیله مقدار میانگین را نشان می‌دهد.

## ۲-۲-۴- محاسبات فاکتوری

با انجام محاسبات فاکتوری می‌توان بین مجموع، ای فراوان از متغیرهایی که به ظاهر

بی ارتباط هستند ، رابطه خاصی را تحت یک مدل فرضی برقرار نمود بدین صورت می‌توان روندهای

پاراژن مختلف موجود در منطقه را از این طریق نیز مورد بررسی قرار داد.

در این محاسبات از روش تحلیل مؤلفه‌های اصلی استفاده شده و جهت ماقریزم کردن ضرایب

در فاکتور از تبدیل واریماکس استفاده شده است که در مجموع با انتخاب سه فاکتور می‌توان در حدود

۶۸٪ از تغییرات را در منطقه نشان داد. چنانچه دو فاکتور در محاسبات انتخاب گردد می‌توان

گروه‌های عنصری را به طور عمدی که ۶۰٪ تغییرات را در بردارد بدست آورد ولی همانطور که گفته

شد و از جدول (۴-۴) مشخص است سه ترکیب حاصل شده است که ترکیب اول شامل عناصر Au، As،

Sb، Bi، Cu، Pb، Ag ترکیب دوم شامل Hg، Zn، Ba و ترکیب سوم تنها شامل Mo می‌باشد.

#### جدول ۴-۴- ترکیب های حاصل از محاسبات فاکتوری

عناصر	Component		
	1	2	3
AU	.552	-.395	.454
AS	.949	-1.553E-03	-.142
SB	.906	-.177	2.157E-03
BI	.904	-3.903E-02	-.250
HG	-.227	.570	-.211
CU	.818	.245	3.823E-02
PB	.753	.372	-.418
MO	.393	.422	.587
AG	.545	.490	.313
ZN	-.328	.651	-1.734E-02
BA	-.458	.338	.138

چنانچه دورانی به روش واریماکس به این ترکیب داده شود می توان به سه ترکیب جدید رسید که در

#### جدول (۵-۴) ملاحظه می گردد.

ترکیب های حاصل از این تبدیل عبارتند از گروه اول شامل As، Sb، Cu، Bi، Pb و گروه دوم شامل

Zn، Hg و گروه سوم شامل Ba، Ag، Mo، Au

همانطور که مشاهده می گردد سه ترکیب حاصل با آنچه از آنالیز خوشه ای به دست آمده

تطابق و هماهنگی دارد، بدین شرط که ترکیب گروه اول و سوم را می توان به عنوان یک گروه

معرفی نمود این گروه بیشتر به کانی زایی نوع اپی ترمال رگه ای طلا- نقره مربوط داشت.

## جدول ۴-۵- ترکیب های بدست آمده حاصل از محاسبات فاکتوری پس از تبدیل واریماکس

عناصر	Component		
	1	2	3
AU	.170	-.709	.370
AS	.873	-.308	.252
SB	.735	-.493	.261
BI	.885	-.285	.132
HG	6.087E - 03	-.648	3.084E - 02
CU	.708	-.113	.465
PB	.908	.184	.147
MO	9.508E - 02	.2.592E - 03	.817
AG	.375	.101	.696
ZN	-.166	.686	.183
BA	-.405	.412	9.908E - 02

در هر صورت با توجه به مدل های بدست آمده از کانی زایی های احتمالی و همچنین با مقایسه ترکیب ها و همبستگی ها با نقشه های آنومالی ملاحظه می گردد که هرچند احتمال وجود کانسارهایی از طلا، نقره و عناصر همراه وجود دارد ولی پایین بودن متوسط مقدار این عناصر در محدوده و همچنین درجات آنومالی نشان داده شده در منطقه که همگی از درجه سه می باشد این احتمال را تضعیف می نماید.

### ۳-۲-۴- ارتباط آنومالی ها با زمین شناسی منطقه

همانطوریکه از نقشه زمین شناسی و شرح نقشه مشخص گردید عمدت ترین واحد زمین شناسی

تشکیل دهنده ، واحد شیست گرگان می باشد و پس از آن واحد آندزیتی (An) در مرکز کمتر از یک

چهارم آن را پوشش می دهد . از مقایسه نقشه زمین شناسی و نقشه شبکه نمونه برداری ملاحظه

می گردد که از مجموع ۶۴ نمونه برداشت شده در قسمت غربی دره توکسکستان ۱۰ نمونه در واحد

آندزیتی قرار دارد و بقیه مربوط به واحد شیست می باشد . با توجه به نقشه های آنومالی پیوست

مالحظه می گردد که عمدت ترین آنومالی های یافت شده در منطقه مربوط به واحد شیست می باشد .

البته نباید از وجود نمونه های دارای حد بالاتر از آستانه در واحد آندزیتی چشم پوشی کرد . این مقادیر

آنومالی بیشتر برای عنصرهای Cu ، Sb ، Bi ، As و Ba در این واحد دیده شده است .

حال برای بررسی اثر واحدهای سنگ شناسی بر آنومالی ها مقادیر متوسط برای هریک از

عنصرها را برای دو گروه سنگی می توان با یکدیگر مقایسه نمود (جدول ۶-۴) .

جدول ۶-۴- مقادیر متوسط عنصرها برای دو گروه سنگی منطقه

عنصر	مقدار متوسط عنصرها در واحد آندزیت	مقادیر متوسط عنصرها در واحد شیست
Au	۱/۵۷	۱/۵
As	۱۰/۸۷	۱۰/۸۴
Sb	.۵۷۹	.۵۸۲
Bi	.۲۶	.۳۳
Hg	.۰۲۶	.۰۳۰
Cu	۳۳/۰۴	۳۱/۸۹
Pb	۳۲/۱۲	۳۲/۴۲
Mo	۱/۰۱۲	۰/۹۷
Ag	.۰۷۹	.۰۷۷
Zn	۱۰۵/۸	۱۰۸/۶
Ba	۵۱۱	۵۱۴/۸

چنانچه از جدول (۶-۴) مشخص است اختلاف مقادیر متوسط عناصر بین دو گروه سنگی شیست و آندزیت چندان زیاد نیست. مقادیر متوسط عناصر Ag, Cu, Bi, As, Au و Zn برای واحد آندزیت کمی بیشتر از شیست می باشد و مقادیر متوسط عناصر Pb, Sb, Hg و Ba برای واحد شیست از آندزیت بیشتر می باشد در هر حال اختلاف این مقادیر متوسط برای این دو واحد سنگی زیاد نمی باشد. که می تواند نشان دهنده بی تاثیر بودن اثر واحد سنگی بر آنومالی های ژئوشیمیایی باشد.

#### ۴-۳-۴- بررسی نمونه های دامنه شرقی دره توسکستان

همانطور که از جدول ۲-۳ مشخص است پنج نمونه برداشت شده از پروفیل دامنه شرقی دره توسکستان به شماره های SL5 تا SL1 نیز مانند نمونه های دامنه غربی از حد متوسطی برخوردار است. از آنجاییکه این نمونه ها با نمونه های دامنه غربی از نظر جغرافیایی پیوستگی ندارند لذا در تهیه نقشه های آنومالی از این ناحیه این نمونه ها مورد استفاده قرار نگرفته است لذا تنها از نظر ژئوشیمیایی مقادیر این نمونه ها با نتایج حاصل از مطالعات آماری دامنه غربی قابل مقایسه است براین اساس چنانچه از جدول ۷-۴ ملاحظه می گردد، برای عنصر طلا ماکزیمم مقدار برابر ۲ ppb مربوط به نمونه SL1 است.

جدول ۷-۴- مقادیر ماکزیمم عناصر در پروفیل شرقی نمونه برداری

عناصر	Au	As	Sb	Hg	Cu	Pb	Mo	Ag	Zn	BA
ماکزیمم مقدار	2	13	0.44	0.026	37.4	40.1	1.12	0.089	103	540
شماره نمونه	SL1	SL1	SL2	SL4	SL1	SL2	SL1	SL4	SL1	SL1

صفحه ۴-۲۹	گروه ریاضی های حوزه معدنی در تئییت های گرگان منطقه نووسکستان فصل چهارم- مطالعات آماری و تعبیر و تفسیر	 مهندسان معاور Madankar Consulting Engineers Co.
-----------	--	---

که در حد آنومالی درجه سوم است برای عناصر Ag و Sb مقدار ماکزیمم مربوط به نمونه SL1 است که پایین تر از حد آنومالی درجه سوم در ناحیه است . ماکزیمم مقدار عنصر Bi برابر 0.44ppm است که به نمونه SL2 مربوط است و در حد آنومالی درجه سوم می باشد . عنصر Hg در زیر حد زمینه می باشد و نمونه های Cu و Pb در حد آنومالی درجه سوم است . نمونه های Mo ، Zn و Ag نیز در حد زمینه قرار گرفته اند و بدین ترتیب این مقادیر نشان دهنده غنی شدگی ضعیف در این ناحیه می باشد .

## نتیجہ گیری و پیشنهاد

## نتیجه گیری و پیشنهاد

با توجه به گزارش حاضر و نتایج حاصل از بررسی های اکتشاف چکشی و ژئوشیمیایی در

منطقه توسکستان ملاحظه می گردد که نتایج انواع آزمایش ها و روش های اکتشافی علاوه بر تایید

یکدیگر، اساساً غنی شدگی قابل توجهی از عناصر فلزی و غیرفلزی در محدوده مورد مطالعه را نشان

نمی دهد . مهمترین برنامه اکتشافی انجام شده در محدوده یعنی بررسی هاله های لیتوژئوشیمیایی

ثانویه و روش بررسی خاکها در منطقه با ۶۴ نمونه در غرب دره توسکستان و همچنین پروفیل نمونه

برداری شده از خاک در شرق دره توسکستان و نتایج حاصل از آن و در نهایت مطالعات آماری انجام

شده برروی این نمونه ها حاکی از وجود مناطق آنومالی ضعیفی می باشد که از لحاظ پارازیتی و

عنصری از دقت مناسبی برخوردار بوده و مشخص کننده حضور نوعی حد زمینه بالای برای عناصر

باشد که در نهایت به حد عیار های اقتصادی نرسیده است .

به علاوه در کنار این مطالعات ۱۰ نمونه سنگی جهت مطالعات پتروگرافی و ۵ نمونه از رسوبات

آبراهه ای و ۵ نمونه آنالیز از نمونه های سنگی نیز صورت پذیرفته است که هیچ یک در بردارنده نتیجه

مناسبی نبوده است. بنابراین می توان گفت این سحدوده از نظر وجود عناصر با ارزش نظیر طلا و

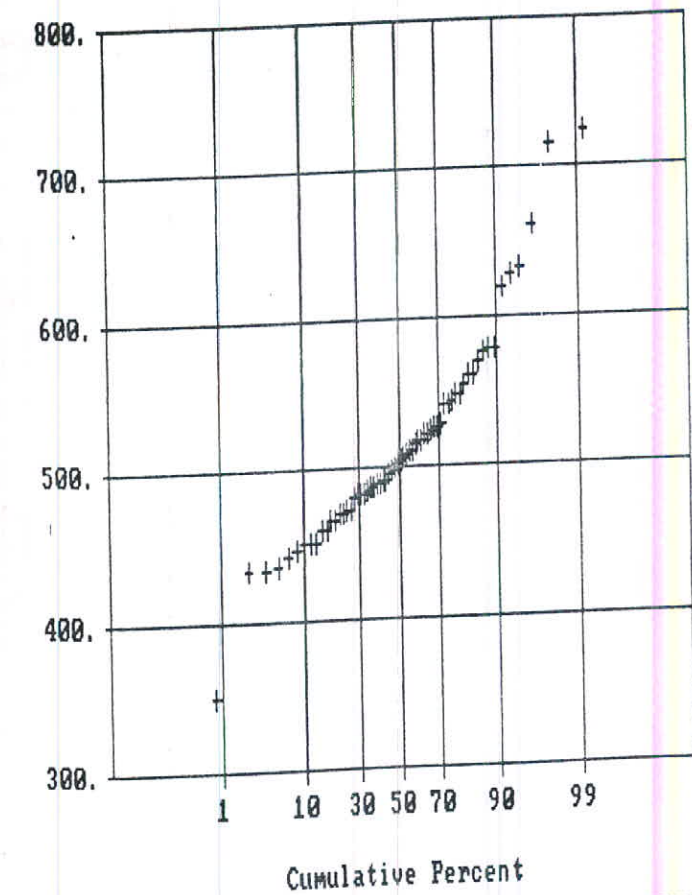
دیگر عناصر فلزی قادر ارزش اقتصادی می باشد.

## ضمیمه یک

نمودارهای فراوانی تجمعی عناصر

Normal Probability Plot for BaOppm0000  
Data file: geo-tosk.geo

Statistics

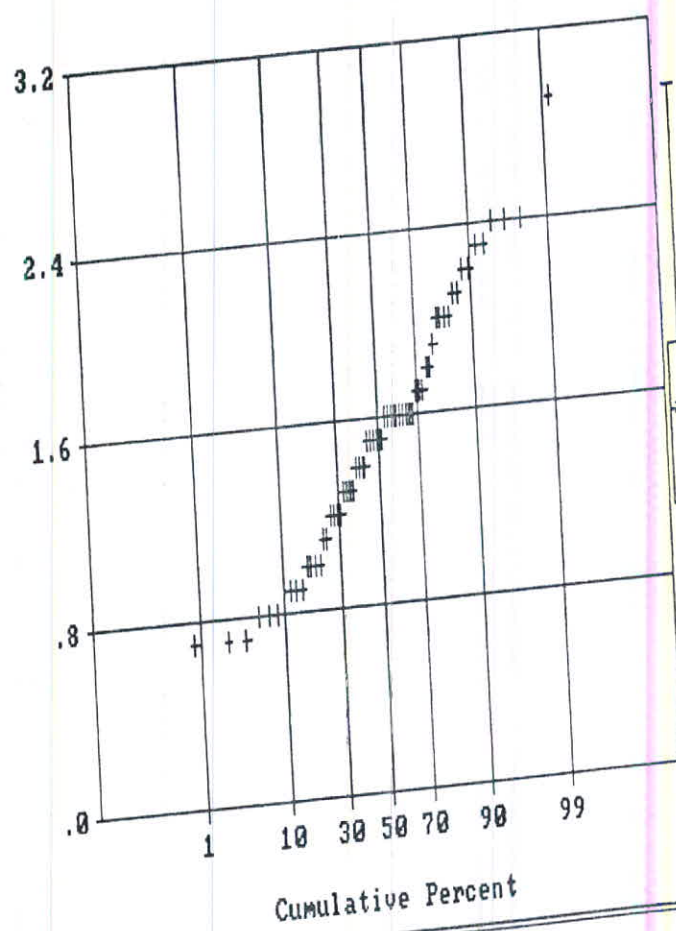


N Total :	64
N Miss :	0
N Used :	64
Mean :	514.266
Variance:	4216.833
Std. Dev:	64.937
% C.V. :	12.627
Skewness:	1.015
Kurtosis:	5.030
Minimum :	349.000
25th % :	473.000
Median :	504.000
75th % :	541.000
Maximum :	723.000

Normal Probability Plot for Auoppb0000  
Data file: geo-tosk.geo

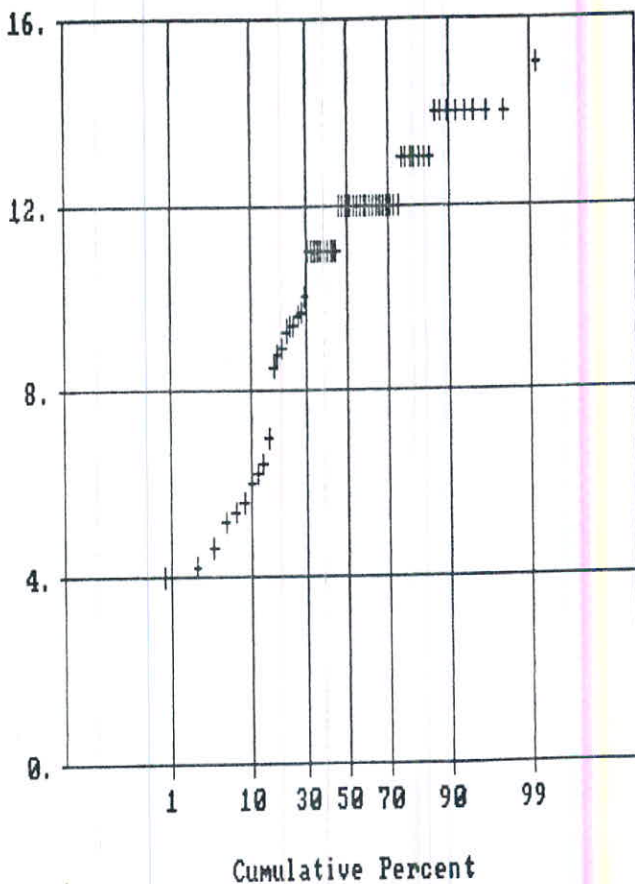
Statistics

N Total :	64
N Miss :	0
N Used :	64
Mean :	1.511
Variance:	.250
Std. Dev:	.500
% C.V.:	33.105
Skewness:	.368
Kurtosis:	2.691
Minimum :	.700
25th % :	1.100
Median :	1.500
75th % :	1.800
Maximum :	2.900



Normal Probability Plot for AsOppm0000  
Data file: geo-tosk.geo

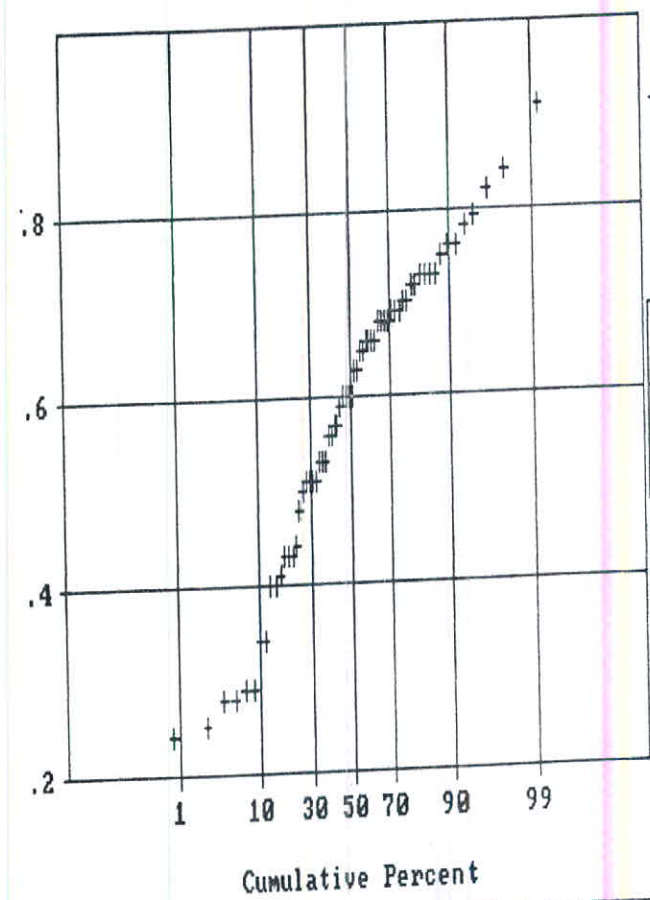
Statistics



M Total :	64
M Miss :	0
M Used :	64
Mean :	10.847
Variance:	7.575
Std. Dev:	2.752
% C.V.:	25.374
Skewness:	-1.017
Kurtosis:	3.178
Minimum :	4.000
25th % :	9.400
Median :	12.000
75th % :	12.000
Maximum :	15.000

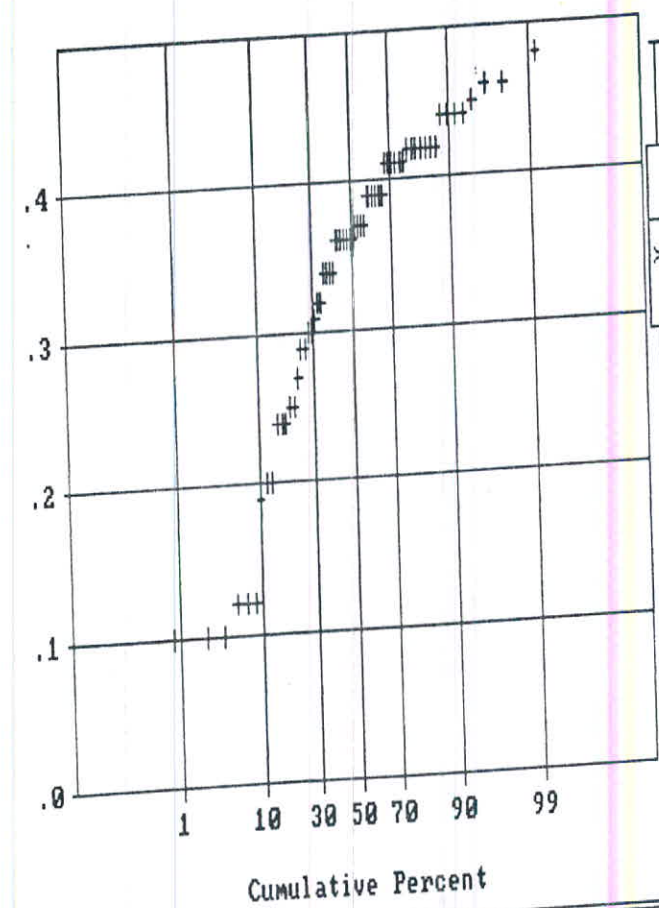
Normal Probability Plot for Shoppm0000  
Data file: geo-tosk.geo

Statistics



N Total :	64
N Miss :	0
N Used :	64
Mean :	.582
Variance:	.025
Std. Dev:	.159
% C.V. :	27.376
Skewness:	- .454
Kurtosis:	2.467
Minimum :	.240
25th % :	.480
Median :	.600
75th % :	.690
Maximum :	.910

Normal Probability Plot for BiOppM0000  
Data file: geo-task.geo

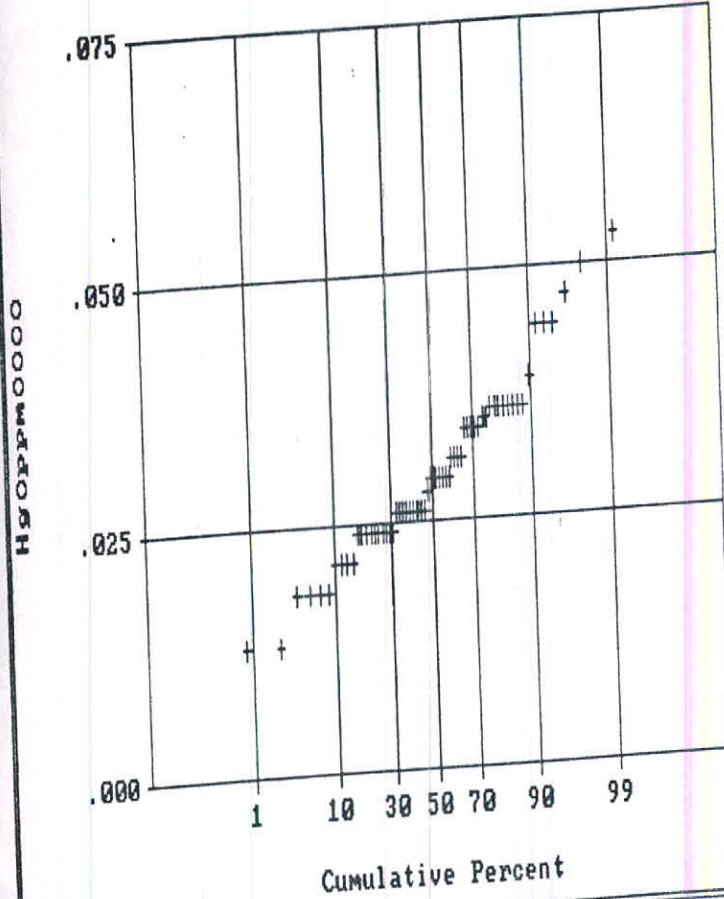


Statistics	
N Total :	64
N Miss :	0
N Used :	64
Mean :	.337
Variance:	.010
Std. Dev:	.100
% C.V. :	29.805
Skewness:	-1.009
Kurtosis:	3.129
Minimum :	.100
25th % :	.290
Median :	.360
75th % :	.410
Maximum :	.480

Normal Probability Plot for HgOPPM0000  
Data file: geo-task.geo

Statistics

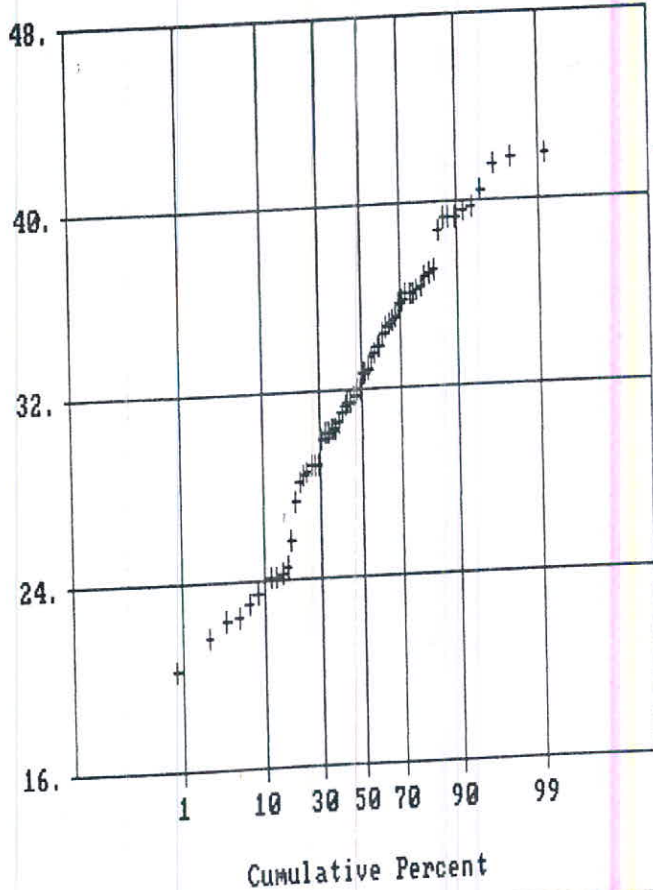
N Total :	64
N Miss :	0
N Used :	64
Mean :	.029
Variance:	.000
Std. Dev:	.008
% C.V. :	28.035
Skewness:	.588
Kurtosis:	3.415
Minimum :	.013
25th % :	.024
Median :	.029
75th % :	.035
Maximum :	.053



Normal Probability Plot for CuOppM0000  
Data file: geo-tosk.geo

Statistics

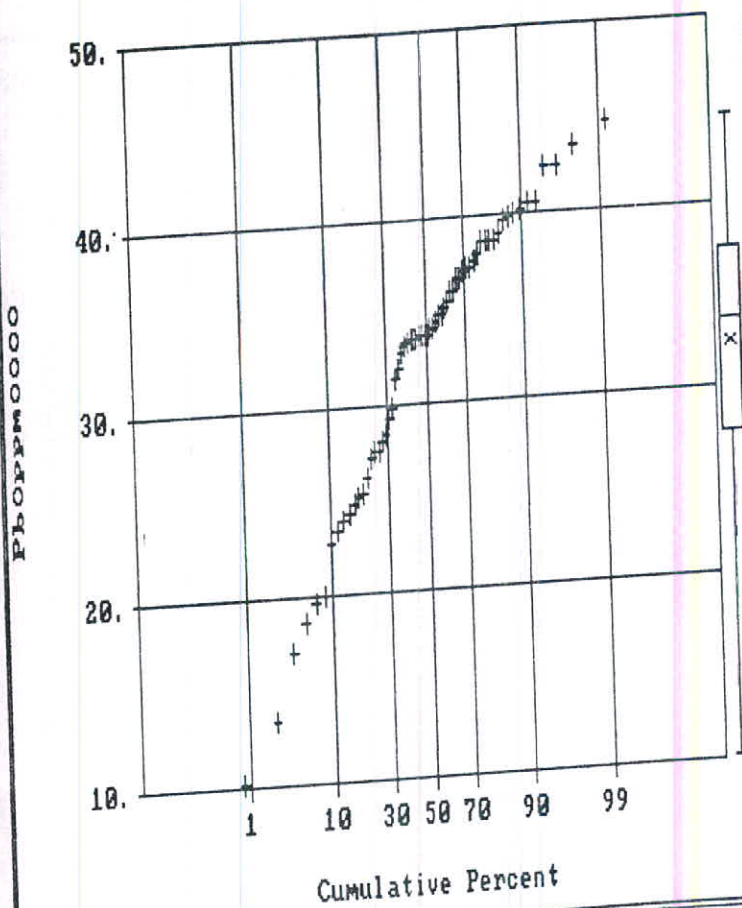
N Total :	64
N Miss :	0
N Used :	64
Mean :	32.075
Variance:	30.836
Std. Dev:	5.553
% C.V. :	17.313
Skewness:	- .251
Kurtosis:	2.266
Minimum :	20.200
25th % :	28.600
Median :	32.400
75th % :	36.100
Maximum :	41.900



Normal Probability Plot for PbOppM0000  
Data file: geo-tosk.geo

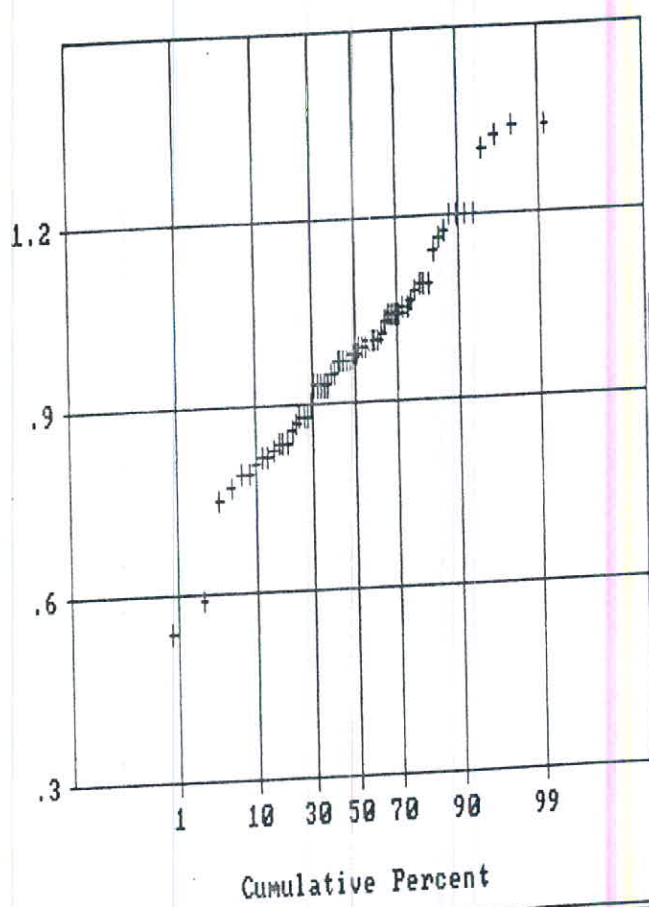
Statistics

N Total :	64
N Miss :	0
N Used :	64
Mean :	32.377
Variance:	55.128
Std. Dev:	7.425
$\times$ C.V. :	22.933
Skewness:	-.884
Kurtosis:	3.410
Minimum :	10.100
25th $\times$ :	27.600
Median :	33.700
75th $\times$ :	37.500
Maximum :	44.600



Normal Probability Plot for MoOppM0000  
Data file: geo-tosk.geo

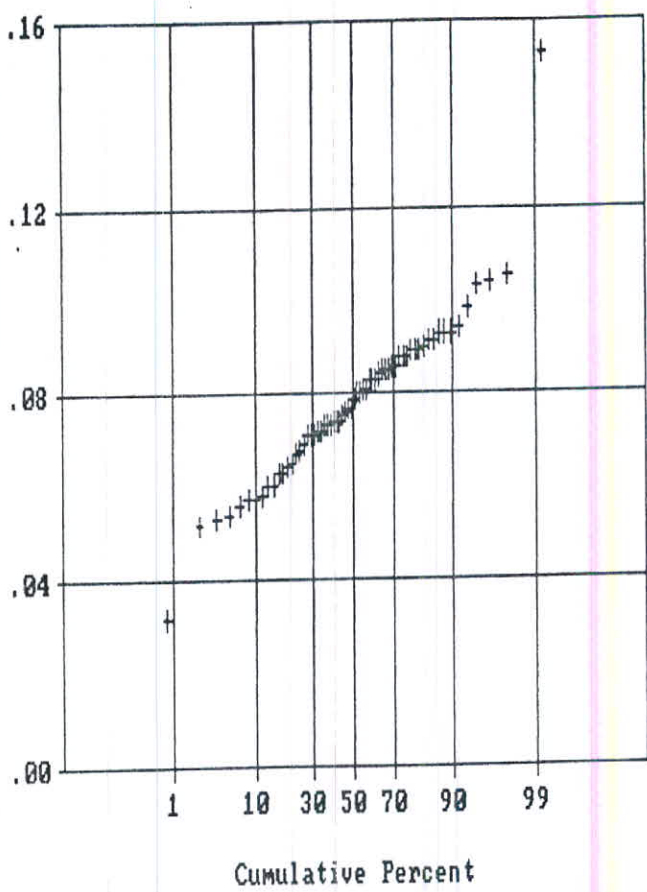
Statistics



N Total :	64
N Miss :	0
N Used :	64
Mean :	.983
Variance:	.025
Std. Dev:	.159
% C.V. :	16.215
Skewness:	.024
Kurtosis:	3.569
Minimum :	.540
25th % :	.880
Median :	.980
75th % :	1.050
Maximum :	1.340

Normal Probability Plot for AgOppM0000  
Data file: geo-tosk.geo

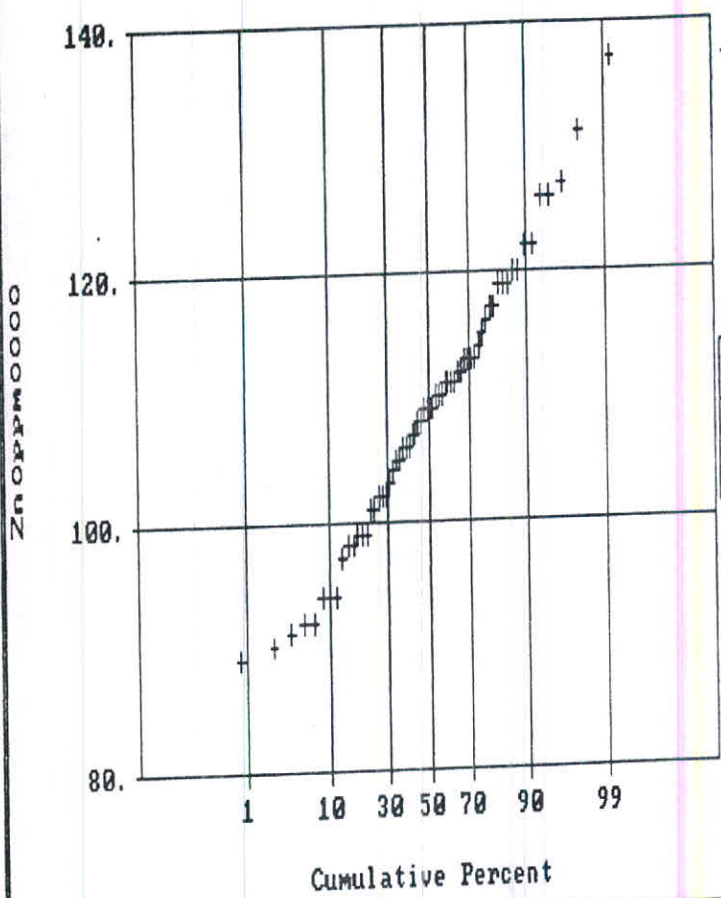
Statistics



N Total :	64
N Miss :	0
N Used :	64
Mean :	.078
Variance:	.000
Std. Dev:	.017
$\times$ C.V. :	21.885
Skewness:	.944
* Kurtosis:	7.591
Minimum :	.032
25th $\times$ :	.068
Median :	.078
75th $\times$ :	.088
Maximum :	.153

Normal Probability Plot for Zn0ppm0000  
Data file: geo-tosk.geo

Statistics

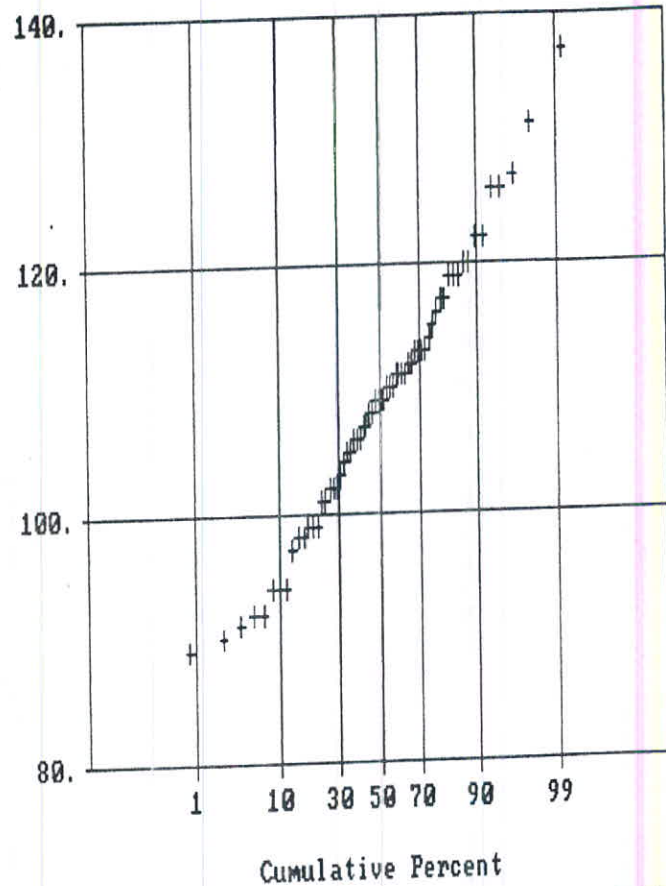


N Total :	64
N Miss :	0
N Used :	64
Mean :	108.625
Variance:	108.079
Std. Dev:	10.396
$\times$ C.V. :	9.571
Skewness:	.247
Kurtosis:	2.876
Minimum :	89.000
25th % :	101.000
Median :	109.000
75th % :	114.000
Maximum :	137.000

Normal Probability Plot for Znoppm0000  
Data file: geo-tosk.geo

Statistics

Znoppm0000



N Total :	64
N Miss :	0
N Used :	64
Mean :	108.625
Variance:	108.079
Std. Dev:	10.396
% C.V. :	9.571
Skewness:	.247
Kurtosis:	2.876
Minimum :	89.000
25th % :	101.000
Median :	109.000
75th % :	114.000
Maximum :	137.000

پیوست

نقشه های آنومالی



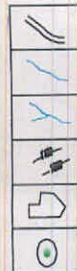
## GEOCHEMICAL EXPLORATION TOSKESTAN AREA

### ANOMALIES



- |       |     |              |
|-------|-----|--------------|
| 2-2.5 | PPb | THIRD CLASS  |
| 2.5-3 | PPb | SECOND CLASS |
| >3    | PPb | FIRST CLASS  |

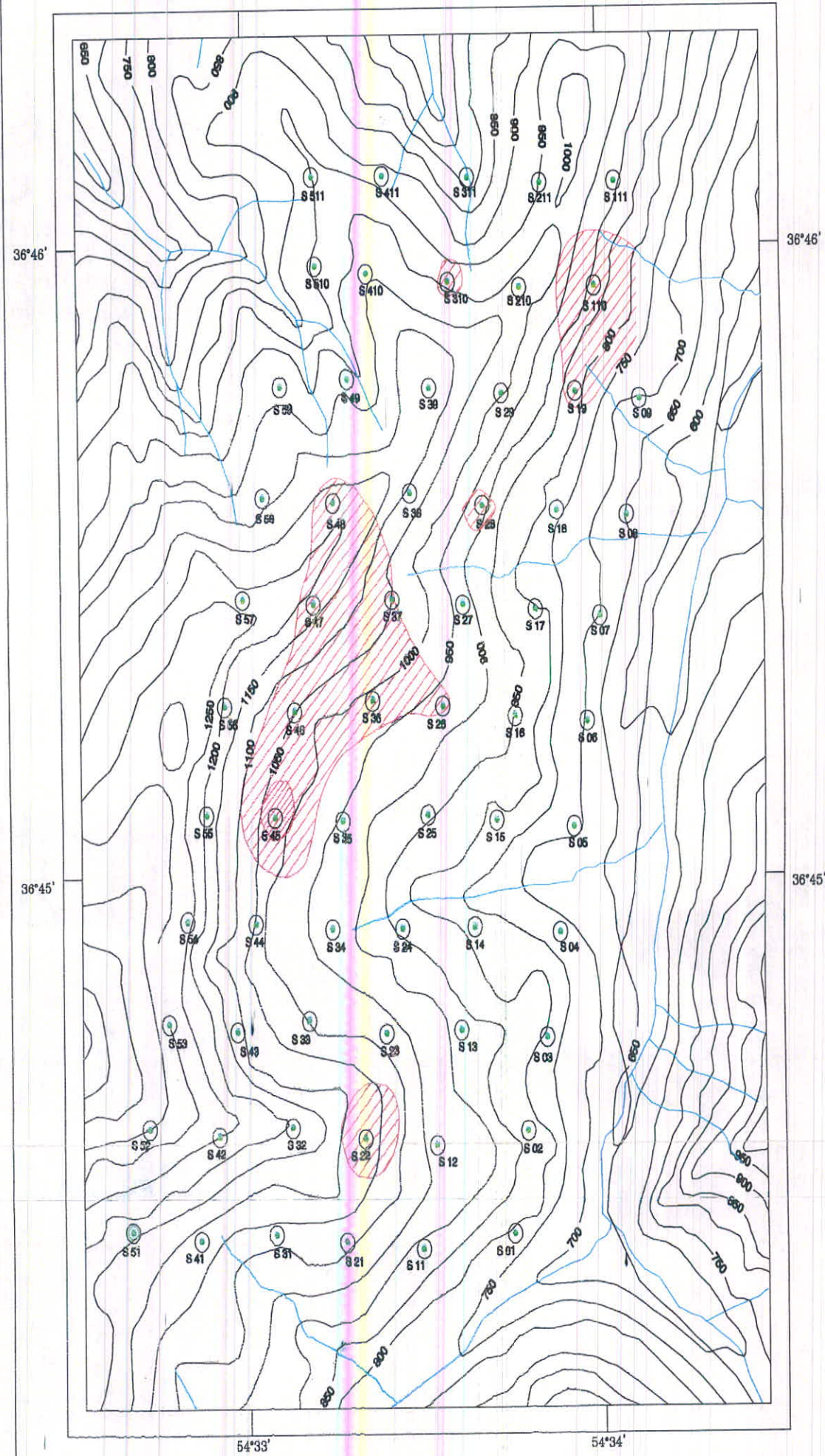
### SYMBOLS



NON SCALE  
DATE: OCT 2001  
MAP NO: 1



## ANOMALIES CLASSIFICATION OF Au





GEOCHEMICAL EXPLORATION  
TOSKESTAN AREA

#### ANOMALIES



- 13.6-16.4 PPb THIRD CLASS  
16.4-19.1 PPb SECOND CLASS  
>19.1 PPb FIRST CLASS

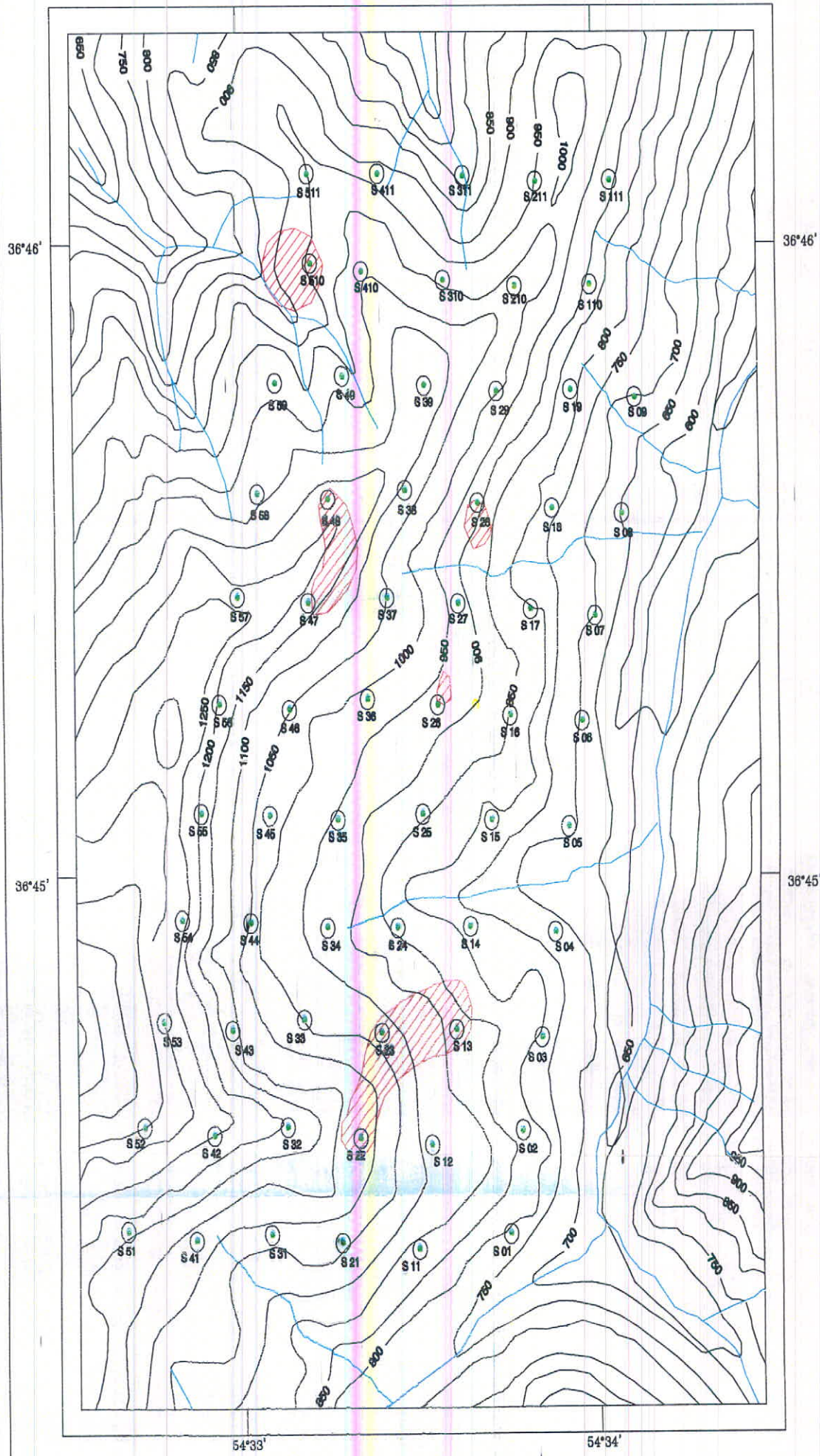
#### SYMBOLS



NON SCALE  
DATE: OCT 2001  
MAP NO.: 2



## ANOMALIES CLASSIFICATION OF As





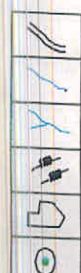
## GEOCHEMICAL EXPLORATION TOSKESTAN AREA

### ANOMALIES



- 0.75-0.90 PPm THIRD CLASS  
0.90-1.05 PPm SECOND CLASS  
>1.05 PPm FIRST CLASS

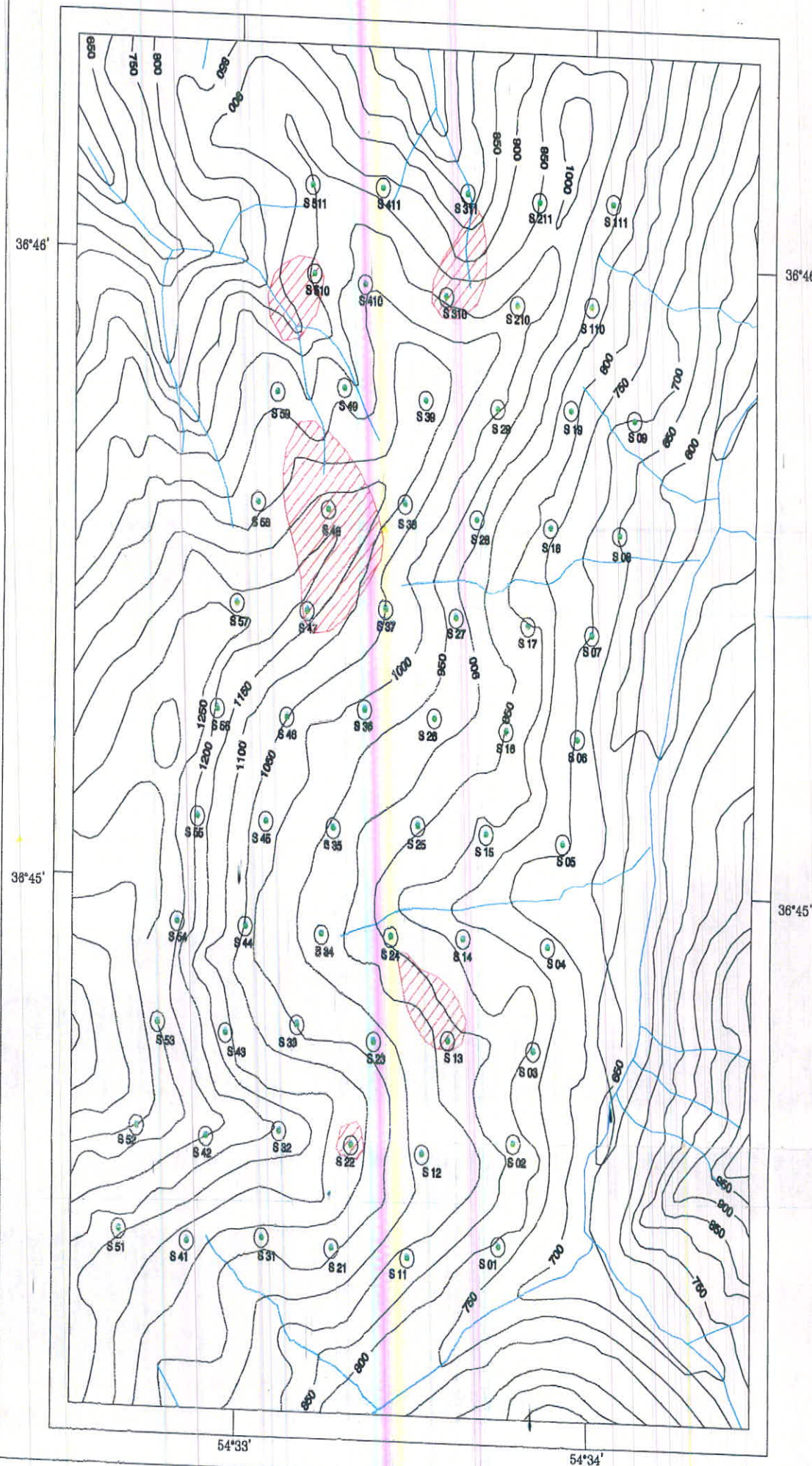
### SYMBOLS



NON SCALE  
DATE: OCT 2001  
MAP NO.: 3



## ANOMALIES CLASSIFICATION OF Sb





## GEOCHEMICAL EXPLORATION TOSKESTAN AREA

### ANOMALIES



- 0.42-0.54 PPm THIRD CLASS  
0.54-0.84 PPm SECOND CLASS  
>0.84 PPm FIRST CLASS

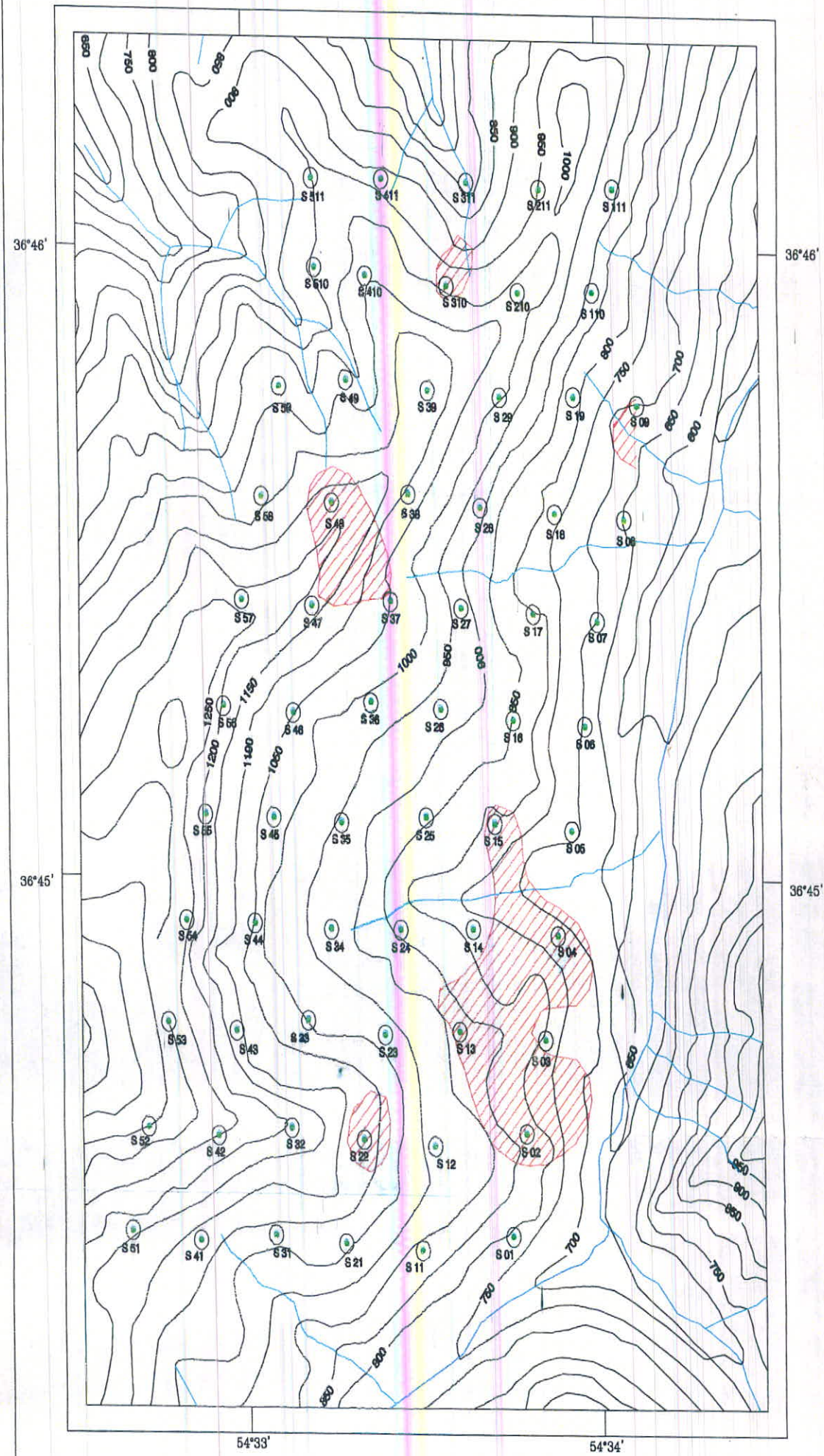
### SYMBOLS



NON SCALE  
DATE: OCT 2001  
MAP NO.: 4



## ANOMALIES CLASSIFICATION OF Bi





# GEOCHEMICAL EXPLORATION TOSKESTAN AREA

## ANOMALIES

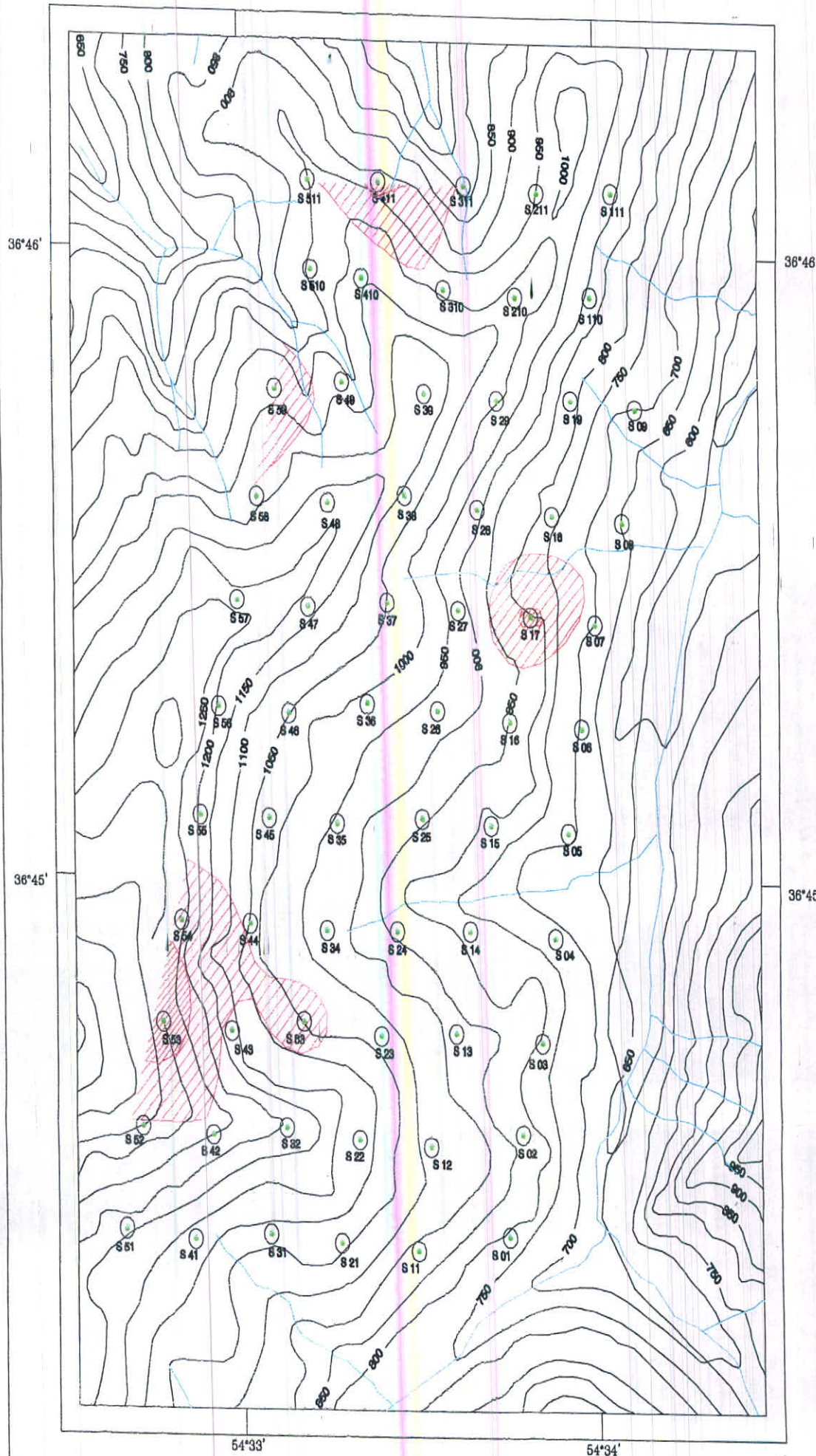
0.037-0.046	PPm	THIRD CLASS
0.046-0.054	PPm	SECOND CLASS
>0.054	PPm	FIRST CLASS

## SYMBOLS

NON SCALE  
DATE: OCT 2001  
MAP NO.: 5



## ANOMALIES CLASSIFICATION OF Hg





## GEOCHEMICAL EXPLORATION TOSKESTAN AREA

## ANOMALIES

39.8-47.3	PPm	THIRD CLASS
47.3-54.6	PPm	SECOND CLASS
>54.6	PPm	FIRST CLASS

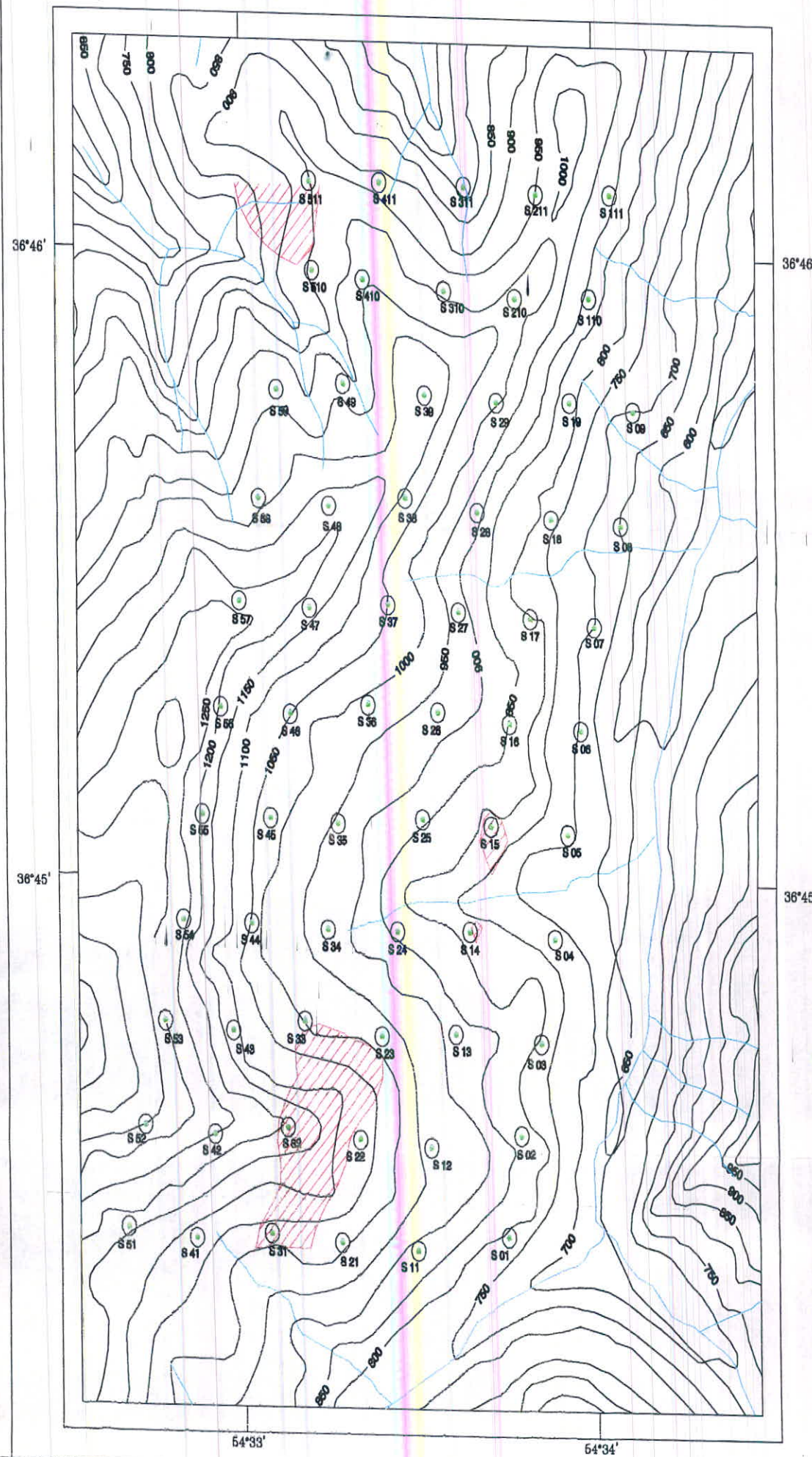
## **SYMBOLS**

- |  |                 |
|--|-----------------|
|  | ROAD            |
|  | MAIN RIVER      |
|  | DRAINAGE        |
|  | TOPOGRAPHY LINE |
|  | VILLAGE         |
|  | SAMPLE LOCATION |

NON SCALE  
DATE: OCT 2001  
MAP NO.: 7



## ANOMALIES CLASSIFICATION OF Pb





## ANOMALIES CLASSIFICATION OF Cu

GEOCHEMICAL EXPLORATION  
TOSKESTAN AREA

### ANOMALIES

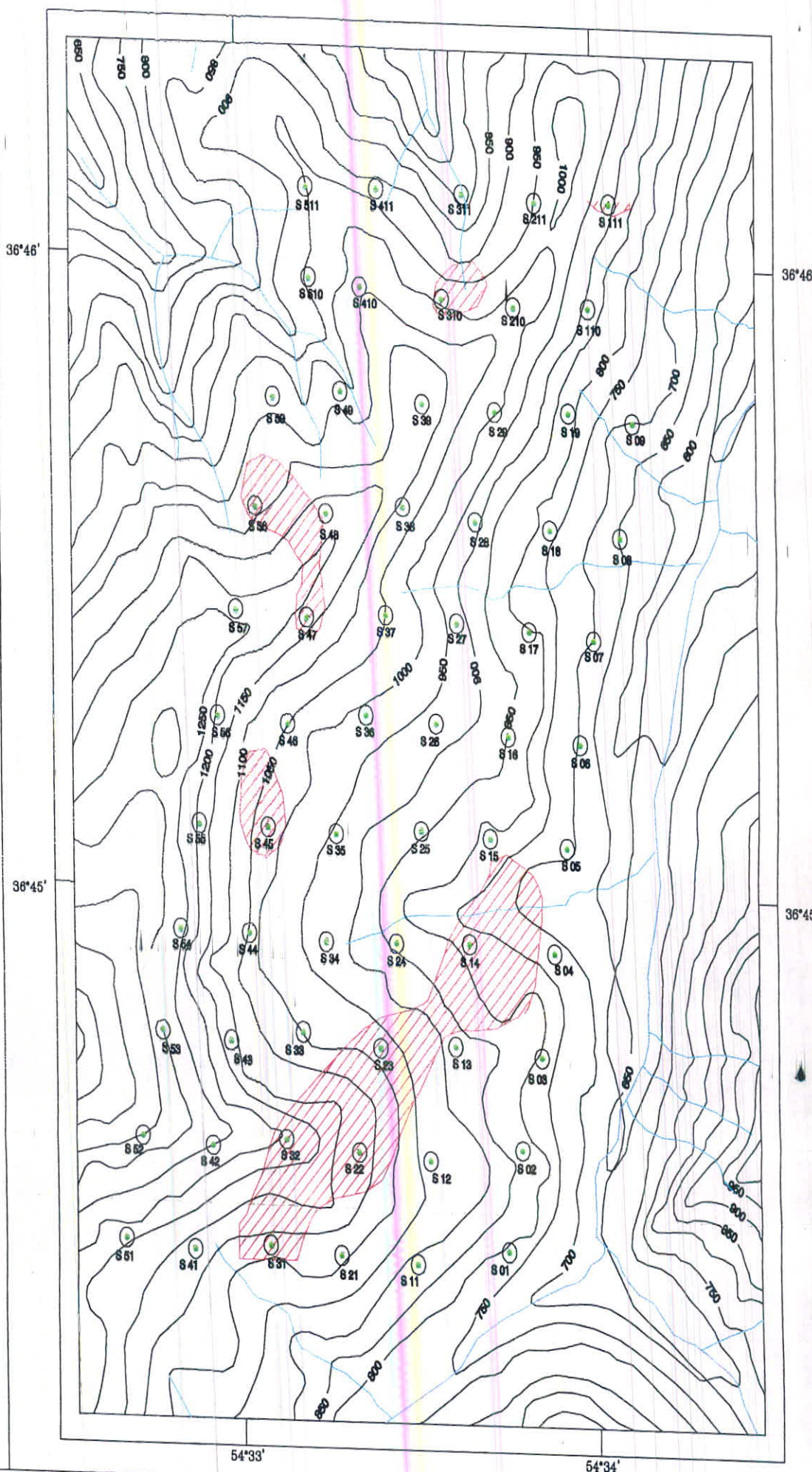


37.0-43.3	PPm	THIRD CLASS
49.2-48.7	PPm	SECOND CLASS
>48.7	PPm	FIRST CLASS

### SYMBOLS



NON SCALE  
DATE: OCT 2001  
MAP NO.: 6





## GEOCHEMICAL EXPLORATION TOSKESTAN AREA

### ANOMALIES



- 1.15-1.30 PPm THIRD CLASS  
1.30-1.45 PPm SECOND CLASS  
>1.45 PPm FIRST CLASS

### SYMBOLS



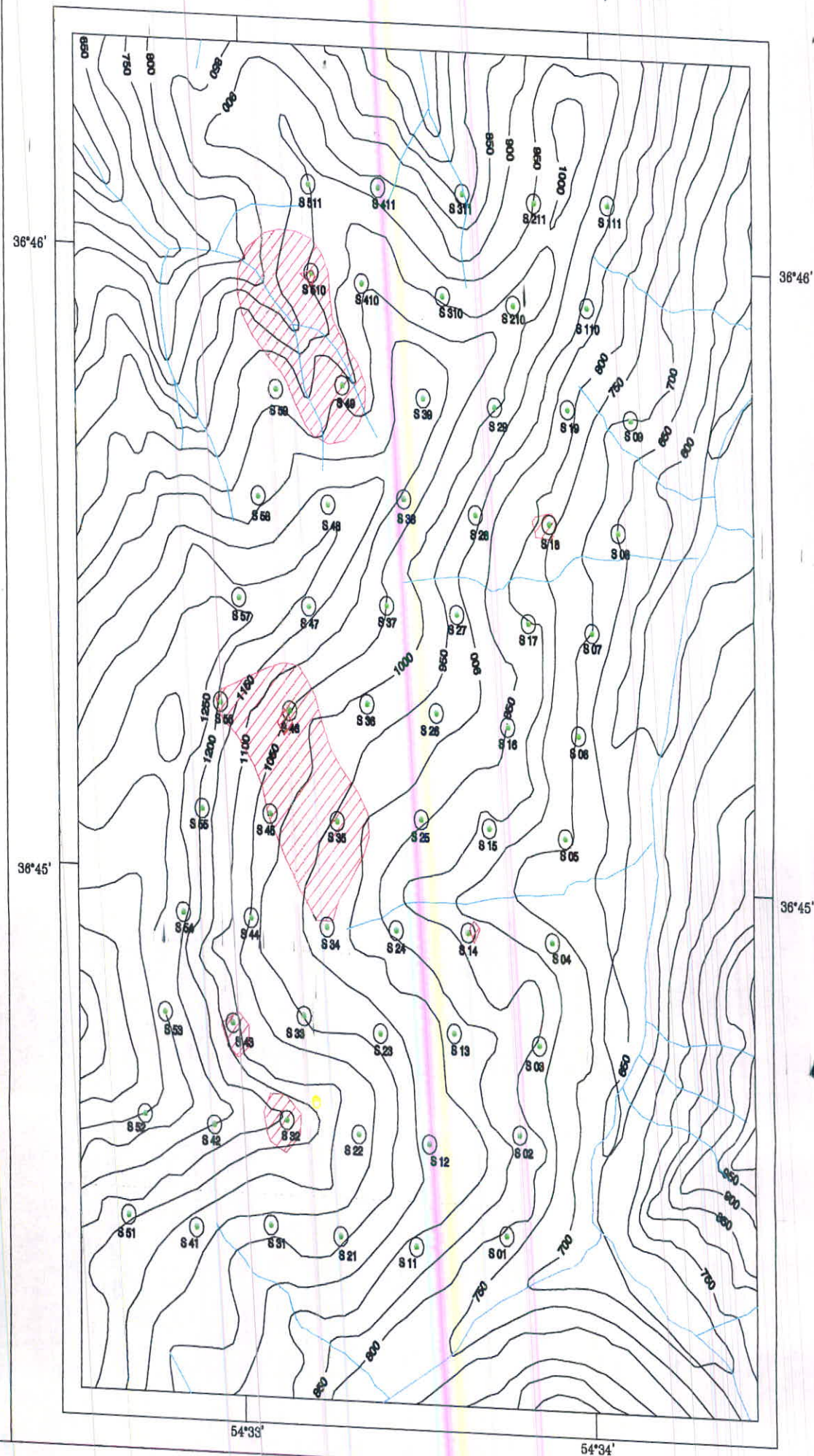
- ROAD  
MAIN RIVER  
DRAINAGE  
TOPOGRAPHY LINE  
VILLAGE  
SAMPLE LOCATION

NON SCALE

DATE: OCT 2001  
MAP NO.: 8



## ANOMALIES CLASSIFICATION OF Mo





## GEOCHEMICAL EXPLORATION TOSKESTAN AREA

### ANOMALIES



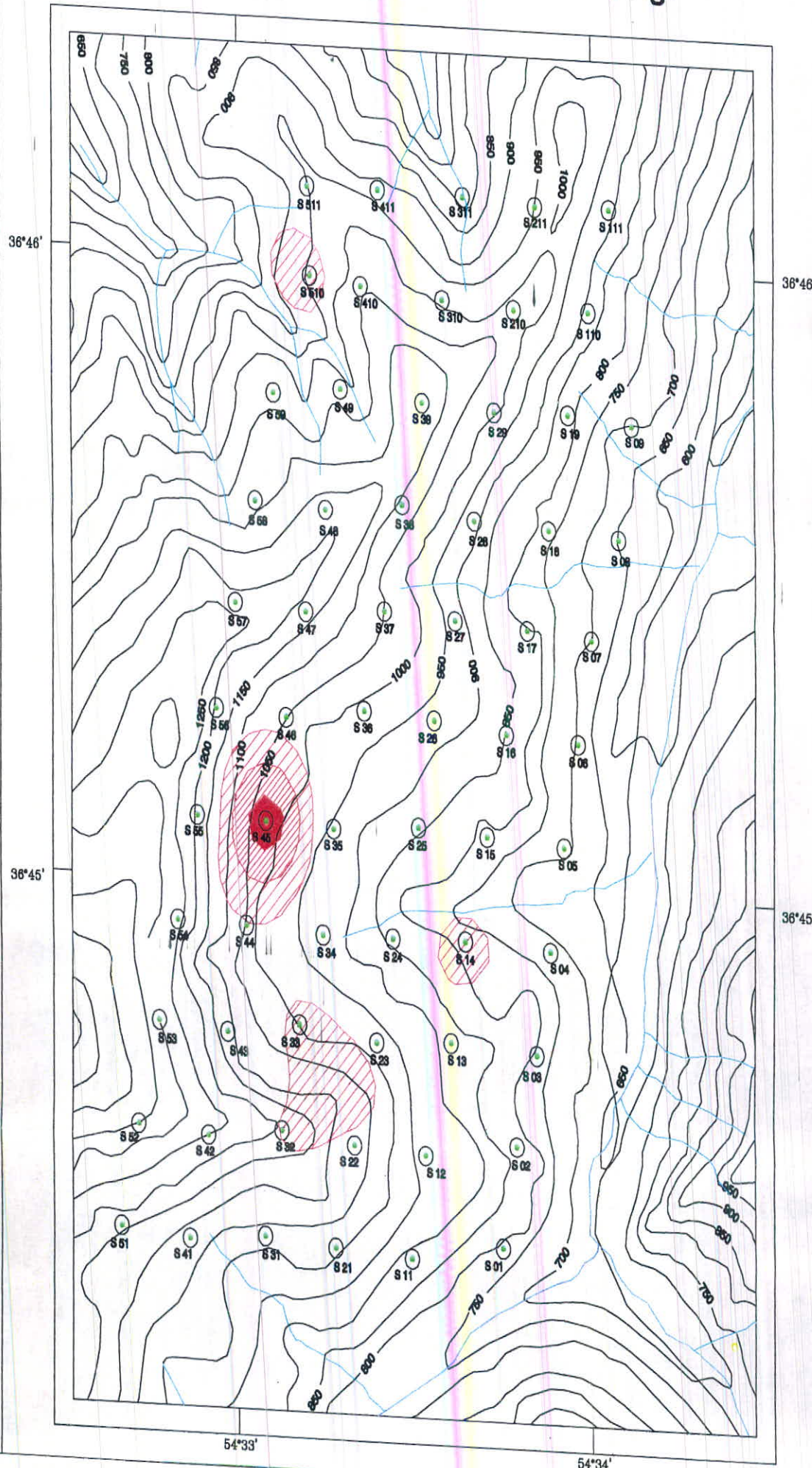
### SYMBOLS



NON SCALE  
DATE: OCT 2001  
MAP NO.: 9



## ANOMALIES CLASSIFICATION OF Ag





## GEOCHEMICAL EXPLORATION TOSKESTAN AREA

### ANOMALIES



119-129 PPm THIRD CLASS  
129-140 PPm SECOND CLASS  
>140 PPm FIRST CLASS

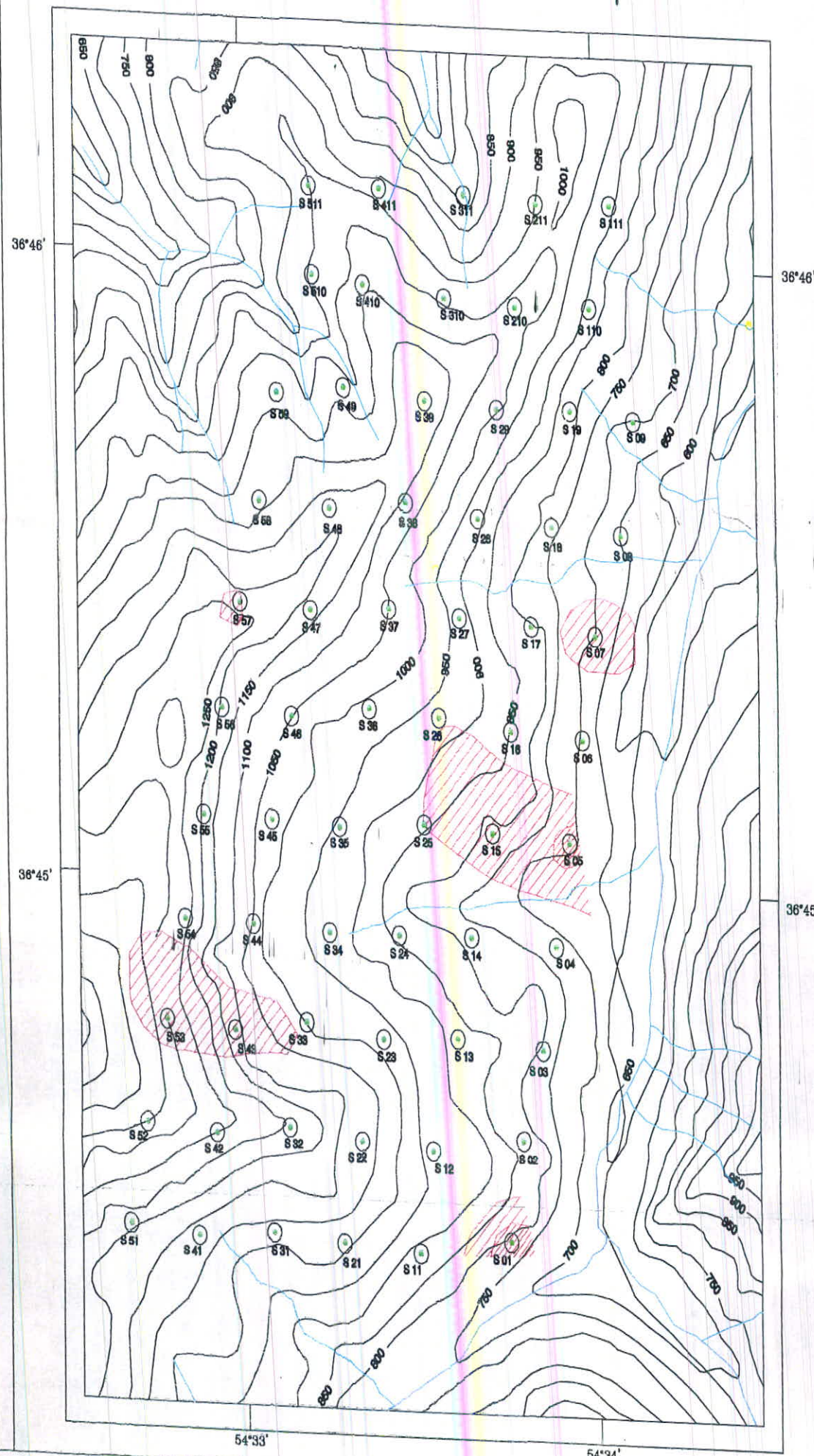
### SYMBOLS



NON SCALE  
DATE: OCT 2001  
MAP NO.: 10



## ANOMALIES CLASSIFICATION OF Zn





GEOCHEMICAL EXPLORATION  
TOSKESTAN AREA

### **ANOMALIES**

580-845	PPm	THIRD CLASS
845-710	PPm	SECOND CLASS
>710	PFm	FIRST CLASS

## **SYMBOLS**

	ROAD
	MAIN RIVER
	DRAINAGE
	TOPOGRAPHY LINE
	VILLAGE
	SAMPLE LOCATION

NON SCALE  
DATE: OCT 2001  
MAP NO.: 11



## ANOMALIES CLASSIFICATION OF Ba

